



รายงานการวิจัย

เรื่อง

การพัฒนากระบวนการผลิตผงกล้วยน้ำว้า

สำหรับทดแทนครีมเทียมเพื่อสุขภาพ

Production Development of Namwa Banana

Powder to Replace Healthy Nondairy Creamer

มหาวิทยาลัยราชภัฏมหาสารคาม
RAJABHAT MAHASARAKHAM UNIVERSITY

สมินทร์ญา ทีทา

มะลิ นาชัยสินธุ์

กลยุทธ์ ดีจริง

สุชนา วนิช

มหาวิทยาลัยราชภัฏมหาสารคาม

พ.ศ. 2561

ลิขสิทธิ์ของมหาวิทยาลัยราชภัฏมหาสารคาม

(งานวิจัยนี้ได้รับทุนอุดหนุนจากบประมาณแผ่นดินด้านการวิจัย ปีงบประมาณ 2560)



รายงานการวิจัย

เรื่อง

การพัฒนาระบวนการผลิตผงกล้วยน้ำว้า

สำหรับทดแทนครีมเทียมเพื่อสุขภาพ

Production Development of Namwa Banana

Powder to Replace Healthy Nondairy Creamer

มหาวิทยาลัยราชภัฏมหาสารคาม
RAJABHAT MAHASARAKHAM UNIVERSITY

กลยุทธ์ ดีจริง

สุชนา วนิช

มหาวิทยาลัยราชภัฏมหาสารคาม

พ.ศ. 2561

ลิขสิทธิ์ของมหาวิทยาลัยราชภัฏมหาสารคาม

(งานวิจัยนี้ได้รับทุนอุดหนุนจากบประมาณแผ่นดินด้านการวิจัย ปีงบประมาณ 2560)

กิตติกรรมประกาศ

การวิจัยในครั้งนี้สำเร็จได้ด้วยดี คณบุรุษวิจัยคร่ำชือขอบคุณ

ขอกราบขอบพระคุณ บิดา มารดา ที่เคยให้กำลังใจด้วยดีเสมอมา

ขอขอบพระคุณ คณาจารย์ทุกท่านที่กรุณาอบรมสั่งสอนและเมตตาต่อศิษย์อย่างสูงยิ่ง

ขอขอบพระคุณคณาจารย์และเจ้าหน้าที่คณะวิทยาศาสตร์และเทคโนโลยี คณบุรุษวิจัย
เทคโนโลยีการเกษตร คณะวิศวกรรมศาสตร์ มหาวิทยาลัยราชภัฏมหาสารคาม ที่กรุณาให้ความ
อนุเคราะห์อุปกรณ์และเครื่องมือเพื่อประกอบการวิจัย

ขอขอบคุณทุนอุดหนุนจากบประมาณแผ่นดินด้านการวิจัยสำนักงานคณบุรุษกรรมการวิจัย
แห่งชาติ (วช.) ปีงบประมาณ 2560

คณบุรุษวิจัย

กันยายน 2561

มหาวิทยาลัยราชภัฏมหาสารคาม
RAJABHAT MAHASARAKHAM UNIVERSITY

หัวข้อวิจัย	การพัฒนาระบวนการผลิตผงกล้วยน้ำว้าสำหรับทดแทนครีมเทียมเพื่อสุขภาพ
ผู้ดำเนินการวิจัย	นางสาวสมินทร์ญา ทิทา นางสาวมะลิ นาชัยสินธุ นายกลยุทธ์ ดีจริง นางสาวสุชนา วนิช
หน่วยงาน	สาขาวิชาพิสิกส์ คณะวิทยาศาสตร์และเทคโนโลยี สาขาวิชาเคมี คณะวิทยาศาสตร์และเทคโนโลยี มหาวิทยาลัยราชภัฏมหาสารคาม
ปี พ.ศ.	2561

บทคัดย่อ

งานวิจัยนี้มีวัตถุประสงค์เพื่อพัฒนาวิธีการผลิตผงกล้วยน้ำว้าเพื่อนำไปเติมเพื่อทดแทนครีมเทียมโดยการศึกษาแบบออกแบบ (1) การออกแบบและสร้างเครื่องอบแห้งพลังงานแสงอาทิตย์ร่วมกับรังสีอินฟราเรด (2) หาประสิทธิภาพของเครื่องอบแห้ง (3) หาเงื่อนไขที่เหมาะสมในการอบกล้วยความสูงร้อยละที่ 3 เพื่อนำไปผลิตเป็นผงกล้วย โดยกล้วยน้ำว้ามีความชื้นเริ่มต้น 166 % w.b. อบแห้งให้เหลือความชื้นสุดท้ายประมาณ 4% w.b. โดยอบแห้งที่อุณหภูมิ 55 65 และ 70°C (4) ศึกษาคุณภาพและทดสอบทางประสานสัมผัสของกล้วยผง จากการวิจัยพบว่า

ประสิทธิภาพเชิงความร้อนของตัวเก็บรังสีอาทิตย์ (η_c) เคลื่อนเท่ากับ 31.47 % โดยมีค่าความแตกต่างของอุณหภูมิทางเข้าและทางออกของตัวเก็บรังสีอาทิตย์เฉลี่ยเท่ากับ 11.19°C เมื่อบาบแห้งที่อุณหภูมิ 55 65 และ 70°C ให้ค่าความสัมบูรณ์เปลี่ยนแปลงงานจำเพาะเท่ากับ 13.29 14.23 และ 14.59 MJ/kg ตามลำดับ โดยกล้วยอบแห้งที่อุณหภูมิ 70°C ให้ค่าความสัมบูรณ์เปลี่ยนแปลงงานจำเพาะมากที่สุดแต่ใช้เวลาในการอบแห้งน้อยที่สุด คือ 50 นาที อัตราการอบแห้งมีค่าสูงมากในช่วงแรกๆ ของการอบแห้ง อุณหภูมิอบแห้ง 55 65 และ 70°C ใช้ระยะเวลาในการอบแห้งเท่ากับ 80 60 และ 50 นาที ตามลำดับ ค่าการละลายที่อุณหภูมิ 60°C เท่ากับ 94.17 91.56 และ 89.11 % ค่าการละลายที่อุณหภูมิ 80°C เท่ากับ 81.27 94.68 และ 76.43 % ซึ่งอุณหภูมิอบแห้ง 55 65 และ 70 °C ตามลำดับ ค่าการเปลี่ยนแปลงสีโดยรวมเท่ากับ 84.35 84.04 และ 83.18 เมื่อบาบแห้งที่อุณหภูมิ 55 65 และ 70°C ตามลำดับ การทดสอบทางประสานสัมผัสจากแบบประเมิน ให้ผลคะแนนสำหรับกล้วยผงเมื่อบาบแห้งที่อุณหภูมิ 65°C เมื่อนำไปเติมในกาแฟเพื่อทดแทนครีมเทียมได้รับการยอมรับดี

มาก (ค่าแทน 8.05) ในขณะที่กลั่วผงเมื่ออบแห้งที่อุณหภูมิ 70°C ได้รับการยอมรับเพียงเล็กน้อย (ค่าแทน 6.55) และในขณะที่กลั่วผงเมื่ออบแห้งที่อุณหภูมิ 55°C ได้รับการยอมรับปานกลาง (ค่าแทน 6.97)



มหาวิทยาลัยราชภัฏมหาสารคาม
RAJABHAT MAHASARAKHAM UNIVERSITY

Research Title	Production Development of Namwa Banana Powder to Replace Healthy Nondairy Creamer
Researcher	Miss Suminya Teeta Miss Mali Nachaisin Mr.Konlayut Deejing Miss Suchana Wanish
Organization	Physics Program, Faculty of Science and Technology Chemistry Program, Faculty of Science and Technology Rajabhat Maha Sarakham University
Year	2018

ABSTRACT

The objective of this research was the development and production process of Namwa banana powder as a healthy nondairy creamer alternative. The study was divided into 4 parts: 1) Design and develop a solar energy combined far-infrared radiation dryer 2) To study performance of the dryer 3) To find a suitable condition for drying from peel color index 3 (PCI 3) using banana as a replacement nondairy creamer 4) The quality physical and sensory evaluation. The initial moisture content of the banana was 166 % wet basis; the drying process reduced the moisture content down to a 4% wet basis. The average efficiency of the solar collector was 31.47 %. The different of average temperature between inlet and outlet of the solar collector was 11.19 °C. The specific energy consumption was 12.42, 10.76 and 9.16 MJ/kg; the drying time for the banana was 80, 60 and 50 minutes at temperature dried as 55, 65 and 70°C respectively. The drying rate increased with the increase of drying temperature. The solubility of the banana powder at 60°C was 94.17, 91.56 and 89.11%. The solubility of the banana powder at 80°C was 81.27, 94.68 and 76.43%. The total color difference was 84.35, 84.04 and 83.18, dried at these temperatures, 55, 65 and 70°C respectively. Sensory evaluation via 9 – point hedonic scale indicated that the quality of the product was very good (8.05) which was dried at

65°C, the acceptance for product was like slightly (6.55) for dried at 70°C and acceptance for product was middle (6.97) for dried a 55°C.



มหาวิทยาลัยราชภัฏมหาสารคาม
RAJABHAT MAHASARAKHAM UNIVERSITY

สารบัญ

หน้า

กิตติกรรมประกาศ

บทคัดย่อภาษาไทย	ก
บทคัดย่อภาษาอังกฤษ	ข
สารบัญ	ค
สารบัญตาราง	ง
สารบัญภาพ	จ

บทที่ 1 บทนำ

ความเป็นมาและความสำคัญ	1
วัตถุประสงค์ของการวิจัย	2
ขอบเขตการวิจัย	2
สมมติฐานการวิจัย	3
คำจำกัดความที่ใช้ในงานวิจัย	4
ประโยชน์ที่คาดว่าจะได้รับ	4

บทที่ 2 แนวคิด ทฤษฎี เอกสารและงานวิจัยที่เกี่ยวข้อง

เครื่องอุปกรณ์พัฒนาแรงงานแสงอาทิตย์	5
หลักการอุปแห้ง.....	10
ผลิตภัณฑ์ครีมเทียม	14
วัตถุดิบที่นำมาผลิตผงกลัวย.....	16
ศึกษาสมบัติทางกายภาพของกลัวยผงน้ำว้า.....	18
การประเมินทางประสิทธิภาพสัมผัส	19
งานวิจัยที่เกี่ยวข้อง	20

	หน้า
บทที่ 3 วิธีดำเนินการวิจัย	24
เครื่องมือ/อุปกรณ์ในการวิจัย.....	24
ขั้นตอนการดำเนินการวิจัย	25
การวิเคราะห์สมบัติของแท่งเชือเพลิง	27
การวิเคราะห์สมบัติทางกายภาพของผงกลัวย.....	29
การประเมินทางประสาทสัมผัส	30
บทที่ 4 ผลการวิจัย	37
ผลการออกแบบและสร้างเครื่องอบแห้งพลังงานแสงอาทิตย์ร่วม	
กับรังสีอินฟารेडสำหรับอบแห้งกลัวย.....	37
หาประสิทธิภาพเครื่องอบแห้งพลังงานแสงอาทิตย์ร่วมกับรังสีอินฟารेड	38
การอบแห้งกลัวยดิบเพื่อนำไปผลิตเป็นผงกลัวย	48
ทดสอบคุณสมบัติทางกายภาพของผลิตภัณฑ์	51
ทดสอบด้านประสาทสัมผัส	52
บทที่ 5 สรุปผลการวิจัย อภิปรายผล และข้อเสนอแนะ	55
สรุปผลการวิจัย	55
อภิปรายผล	55
ข้อเสนอแนะในการนำผลการวิจัยไปใช้	56
ข้อเสนอแนะในการทำวิจัยครั้งต่อไป	56
บรรณานุกรม	57
บรรณานุกรม	57
ภาคผนวก	59
ภาคผนวก ก การหาความชี้นเริ่มต้นของกลัวยสุกรระยะที่ 3	60
ภาคผนวก ข การหาประสิทธิภาพของตัวรับรังสีอาทิตย์.....	63
ภาคผนวก ค การวิเคราะห์สมบัติทางกายภาพ.....	66
ภาคผนวก ง การประเมินความชอบ	70
ภาคผนวก จ กระบวนการผลิตและทดสอบประสิทธิภาพเชือเพลิงเจียอัดแท่ง	67
ประวัติผู้วิจัย	74

สารบัญตาราง

ตารางที่		หน้า
2.1	แสดงคุณค่าทางโภชนาการของกล้วยน้ำว้าในส่วนที่กินได้ 100 กรัม	18
4.1	ค่าความแตกต่างอุณหภูมิทางเข้าและทางออก ($T_{Out} - T_{In}$) ตัวเก็บรังสีอาทิตย์ ความเข้มรังสีอาทิตย์ (G_t) และประสิทธิภาพของแผงรับรังสีอาทิตย์ (η_c) เฉลี่ยของช่วงเวลาในการอบแห้ง	42
4.2	ความสัมเปลืองพลังงานจำเพาะเฉลี่ย (SEC) ของเครื่องอบแห้ง ร่วมรังสีอินฟราเรดร่วมกับพลังงานแสงอาทิตย์	43
4.3	อัตราส่วนความชื้นที่อบแห้ง ณ เวลาใดๆ ด้วยเครื่องอบแห้งอินฟราเรดร่วมกับ พลังงานแสงอาทิตย์ร่วมกับรังสีอินฟราเรด อบแห้งที่อุณหภูมิที่ 55 °C	44
4.4	อัตราส่วนความชื้นที่อบแห้ง ณ เวลาใดๆ ด้วยเครื่องอบแห้งอินฟราเรดร่วมกับ พลังงานแสงอาทิตย์ร่วมกับรังสีอินฟราเรด อบแห้งที่อุณหภูมิที่ 65 °C	45
4.5	อัตราส่วนความชื้นที่อบแห้ง ณ เวลาใดๆ ด้วยเครื่องอบแห้งอินฟราเรดร่วมกับ พลังงานแสงอาทิตย์ร่วมกับรังสีอินฟราเรด อบแห้งที่อุณหภูมิที่ 70 °C	46
4.6	ความเปลี่ยนแปลงของผงกล้วยเมื่ออบแห้งด้วยเครื่องอบแห้งอินฟราเรดร่วมกับ พลังงานแสงอาทิตย์ ที่อุณหภูมิ 55 65 และ 70 °C	52
4.7	คุณภาพของผงกล้วยเมื่อนำไปผสมในกาแฟเพื่อทดสอบคุณภาพเมื่อผ่านการ ทดสอบทางปราสาทรูปสัมผัสโดยการทดสอบ แบบให้คะแนน ความชอบ	53
ข-1	ค่าประสิทธิภาพของตัวรับรังสีอาทิตย์เมื่ออบแห้งที่อุณหภูมิ 55 °C	64
ข-2	ค่าประสิทธิภาพของตัวรับรังสีอาทิตย์เมื่ออบแห้งที่อุณหภูมิ 65 °C	64
ข-3	ค่าประสิทธิภาพของตัวรับรังสีอาทิตย์เมื่ออบแห้งที่อุณหภูมิ 70 °C	65
ค-1	ค่าการละลายของผงกล้วยที่อบแห้งที่อุณหภูมิต่างๆ	67
ค-2	ค่าการเปลี่ยนแปลงสีของผงกล้วยเมื่ออบแห้งที่อุณหภูมิต่างๆ	68

สารบัญภาพ

ภาพที่	หน้า
3.1 ลักษณะเครื่องอบแห้งอินฟราเรดร่วมกับพลังงานแสงอาทิตย์.....	28
3.2 วัตถุติด (ก) กล้วยนำว้าล้างสะอาด (ข) ต้มในน้ำอุณหภูมิ 60°C	31
3.3 เครื่องอบแห้งพลังงานแสงอาทิตย์ร่วมกับรังสีอินฟราเรด.....	32
3.4 เครื่องซั่งน้ำหนักแบบดิจิตอลความละเอียด 0.01 กรัม	32
3.5 เครื่องวัดค่าพลังงาน Power factor.....	32
3.6 เครื่องบันทึกข้อมูลอุณหภูมิ	33
3.7 ไฟรานอมิเตอร์	33
3.8 ตู้อบหาความชื้นของผลิตภัณฑ์แบบลมร้อน	33
3.9 เครื่องหั่นกล้วย.....	34
3.10 การวัดค่าการละลาย (ก) เครื่องเซนทริฟิว (ข) อ่างน้ำร้อนที่ควบคุมอุณหภูมิ.....	35 33
4.1 ด้านข้างเครื่องอบแห้งอินฟราเรดร่วมกับพลังงานแสงอาทิตย์.....	
4.2 ด้านหน้าเครื่องอบแห้งอินฟราเรดร่วมกับพลังงานแสงอาทิตย์	34
4.3 ส่วนประกอบของเครื่องอบแห้งอินฟราเรดร่วมกับพลังงานแสงอาทิตย์ .. ผงถ่านเปลือกแมءคดาเดเมียที่อัตราส่วนต่างๆ	35
4.4 การเปรียบเทียบประสิทธิภาพเชิงความร้อนของตัวเก็บรังสีอาทิตย์ ในระหว่างการอบแห้งกล้วยที่ 55°C โดยทดลองเวลา 10.00-12.00 น.	40
4.5 การเปรียบเทียบประสิทธิภาพเชิงความร้อนของตัวเก็บรังสีอาทิตย์ ในระหว่างการอบแห้งกล้วยที่ 65°C โดยทดลองเวลา 10.00-12.00 น.	40
4.6 การเปรียบเทียบประสิทธิภาพเชิงความร้อนของตัวเก็บรังสีอาทิตย์ ในระหว่างการอบแห้งกล้วยที่ 70°C โดยทดลองเวลา 10.00-12.00 น.	41
4.7 การเปรียบเทียบความสینเปลืองพลังงานจำเพาะในเครื่องอบแห้งในระหว่าง การอบแห้งกล้วยเมื่ออบแห้งที่อุณหภูมิต่างๆ โดยทดลองเวลา 10.00-12.00 น.....	43

สารบัญภาพ (ต่อ)

ภาพที่		หน้า
4.8	การเปลี่ยนแปลงความชื้นของกลั่ยระหว่างการอบแห้งด้วยเครื่องอบแห้ง พลังงานแสงอาทิตย์ร่วมกับรังสีอินฟราเรดร่วมกับ โดยอบแห้งที่อุณหภูมิ 55°C	45
4.9	การเปลี่ยนแปลงความชื้นของกลั่ยระหว่างการอบแห้งด้วยเครื่องอบแห้ง พลังงานแสงอาทิตย์ร่วมกับรังสีอินฟราเรดร่วมกับ โดยอบแห้งที่อุณหภูมิ 65°C	46
4.10	การเปลี่ยนแปลงความชื้นของกลั่ยระหว่างการอบแห้งด้วยเครื่องอบแห้ง พลังงานแสงอาทิตย์ร่วมกับรังสีอินฟราเรดร่วมกับ โดยอบแห้งที่อุณหภูมิ 70°C	47
4.11	การเปลี่ยนแปลงความชื้นของกลั่ยระหว่างการอบแห้งด้วยเครื่องอบแห้ง พลังงานแสงอาทิตย์ร่วมกับรังสีอินฟราเรดร่วมกับ โดยโดยอบแห้ง ที่อุณหภูมิ 55 65 และ 70°C	48
4.12	การอบแห้งกลั่ยในขณะภายในเตาอบแห้งพลังงานแสงอาทิตย์ร่วมกับรังสี อินฟราเรด	49
4.13	กลั่ยหลังการอบแห้งที่อุณหภูมิ 60°C	49
4.14	การบดละเอียดกลั่ยหลังการอบแห้ง	50
4.15	การจัดเก็บกลั่ยหลังจากบดละเอียดเมื่อบดแห้งที่ อุณหภูมิ 55 65 และ 70°C	50
4.16	ตัวอย่างผลิตภัณฑ์จากการอบแห้งกลั่ยเพื่อนำไปเติมในการแพ เพื่อทดแทนครีมเทียม	50
4.17	ค่าการละลายของผงกลั่ยเมื่อบดที่อุณหภูมิ 55 65 และ 70°C	51
ค-1	ขั้นตอนการวัดสีของผงกลั่ย	69
ง-1	ผงกลั่ยที่อบแห้งที่อุณหภูมิต่างๆ	72
ง-2	การทดสอบทางปราสาทสัมผัสโดยการเติมในการแพ	72
ง-3	ตัวอย่างบางส่วนจากผู้เข้าทดสอบทางปราสาทสัมผัส	73
ง-4	ผู้เข้าทดสอบทางปราสาทสัมผัสทดลองชิม	73

สารบัญภาพ (ต่อ)

ภาพที่	หน้า
๔-๕ ผู้เข้าทดสอบทางประสาทสัมผัสประเมินความพึงพอใจ	73



มหาวิทยาลัยราชภัฏมหาสารคาม
RAJABHAT MAHASARAKHAM UNIVERSITY

บทที่ 1

บทนำ

1.1 ความเป็นมาและความสำคัญ

เนื่องกล้วยน้ำว้า (Kuai Nam Wa) เป็นพืชเศรษฐกิจที่สำคัญของประเทศไทย เป็นผลไม้ที่สามารถปลูกได้ง่ายทุกภาคของประเทศไทยและให้ผลผลิตตลอดปี โดยพื้นที่เพาะปลูกกล้วยน้ำว้าในปี 2556-2557 มีประมาณ 696,938 ไร่ ผลผลิต 1,215,101 ตัน ทั้งพื้นที่เพาะปลูกและผลผลิตเพิ่มขึ้น ร้อยละ 0.5 และ 0.6 ตามลำดับ (ศูนย์วิจัยกสิกรไทย, 2557) กล้วยน้ำว้านิยมนิมนานาบริโภคทั้งแบบสด ดิบและผลสุก รวมทั้งผ่านการแปรรูปผลิตภัณฑ์ ด้วยกระบวนการแปรรูปที่แตกต่างกัน ในปัจจุบัน กล้วยน้ำว้าแบบผลดิบได้รับความสนใจในด้านการผลิตเป็นอาหารเพื่อสุขภาพมากขึ้นเนื่องจากมี คุณค่าหลายด้าน เช่น ด้านคุณค่าทางโภชนาการที่ดีสำหรับคนรักสุขภาพ เนื่องจากกล้วยน้ำว้าไม่มีคอเรสเทอรอลและไขมันต่ำแต่พลังงานสูง จึงเหมาะสมสำหรับเป็นอาหารลดความอ้วนมีโปรตีนสูง จึงช่วยลดความดันเลือด สรรษคุณด้านการเป็นยา raksha rok กล้วยสามารถลดแก๊ซในกระเพาะอาหาร แก้ท้องผูก ท้องเสีย (พัชรีวัลย์, 2543) ผลดิบในการแปรรูปกล้วยน้ำว้าที่่นำสนิมมีหลายอย่าง เช่น การแปรรูปเป็นแป้งกล้วย ผลิตเพื่อทดแทนแป้งที่ใช้ทำขนมต่างๆ ที่ใช้แป้งเป็นส่วนประกอบหลัก ในการผลิตแป้งกล้วยโดยเทคโนโลยีชาวบ้าน เริ่มจากการนำกล้วยดิบมาทำความสะอาด ลวกน้ำร้อน อุณหภูมิ ประมาณ 80 องศาเซลเซียส ประมาณ 1-2 นาที บดและร่อนผ่านตะแกรง จนได้ผงแป้งละเอียด โดยลดความชื้นกล้วยน้ำว้าที่เปลี่ยนด้วยการตากแดดซึ่งใช้เวลา 3 - 4 วัน (ไฟล์ภา, 2550) เนื่องจากไม่มีค่าใช้จ่ายด้านพลังงาน แต่การทำตากแดด พบปัญหามากมายในเรื่องของความสะอาด แมลงรบกวน ผุนละอองต่างๆ รวมทั้งระยะเวลาที่ใช้ต้องใช้เวลานาน ทำให้มาตรฐานในการผลิตต่างจากนี้ยังมีการใช้เครื่องอบแห้งลมร้อนแบบถาวร เครื่องอบแห้งแบบลูกกลิ้งหมุน ซึ่งทั้งสองวิธี ยังมีปัญหานอกจากนี้ยังมีการใช้เครื่องอบแห้งลมร้อนแบบถาวร ทำให้ใช้เวลาในการอบแห้ง โดยการอบแห้งลมร้อนมีข้อเสียคือ สามารถลดความชื้นอาหารในช่วงแรกด้วยอัตราที่สูง แต่ต่อต่อการอบแห้งจะต่ำมากเนื่องจากความชื้นอาหารลดลงในช่วงสุดท้ายของการอบแห้ง ทำให้ใช้เวลาในการอบแห้งนานและเกิดลักษณะแห้งและแข็งของผิวน้ำอาหาร

จากสภาพปัจจุบันในกลุ่มชุมชนบ้านหนองแสง ตำบลโพธิ์สัย อำเภอศรีสมเด็จ จังหวัดร้อยเอ็ด มีการปลูกกล้วยน้ำว้าเป็นจำนวนมาก และหากมีกล้วยเหลือจากการบริโภคชาวบ้านจะนำไปจำหน่าย และบางส่วนจะนำไปแปรรูปเป็นกล้วยตากซึ่งราคาขายยังต่ำ ดังนั้นทางผู้วิจัยจึงมีแนวคิดที่จะพัฒนาผลิตภัณฑ์และปรับปรุงกระบวนการแปรรูปกล้วยน้ำว้า เพื่อเป็นทางเลือกใหม่ให้ผู้บริโภคโดยนำกล้วย

น้ำว้าดิบมาแปรรูปเป็นผลิตภัณฑ์กล้วยผงเพื่อทดแทนครีมเทียมที่ใช้เติมในเครื่องดื่มประเภท กาแฟ หรือเครื่องดื่มสำเร็จรูปประเภทต่างๆ โดยมีการพัฒนาระบวนการโดยใช้เครื่องอบแห้งพลังงาน แสงอาทิตย์เข้ามาช่วยลดปัญหาต่างๆ เครื่องอบแห้งพลังงานแสงอาทิตย์ใช้หลักการเปลี่ยนรังสี แสงอาทิตย์ให้เป็นพลังงานความร้อน แล้วนำความร้อนของอากาศไปอบกล้วย จึงทำให้ประหยัด พลังงานมากกว่าการอบแห้งแบบอื่นๆ โดยใช้ร่วมกับรังสีอินฟราเรดซึ่งเป็นคลื่นแม่เหล็กไฟฟ้ามีอำนาจในการทะลุทะลวงเพื่อให้ได้ผลิตภัณฑ์ลงกล้วยที่มีคุณภาพในด้าน สี กลิ่น คุณค่าทางโภชนาการที่ดี และเหมาะสมกับการนำไปทดแทนครีมเทียม ซึ่งเป็นทางเลือกสำหรับคนรักษาสุขภาพ ดังนั้นทาง คณะผู้วิจัย จึงมีความคิดริเริ่มที่จะพัฒนาระบวนการแปรรูปผลิตภัณฑ์ลงกล้วยน้ำว้า คือ ใน กระบวนการทำให้แห้งของกล้วยน้ำว้าก่อนนำไปบด ด้วยเครื่องอบลมร้อนพลังงานแสงอาทิตย์ร่วมกับ รังสีอินฟราเรด เพื่อเป็นการประหยัดพลังงานและลดระยะเวลาในการผลิต โดยหาเงื่อนไขที่เหมาะสม เพื่อให้ได้คุณภาพของกล้วยผงที่มีคุณภาพด้านสี กลิ่น รวมทั้งคุณค่าทางโภชนาการทางอาหาร เพื่อให้ เหมาะสมกับการนำไปใช้ทดแทนผลิตภัณฑ์ครีมเทียม

ดังนั้นงานวิจัยนี้จึงได้ทำการศึกษาพัฒนาระบวนการแปรรูปกล้วยน้ำว้า ในกระบวนการผลิต ลงกล้วยน้ำว้าเพื่อทดแทนครีมเทียมที่ใช้เติมในเครื่องดื่มประเภท กาแฟ หรือเครื่องดื่มสำเร็จรูป ประเภทต่างๆ ในกระบวนการอบแห้ง โดยใช้เครื่องอบแห้งพลังงานแสงอาทิตย์ร่วมกับรังสีอินฟราเรด เพื่อให้ได้ผลิตภัณฑ์ลงกล้วยน้ำว้าที่มีความแห้งสมำเสมอ คงไว้ซึ่ง สี กลิ่น คุณค่าทางโภชนาการ ครอบ ใจผู้บริโภคและสามารถผลิตได้ทันเวลาในการจำหน่าย และเป็นการส่งเสริมและถ่ายทอดเทคโนโลยีให้ ชาวบ้านรวมทั้งเป็นการเพิ่มมูลค่าสินค้าเกษตรและเพิ่มผลิตภัณฑ์การผลิต อีกทั้งสามารถรวมกลุ่ม ผลิตสินค้าทางการเกษตรเพื่อจำหน่ายเป็นสินค้าในเชิงวิสาหกิจชุมชน สร้างรายได้ให้กับชุมชน อีกทั้ง เป็นการต่อยอดภูมิปัญญาให้เกิดประโยชน์ในเชิงพาณิชย์และสร้างความมั่งคงทางอาหาร สร้างชีด ความสามารถในการแข่งขัน และสร้างรายได้ให้กับประเทศชาติ เกิดการพัฒนาเศรษฐกิจและสังคม โดยรวมและสามารถสร้างให้เกิดอำนาจการต่อรองให้กับประเทศต่อไป

1.2 วัตถุประสงค์ของการวิจัย

1. เพื่อศึกษาอุณหภูมิ และเวลาในการอบแห้งกล้วยน้ำว้าด้วยเครื่องอบแห้งพลังงาน แสงอาทิตย์ร่วมกับรังสีอินฟราเรด ในการนำไปผลิตลงกล้วยน้ำว้าให้ได้ผลิตภัณฑ์ใหม่ที่คงอยู่ของสี กลิ่น รส ของกล้วยที่ดีในการนำไปปรุงแต่งทดแทนครีมเทียม

2. เพื่อศึกษาสมบัติทางกายภาพของลงกล้วยน้ำว้าที่ได้จากการรอมวิธีการอบแห้งแบบ พลังงานแสงอาทิตย์ร่วมกับรังสีอินฟราเรดในแต่ละเงื่อนไขการทดลองเพื่อคัดสรรวิธีการและสภาพที่ เหมาะสมสำหรับทดแทนครีมเทียมเพื่อสุขภาพ

3. เพื่อศึกษาสมรรถนะเครื่องอบแห้งพลังงานแสงอาทิตย์ร่วมกับรังสีอินฟารेड
4. เพื่อทดสอบการยอมรับผลกระทบล้วนน้ำว้าที่ผลิตได้ในการนำไปทดสอบครึ่มเทียมในเครื่องดีมีประเกท กาแฟ ในเรื่องของสี กลิ่น รสชาติ เนื้อสัมผัส ความชอบโดยรวม

1.3 ขอบเขตการวิจัย

1. การอบแห้งกล้วนน้ำว้าโดยเครื่องอบแห้งพลังงานแสงอาทิตย์ร่วมกับรังสีอินฟารेड
2. วัตถุดิบเป็นกล้วนน้ำว้าสายพันธุ์มะลิอ่อง ที่มีระยะสุกตามดัชนีสีเปลือก (PCI 3) เริ่มเปลี่ยนสีจากเขียวอุกเหลือมากขึ้นแต่ยังมีสีเขียวมากกว่าสีเหลือง
3. การศึกษาสมรรถนะเครื่องอบแห้งพลังงานแสงอาทิตย์ร่วมกับรังสีอินฟารेड ประกอบด้วย ประสิทธิภาพทางความร้อน อัตราการอบแห้ง และความถี่เปลี่ยนพลังงานจำเพาะ
4. ทดสอบคุณภาพทางปราสาทสัมผัส สี กลิ่น รสชาติ เนื้อสัมผัส และความชอบโดยรวม

1.4 สมมติฐานการวิจัย

พัฒนาผลิตภัณฑ์โดยการปรับปรุงกระบวนการแปรรูปกล้วนน้ำว้า เพื่อเป็นทางเลือกใหม่ให้ผู้บริโภคในการนำกล้วนน้ำว้าดิบมาแปรรูปเป็นผลิตภัณฑ์กล้วนผงเพื่อทดสอบครึ่มเทียมที่ใช้ปรงแต่งในเครื่องดีมีประเกท กาแฟ หรือเครื่องดีมีสำเร็จรูปประเภทต่างๆ โดยมีการพัฒนากระบวนการโดยใช้เครื่องอบแห้งพลังงานแสงอาทิตย์ร่วมกับรังสีอินฟารेड เนื่องจากวิธีการผลิตแบบดั้งเดิมใช้ระยะเวลาในการอบนาน สิ้นเปลี่ยนพลังงาน การอบแห้งด้วยเครื่องอบแห้งพลังงานแสงอาทิตย์เป็นทางเลือกหนึ่งที่สามารถลดพลังงานและลดต้นทุนของการอบแห้งได้ ซึ่งหากการวิจัยนี้สำเร็จจะสามารถผลิตผงกล้วนน้ำว้าเพื่อทดสอบครึ่มเทียมที่ใช้ปรงแต่งในเครื่องดีมีประเกท กาแฟ หรือเครื่องดีมีสำเร็จรูปประเภทต่างๆ ได้ และได้ผลิตภัณฑ์ผงกล้วนน้ำว้าที่มีความแห้งสม่ำเสมอ คงไว้ซึ่ง สี กลิ่น คุณค่าทางโภชนาการ คงไว้ผู้บริโภคและสามารถผลิตได้ทันเวลาในการจำหน่าย และเป็นการส่งเสริมและถ่ายทอดเทคโนโลยีให้ชาวบ้านรวมทั้งเป็นการเพิ่มมูลค่าสินค้าเกษตรและเพิ่มผลิตภัณฑ์ทางการผลิต อีกทั้งสามารถรวมกลุ่มผลิตสินค้าทางการเกษตรเพื่อจำหน่ายเป็นสินค้าในเชิงวิสาหกิจชุมชน สร้างรายได้ให้กับชุมชน อีกทั้งเป็นการต่อยอดภูมิปัญญาให้เกิดประโยชน์ในเชิงพาณิชย์และสร้างความมั่งคงทางอาหาร สร้างขีดความสามารถในการแข่งขัน และสร้างรายได้ให้กับประเทศชาติ เกิดการพัฒนาเศรษฐกิจและสังคมโดยรวมและสามารถสร้างให้เกิดอำนาจการต่อรองให้กับประเทศต่อไป

1.5 คำจำกัดความที่ใช้ในงานวิจัย

ผงกลัววัย คือ กลัวยาน้ำร้าดิบ ระยะที่ 3 (เริ่มเปลี่ยนสีจากเขียวออกเหลืองมากขึ้นแต่ยังมีสีเขียวมากกว่าสีเหลือง) ที่ผ่านการอบแห้งและมีการบดละเอียดแล้ว

1.6 ประโยชน์ที่คาดว่าจะได้รับ

1. ได้อุณหภูมิและเวลาที่เหมาะสมในการอบแห้งกล้วยน้ำว้าด้วยเครื่องอบแห้งพลังงานแสงอาทิตย์ร่วมกับรังสีอินฟราเรด ในการนำไปผลิตผงกล้วยน้ำว้าให้ได้ผลิตภัณฑ์ใหม่ที่คงอยู่ของสี กลิ่นรส ของกล้วยที่ดีในการนำไปปรุงแต่งทดแทนครีมเทียมสำหรับผู้บริโภคเครื่องดื่ม ประเภท กาแฟ ที่รักษาภาพ

2. ทราบลักษณะทางกายภาพของผงกล้วยน้ำว้าที่ได้จากการวิธีการอบแห้งแบบพลังงานแสงอาทิตย์ร่วมกับรังสีอินฟาร์เอดในแต่ละเงื่อนไขการทดลอง

3. ทราบสมรรถนะเครื่องอบแห้งพลังงานแสงอาทิตย์ร่วมกับรังสีอินฟาร์เอด

4. ได้ผลการทดสอบคุณภาพทางประสานสัมผัส สี กลิ่น รสชาติ เนื้อสัมผัส และความชอบโดยรวมของผงกล้วยน้ำว้าที่ผลิตได้ในการนำไปทดแทนครีมเทียมในเครื่องดื่มประเภทชา กาแฟ

5. เป็นแนวทางในการสร้างผลิตภัณฑ์การแปรรูปกล้วยน้ำว้าโดยการเพิ่มมูลค่าสินค้าเกษตรระดับวิสาหกิจชุมชน

6. มุ่งสร้างผลิตภัณฑ์การแปรรูปกล้วยน้ำว้าโดยการเพิ่มมูลค่าสินค้าเกษตรระดับวิสาหกิจ

บทที่ 2

แนวคิด ทฤษฎี เอกสารและงานวิจัยที่เกี่ยวข้อง

จากสภาพปัจุบันในกลุ่มชุมชน บ้านหนองแสง ตำบลโพธิ์สัย อำเภอศรีสมเด็จ จังหวัดร้อยเอ็ด มีการปลูกกล้วยน้ำวัวเป็นจำนวนมาก และหากมีกล้วยเหลือจากการบริโภคชาวบ้านจะนำผลสุกไปจำหน่าย และบางส่วนจะนำไปแปรรูปเป็นกล้วยตากซึ่งราคายังไม่สูง ดังนั้นทางคณะผู้วิจัยจึงมีแนวคิด ที่จะพัฒนาผลิตภัณฑ์และปรับปรุงกระบวนการแปรรูปผลกล้วยน้ำวัว เพื่อเป็นทางเลือกใหม่ให้ผู้บริโภคโดยนำกล้วยน้ำวัวดิบมาแปรรูปเป็นผลิตภัณฑ์กล้วยผงเพื่อทดแทนครีมเทียมที่ใช้เติมในเครื่องดื่มประเภท กาแฟ หรือเครื่องดื่มสำเร็จรูปประเภทต่างๆ โดยมีการพัฒนากระบวนการอบแห้งในการผลิตผงกล้วยน้ำวัวโดยใช้เครื่องอบแห้งพลังงานแสงอาทิตย์ร่วมกับรังสีอินฟารेड โดยมีหัวข้อดำเนินการศึกษาดังนี้ โดยคณะผู้วิจัยได้ศึกษาค้นคว้าเอกสารและงานวิจัยที่เกี่ยวข้อง เพื่อใช้ข้อมูลประกอบการวิจัย สรุปสาระสำคัญตามหัวข้อต่อไปนี้

1. เครื่องอบแห้งพลังงานแสงอาทิตย์
2. หลักการอบแห้ง
3. การหาประสิทธิภาพเครื่องอบแห้ง
4. ครีมเทียม
5. วัตถุดิบที่นำมาใช้ผลิตผงกล้วย
6. การวิเคราะห์ทางกายภาพ
7. การทดสอบทางประสิทธิภาพ
8. งานวิจัยที่เกี่ยวข้อง

2.1 เครื่องอบแห้งพลังงานแสงอาทิตย์ (Solar dryer)

เครื่องอบแห้งพลังงานแสงอาทิตย์ เป็นเครื่องอบแห้งที่มีการพัฒนาโดยอาศัยหลักการการทำทำงานของเครื่องอบแห้งแบบตู้ โดยการใช้แสงแดดเป็นพลังงานความร้อนให้กับตู้อบ ซึ่งมีความเหมาะสมกับประเทศไทย ทำให้ไม่ต้องเสียต้นทุนพลังงาน ปัจจุบันได้มีการพัฒนาการใช้แสงพลังงานแสงอาทิตย์มาประยุกต์ใช้กับตู้อบแสงอาทิตย์ สามารถอบแห้งผลิตภัณฑ์ได้มากและรวดเร็วขึ้น เช่น เครื่องอบแห้งระบบ Active เครื่องอบแห้งพลังงานแสงอาทิตย์แบบผสม เครื่องอบแห้งพลังงานแสงอาทิตย์แบบอุ่นคง และเครื่องอบแห้งระบบ Hybrid เป็นต้น (จารวัฒน์, 2555)

หลักการทำงาน พลังงานที่ต้องการสำหรับการอบแห้งผลิตภัณฑ์ต่างๆ สามารถตรวจสอบได้จากปริมาณความชื้นเริ่มต้น และความชื้นสุดท้ายของผลิตภัณฑ์แต่ละชนิด อัตราการอบแห้งและการใช้อุณหภูมิแตกต่างกันในแต่ละผลิตภัณฑ์ พลังงานที่เหมาะสมต่อการอบแห้งเพื่อย่างต่อการคำนวณพื้นที่ของแผงเซลล์แสงอาทิตย์ที่ต้องการเพื่อผลิตความร้อนอย่างเพียงพอ เพื่อทดแทนพลังงานจากเชื้อเพลิงด้วยพลังงานแสงอาทิตย์เครื่องอบแห้งพลังงานแสงอาทิตย์แบ่งออกเป็น 2 ส่วน ได้แก่ ส่วนที่ใช้อบแห้งซึ่งใส่ตัวอย่างที่ต้องการอบแห้ง และส่วนที่เป็นตัวรับรังสีด้วยอาทิตย์เพื่อทำให้อากาศร้อนนอกจากนี้อาจมีส่วนประกอบอื่น ๆ เช่น พัดลม แผงรับรังสีเป็นอุปกรณ์รับความร้อนจากแสงอาทิตย์โดยดูดพลังงานแสงอาทิตย์ และแปลงพลังงานแสงอาทิตย์เป็นพลังงานความร้อน และแผงรับแสงอาทิตย์เป็นแผ่นแบบราบ (flat plate collector) ทำหน้าที่เป็นตัวดูดพลังงาน (absorber plate) โดยรับพลังงานจากแสงอาทิตย์ และแปลงพลังงานแสงอาทิตย์ให้เป็นพลังงานความร้อนให้กับอากาศ เพื่อประสิทธิภาพในการดูดกลืนพลังงานแสงอาทิตย์จึงทำแผ่นดูดพลังงานด้วยสีดำด้าน ทำให้มีค่าการดูดรังสีสูงที่ความยาวคลื่นของรังสีต่ำ แต่ให้การส่งออก (emissivity) ต่ำที่ความยาวคลื่นรังสีสูง และเพื่อเป็นการป้องกันการสูญเสียพลังงานความร้อนจากแสงอาทิตย์ เพื่อให้ความร้อนกระจายภายในจึงต้องมีแผ่นกันด้านบน (top cover) เป็นแผ่นพลาสติกใส ประเภทของเครื่องอบแห้งพลังงานแสงอาทิตย์ (สมชาติ, 2540) ในปัจจุบันเครื่องอบแห้งพลังงานแสงอาทิตย์ สามารถแบ่งออกได้หลากหลายประเภท แต่จากการสำรวจ สามารถสรุปการแบ่งประเภทของเครื่องอบแห้งพลังงานแสงอาทิตย์ ได้ดังนี้

1) แบบรับรังสีด้วยตรง (direct type) มีส่วน ประกอบหลัก 3 ส่วนคือ ช่องอากาศเข้า ใช้วัสดุที่เป็นหลังคาและช่องระบายอากาศ รังสีด้วยอาทิตย์จะหลบผ่านหลังคาไปสัมผัสกับวัสดุที่นำมาอบแห้งโดยตรง การระเหยน้ำออกจากวัสดุเกิดขึ้น จากความร้อนที่ได้รับจากแสงอาทิตย์ และอากาศภายในสามารถระบายออกไปทางช่องระบายอากาศ และเครื่องอบแห้งพลังงานแสงอาทิตย์แบบรับรังสีด้วยอาทิตย์โดยตรงยังสามารถแบ่งประเภทตามรูปแบบการให้ลงของอากาศ ได้ดังนี้

ก. การให้ลงของอากาศแบบธรรมชาติ การเคลื่อนที่ของอากาศตามธรรมชาติสามารถเกิดขึ้นได้เนื่องจากความแตกต่างของอุณหภูมิ กล่าวคืออากาศที่มีอุณหภูมิสูงจะมีความหนาแน่นต่ำกว่าอากาศที่มีอุณหภูมิต่ำ ทำให้เกิดการให้ลงของอากาศ เครื่องอบแห้งแบบนี้มีต้นทุนต่ำดูแลรักษาง่ายแต่มีข้อจำกัดคือ สัมประสิทธิ์การถ่ายเทความร้อนและการถ่ายเทมวลของสารมีค่าน้อย ทำให้มีประสิทธิภาพในการอบแห้งน้อย

ข. การให้ลงของอากาศแบบบังคับ เครื่องอบแห้งชนิดนี้จะใช้พัดลมช่วยในการให้ลงของอากาศ ทำให้อากาศมีสัมประสิทธิ์การถ่ายเทความร้อนและการถ่ายเทมวลสูง ซึ่งเป็นการเพิ่ม

ประสิทธิภาพในการอบแห้งแต่มีข้อจำกัดคือ ต้องเสียค่าใช้จ่ายเพิ่มขึ้นในส่วนของพัดลมและเรื่องของ การดูแลรักษาพัดลม

2) แบบรับรังสีดูดอาทิตย์โดยอ้อม (indirect type) เครื่องอบประเภทนี้ประกอบด้วย ส่วน รับรังสีแสงอาทิตย์ พัดลมและห้องอบแห้ง ส่วนของห้องอบแห้งนั้นจะป้องกันมิให้แสงอาทิตย์ผ่านเข้า มาสัมผัสกับวัสดุที่นำมาอบโดยตรง การอบแห้งจะอาศัยความร้อนจากพื้นที่รับแสงเป็นหลักคือ ส่วน รับแสงจะถ่ายเทความร้อนให้กับอากาศ จากนั้นจึงไหลผ่านไปยังวัสดุในห้องอบแห้ง

ก. การไหลดของอากาศแบบธรรมชาติ ลักษณะการไหลดของอากาศจะเป็นไปโดยธรรมชาติ เครื่องอบประเภทนี้ ประกอบด้วย 3 ส่วนหลัก คือ พื้นที่รับแสง ห้องอบแห้ง ช่องระบายน้ำอากาศ จุดเด่นของเครื่องอบแห้งนี้ ที่ห้องอบแห้งจะทำด้วยวัสดุทึบแสงที่ป้องกันแสงอาทิตย์ผ่านทะลุได้

ข. การไหลดของอากาศแบบบังคับ การบังคับอากาศทำได้โดยการใช้พัดลม คือการใช้พัดลม ช่วยให้อากาศเคลื่อนที่ ทำให้อากาศมีสัมประสิทธิ์การถ่ายเทความร้อนและถ่ายเทมวลของสารสูง ซึ่ง เป็นการเพิ่มประสิทธิภาพในการอบแห้งแต่มีข้อเสียคือ ต้องเสียค่าใช้จ่ายเพิ่มขึ้นในส่วนของพัดลมและ เรื่องของการดูแลรักษาพัดลม

3) แบบรับรังสีดูดอาทิตย์โดยผสม (mixed type) เป็นการนำหลักการของเครื่องอบแห้ง พลังงานแสงอาทิตย์ แบบรับรังสีดูดอาทิตย์โดยตรง และแบบรับรังสีดูดอาทิตย์โดยอ้อมมาใช้ร่วมกัน คือ ได้รับความร้อนจากแสงอาทิตย์โดยตรงและได้จากการศร้อนที่ไหลดผ่านส่วนที่รับรังสี

ก. การไหลดของอากาศร้อนเป็นแบบธรรมชาติ จะมีทั้งแบบมีปล่องระบายน้ำอากาศ แบบไม่มี ปล่องระบายน้ำอากาศจะใช้ช่องระบายน้ำอากาศซึ่งเป็นส่วนประกอบหลักของเครื่องอบทำหน้าที่ระบายน้ำอากาศภายในเครื่องอบสู่ภายนอก

ข. การไหลดของอากาศร้อนเป็นแบบถูกบังคับ เพื่อทำให้การไหลดของอากาศมีสัมประสิทธิ์ ของการถ่ายเทความร้อนและการถ่ายเทมวลของสารสูง ทำให้ประสิทธิภาพในการอบแห้งนั้นดีขึ้น

2.1.1 การอบแห้งด้วยเครื่องอบแห้งแบบถาด

เครื่องอบแห้งแบบถาด (tray dryers) เป็นเครื่องอบแห้งที่มีลักษณะการไหลดของอากาศแบบ adiabatic dryer คือ เตาอบแห้งที่ให้ความร้อนโดยใช้กระแสลมร้อนเคลื่อนที่สัมผัสกับอาหารโดย อาหารจะอยู่กับที่หรือเคลื่อนที่ด้วย ซึ่งเครื่องอบแห้งนี้ถูกพัฒนาขึ้นมาเนื่องจากการทำแห้งแบบตาก แಡนมีข้อด้อยหลายข้อ เช่น พลังความร้อนจากแสงอาทิตย์ให้อุณหภูมิที่ไม่สูงนัก และกระแสลม ธรรมชาติไม่แรงพอทำให้ใช้เวลานาน ใช้พื้นที่มากและทำในที่เปิดโล่ง คุณค่าทางอาหารบางอย่าง เช่น สี กลิ่น รส อาจสูญเสียไป เกิดการปนเปื้อนจากฝุ่น แมลงต่างๆ และจุลินทรีย์ เครื่องอบแห้งแบบถาด เป็นเครื่องมือทำแห้งるものร้อนแบบไม่ต่อเนื่อง ซึ่งทำงานที่ความดันบรรยากาศ ลักษณะของเครื่องมือจะ เป็นตู้บุขวน มีคาดสำหรับใส่อาหารแต่ละถาดบรรจุขึ้นอาหารขนาดไม่เกิน 1- 6 เซนติเมตร โดย อาหารร้อนหมุนเวียนในตู้ที่ความเร็ว慢 0.5 - 5 เมตร/วินาที/ตารางเมตร ของพื้นที่ผิวของถาด มี

ระบบท่อเพื่อนำความร้อนเข้าไปด้านบน ผ่านแต่ละถาดเพื่อให้ลมร้อนกระจายอย่างสม่ำเสมอ อาจมีการติดตั้งเครื่องนำความร้อนเพิ่มขึ้นด้านบนหรือด้านข้าง ของถาดเพื่อเพิ่มอัตราการทำแห้ง ส่วนปัญหาเครื่องอบแห้งที่พบคือ ควบคุมดูแลยากจึงมีการอบแห้งที่ไม่สม่ำเสมอเนื่องจากการกระจายลมไม่ทั่วถึง มีผลต่อผลิตภัณฑ์ที่อยู่บริเวณทางเข้าของลมมีลักษณะแห้งกว่าด้านทางออกของลม ทำให้คุณภาพของผลิตภัณฑ์ไม่มีความสม่ำเสมอ กัน สามารถแก้ไขได้โดยสลับถาดหรือกลับทิศทางลม เครื่องมือนี้เสียค่าใช้จ่ายในการสร้างและบำรุงรักษาต่ำ และมีความยืดหยุ่นในการใช้งานสูง จึงนิยมใช้ในกระบวนการผลิตขนาดเล็กหรือในโรงงานขนาดเล็ก เนื่องจากการอบแห้งด้วยเครื่องอบแห้งแบบถาดเป็นการอบที่ความดันบรรยากาศ อุณหภูมิของลมร้อนที่ใช้สำหรับพากความชื้นออกจากราคาค่อนข้างสูง

เครื่องอบแห้งพลังงานแสงอาทิตย์ (solar dryer) ประกอบด้วย 2 ส่วน คือส่วนที่ใช้อบแห้ง ซึ่งใส่ตัวอย่างที่ต้องการอบแห้งและส่วนที่เป็นตัวรับรังสีดวงอาทิตย์เพื่อทำให้อากาศร้อน ตัวรับรังสีอาทิตย์มีหน้าที่เปลี่ยนพลังงานแสงอาทิตย์ให้เป็นความร้อนเพื่อใช้แลกเปลี่ยนความร้อนให้อากาศที่ดูดเข้ามาให้มีอุณหภูมิสูงขึ้นก่อนที่จะไหลเข้าสู่ห้องอบแห้งของเครื่องอบแห้งพลังงานแสงอาทิตย์ ตัวรับรังสีเป็นชนิดแผ่นเรียบ (flat plate collector) ทำหน้าที่เป็นตัวดูดพลังงาน โดยรับพลังงานจากแสงอาทิตย์และแปลงพลังงานแสงอาทิตย์เป็นพลังงานความร้อนให้กับอากาศ โดยพลังงานความร้อนที่แรงรับแสงอาทิตย์รับไว้จาก

$$Q_c = IA_c \quad (2.1)$$

เมื่อ

มหาวิทยาลัยราชภัฏมหาสารคาม
RAJABHAT MAHASARAKHAM UNIVERSITY

Q_c = พลังงานความร้อนที่สามารถนำไปใช้ประโยชน์ได้

I = พื้นที่ของตัวรับรังสีอาทิตย์ (m^2)

A_c = ปริมาณรังสีแสงอาทิตย์ที่ตกลงบนตัวรับรังสี (W/m^2)

2.2.2 การประเมินความชื้นของผลิตภัณฑ์หลังการอบแห้ง

1) วัสดุและเครื่องมือที่ใช้ในการทดลอง

(1) ผลิตภัณฑ์หลังการอบแห้งที่เวลาสุดท้ายในแต่ละเงื่อนไข จำนวน 20 g

(2) ตู้อบไฟฟ้า ยี่ห้อ Memmert รุ่น UNE 500

(3) Moisture Can จำนวน 5 กระป๋อง

(4) เครื่องซั่งน้ำหนักยี่ห้อ HOAUS รุ่น Adventurer ความละเอียด 0.001 g

2) วิธีการทดลอง

(1) นำ Moisture can มาซั่งน้ำหนักแล้วบันทึกค่า

(2) นำผลิตภัณฑ์ใส่กระป๋องๆละ 20 กรัม รวมทั้งหมด 5 กระป๋อง
นำไปปั่นแล้วบันทึกค่า

(3) นำผลิตภัณฑ์ที่อยู่ใน Moisture Can ทั้งหมดเข้าตู้อบไฟฟ้า ที่อุณหภูมิ 103 °C เป็นเวลา 72 ชั่วโมง

(4) หาความชื้นมาตรฐานแห้งตามสมการ

$$M_d = \frac{(w-d)}{d} \times 100 \quad (2.2)$$

เมื่อ W_d คือ ความชื้นมาตรฐานแห้ง (% Dry Basis)

w คือ มวลของวัสดุ (kg)

d คือ มวลของวัสดุแห้ง (kg)

2.1.3 การศึกษาประสิทธิภาพของเครื่องอบแห้ง

ในการวิจัยนี้ได้ศึกษาประสิทธิภาพของเครื่องอบแห้งโดยใช้พลังงานความร้อนจากแสงอาทิตย์และความร้อนจากหลอดรังสีอินฟราเรด ทำการทดลองอบแห้งกล้วยน้ำว้า นำข้อมูลการเปลี่ยนแปลงน้ำหนักของกล้วยน้ำว้า การใช้พลังงาน ความเข้มรังสีอินฟราเรด ความเข้มรังสีดูวงอาทิตย์ มาวิเคราะห์สมรรถนะเครื่องอบแห้ง

1. การหาประสิทธิภาพเชิงความร้อนของตัวเก็บรังสีอาทิตย์ของเครื่องอบแห้งพลังงานแสงอาทิตย์ร่วมกับรังสีอินฟราเรด สามารถคำนวณจากสมการที่ 2.3

$$\eta_c = \frac{m_a c_p (T_{out} - T_{in})}{G_t A} \times 100 \quad (2.3)$$

โดยที่ η_c คือ ประสิทธิภาพเชิงความร้อนของตัวเก็บรังสีอาทิตย์ (%)

m_a คือ อัตราการไหลของอากาศผ่านตัวเก็บรังสีอาทิตย์ (kg/s)

c_p คือ ค่าความร้อนจากเพาของอากาศ (ประมาณ 1,000 J/(kg.K))

T_{in} คือ อุณหภูมิอากาศทางเข้าตัวเก็บรังสีอาทิตย์ (°C)

T_{out} คือ อุณหภูมิอากาศทางออกตัวเก็บรังสีอาทิตย์ (°C)

A_c คือ พื้นที่ของตัวเก็บรังสี (m^2)

G_t คือ รังสีรวมที่ตกกระทบบนระนาบของตัวเก็บรังสี (W/m^2)

A คือ พื้นที่รับแสงของตัวเก็บรังสีอาทิตย์ (m^2)

2. ความสิ้นเปลืองพลังงานจำเพาะ (specific energy consumption, SEC) คือพลังงานที่ใช้ทั้งหมดต่อปริมาณน้ำที่ระเหยออกจากวัสดุอุบแห้ง สามารถคำนวณได้ดังสมการที่ 2.4

$$\text{SEC} = \frac{E_{\text{elec}} + E_{\text{sol}}}{m_w} \quad (2.4)$$

$$E_{\text{elec}} = m_a c_p t (T_{\text{out}} - T_{\text{in}}) \quad (2.5)$$

โดยที่	E_{elec}	คือ ปริมาณพลังงานไฟฟ้าที่ใช้ในการอบแห้ง (kWh)
	M_w	คือ มวลน้ำที่ระเหยออกจากวัสดุ (kg)
	E_{sol}	คือ ปริมาณพลังงานความร้อนจากตัวเก็บรังสีอาทิตย์ที่เข้าสู่เครื่องอบแห้ง (kWh)
	m_a	คือ อัตราการไหลของอากาศผ่านตัวเก็บรังสีอาทิตย์ (kg/s)
	t	คือ ระยะเวลาอบแห้งวัสดุ (hr)
	T_{in}	คือ อุณหภูมิอากาศทางเข้าตัวเก็บรังสีอาทิตย์ ($^{\circ}\text{C}$)
	T_{out}	คือ อุณหภูมิอากาศทางออกตัวเก็บรังสีอาทิตย์ ($^{\circ}\text{C}$)

3. อัตราส่วนความชื้น (moisture ratio, MR) คือ อัตราการเปลี่ยนแปลงมวลน้ำในวัสดุ เทียบกับความชื้นเริ่มต้นเมื่อเวลาอบแห้งดำเนินไป ดังสมการที่ 2.6

$$MR = \frac{M_t - M_{\text{eq}}}{M_0 - M_{\text{eq}}} \quad (2.6)$$

ถ้าให้ความชื้นสมดุลนี่ค่าน้อยมากเทียบกับค่าความชื้นเริ่มต้น ($M_{\text{eq}} \ll M_0$) ความชื้นที่เวลาใดๆ ($M_{\text{eq}} \ll M_t$) ดังนั้นจากสมการที่ 2.6 จะได้ ดังสมการที่ 2.7

$$MR = \frac{M_t}{M_0} \quad (2.7)$$

MR คือ อัตราส่วนความชื้น

M_t = ความชื้น ณ เวลาใดๆ , %

M_0 = ความชื้นเริ่มต้น, %

M_{eq} = ความชื้นสมดุล, %

2.2 หลักการอบแห้ง

กระบวนการอบแห้ง คือ กระบวนการลดความชื้นโดยจะใช้วิธีการถ่ายเทความร้อนไปยัง วัสดุที่ชื้น เพื่อลดความชื้นออกโดยการระเหย ใช้การถ่ายเทความร้อนที่ได้รับเป็นความร้อนแห้งของ การระเหย การอบแห้งจะทำให้สามารถที่จะเก็บหรืออนอมอาหารไว้ได้นานขึ้น และยังสามารถลด ปริมาตรและน้ำหนักของอาหาร (สมชาติ, 2540) ในปัจจุบันกระบวนการอบแห้งอาหารระดับ

อุตสาหกรรมได้มีการประยุกต์ใช้รังสีอินฟราเรดไกลสำหรับผลิตภัณฑ์ เช่น ผงชา ผงแป้ง และผงโกโก้ เป็นต้น ดังนั้นหากมีการนำรังสีอินฟราเรดไกลซึ่งมีประสิทธิภาพการถ่ายเทความร้อนสูง มาประยุกต์ใช้สำหรับอบแห้งอาหารน่าจะเป็นแนวทางหนึ่งในการแก้ไขหรือบรรเทาปัญหาเกี่ยวกับการลดความชื้นของผลิตภัณฑ์ได้ (Sandu, 1986)

2.2.1 การเปลี่ยนแปลงของอาหารระหว่างกระบวนการอบแห้ง

กระบวนการอบแห้งทำให้เกิดการเปลี่ยนแปลงของอาหารมากหรือน้อยขึ้นอยู่กับธรรมชาติของอาหารและสภาพที่ใช้ในการอบแห้ง ดังนี้ (วีไล, 2546)

1. การหดตัว การเสียน้ำทำให้เซลล์อาหารหดตัวจากผิวนอก ส่วนที่แข็งจะคงสภาพได้ ส่วนที่อ่อนกว่าจะเว้าลงไป อาหารที่มีน้ำมากจะหดตัวบีบเบี้ยวมาก การอบแห้งอย่างเร็วรวดมักจะทำให้เกิดการหดตัวน้อยกว่าการทำแห้งอย่างช้าๆ

2. การเปลี่ยนสี อาหารที่ผ่านกระบวนการอบแห้งมักมีสีเข้มขึ้นเนื่องจากความร้อนหรือปฏิกิริยาเคมี เช่น ปฏิกิริยาการเกิดสีน้ำตาล อุณหภูมิและช่วงเวลาที่อาหารมีความชื้น 10-20 % มีผลต่อความเข้มของสีค่อนข้างมาก ดังนั้นจึงควรหลีกเลี่ยงอุณหภูมิสูงในช่วงความชื้นนี้

3. การเกิดเปลือกแข็ง เป็นลักษณะที่ผิวอาหารแข็งเป็นเปลือกหุ้มส่วนในที่ยังไม่แห้งไว เนื่องจากในช่วงแรกน้ำระเหยเริ่มกินไป น้ำจากด้านในจึงเคลื่อนที่มาที่ผิวไม่ทัน หรือมีสารละลายของน้ำตาลหรือโปรตีนเคลื่อนที่มาแข็งตัวที่ผิว การเกิดเปลือกแข็งสามารถหลีกเลี่ยงได้โดยไม่ใช้อุณหภูมิสูง เพื่อไม่ให้ผิวอาหารแห้งก่อนเวลาอันควร

4. การเสียความสามารถในการคืนสภาพ อาหารแห้งบางชนิดต้องนำมาคืนสภาพก่อน การบริโภค แต่การคืนสภาพโดยการเติมน้ำจะไม่สามารถทำให้อาหารคืนสภาพได้อย่างสมบูรณ์ เพราะเซลล์อาหารเสียความยืดหยุ่นของผนังเซลล์ สถาร์ชและโปรตีนเสียความสามารถในการดูดน้ำ อาหารที่อบแห้งด้วยการแข็งเยือกแข็งจะมีความสามารถในการคืนสภาพดีที่สุด เพราะไม่ได้ใช้ความร้อนที่จะทำลายผนังเซลล์หรือเปลี่ยนโครงสร้างของสถาร์ชและโปรตีน

5. การสูญเสียคุณค่าทางอาหารและสาระ夷 โดยอาจเกิดการเสื่อมสภาพของวิตามินซีและแครอทีนเนื่องจากปฏิกิริยาออกซิเดชัน การสูญเสียโรบลารินเนื่องจากแสง และการสูญเสียไทด์มีนเนื่องจากความร้อน

2.2.2 ปัจจัยที่มีผลต่อการอบแห้ง

เนื่องจากการอบแห้ง คือ การเคลื่อนย้ายน้ำออกจากวัสดุ ดังนั้นปัจจัยใดๆ ที่มีผลต่อการเคลื่อนที่ของน้ำจึงมีผลต่ออัตราของการอบแห้ง ได้แก่ (สุคนธ์ชื่น, 2546)

1. ธรรมชาติของวัสดุ วัสดุเนื้อโปร่งมีการเคลื่อนที่ของน้ำได้เร็วกว่าวัสดุเนื้อแน่น ดังนั้นวัสดุเนื้อโปร่งจึงแห้งเร็วกว่าวัสดุที่มีเนื้อแน่น วัสดุที่มีปริมาณน้ำตาลสูงจะมีความเหนียวทำให้เกิดช่วงการเคลื่อนที่ของน้ำจึงแห้งช้า ส่วนวัสดุที่ผ่านการลวก นวดคลึง ทำให้เซลล์แตกจึงแห้งเร็วกว่าปกติ

2. ขนาดและรูปร่าง ขนาดและรูปร่างของวัสดุมีผลต่อการระเหยของน้ำในผลิตภัณฑ์ ถ้าขนาดใหญ่และรูปร่างหนาเกินไปจะทำให้ระยะเวลาในการอบแห้งนาน

3. อุณหภูมิของอากาศร้อน อุณหภูมิจะเป็นตัวเร่งให้เกิดการระเหยของความชื้นในวัสดุ วัสดุที่อบแห้งที่อุณหภูมิสูงจะมีอัตราการอบแห้งที่สูงกว่าวัสดุที่อบแห้งที่อุณหภูมิต่ำ

4. ความเร็วลม ความเร็วทำหน้าที่ในการไล้ออน้ำออกจากผลิตภัณฑ์ เมื่อความเร็วลมเพิ่มขึ้นจะไล้อน้ำได้เร็วขึ้น จึงมีผลต่อระยะเวลาการอบแห้ง

2.2.3 หลักการถ่ายเทความร้อน

การวิเคราะห์การถ่ายเทความร้อนที่ดีนั้นจะต้องทราบถึงกลไกของการถ่ายเทความร้อนแบบต่างๆ หลักการถ่ายเทความร้อนสามารถอธิบายการเปลี่ยนแปลงที่เห็นได้อย่างชัดเจนตั้งแต่สภาวะเริ่มต้นจนถึงสภาวะสุดท้ายของระบบและสิ่งแวดล้อม โดยการถ่ายเทความร้อนอาจแบ่งได้เป็น 3 แบบ (สุนันท์, 2548) คือ การถ่ายเทความร้อนโดยการนำ (conduction) การถ่ายเทความร้อนโดยการพา (convection) และการถ่ายเทความร้อนโดยการแผรังสี (radiation)

การนำความร้อนผ่านผนังรูปทรงกระบอก ในอุตสาหกรรมแปรรูปอาหาร มีการถ่ายเทความร้อนจะเกิดในแนวรัศมี เป็นการถ่ายเทความร้อนแบบมิติเดียวเป็นไปตามกฎภูการนำความร้อนของฟูเรียร์ (fourier's law of conduction) การนำความร้อน เป็นปรากฏการณ์การเคลื่อนที่ของความร้อนจากจุดที่มีอุณหภูมิสูง ไปยังจุดที่อุณหภูมิต่ำกว่า โดยที่ไม่เกิดขึ้นตัวกลางมีการสัมผัสกันโดยตรง ปริมาณของความร้อนที่เกิดการถ่ายโอนนั้นมีค่าแปรผันกับค่าความแตกต่างของอุณหภูมิตามระยะทาง ถือว่าเป็นการถ่ายโอนพลังงานอิกรูปแบบหนึ่งตามกฎข้อที่สองของเทอร์โมไดนามิกส์ กล่าวคือ พลังงานไม่มีการสูญหายแต่สามารถแปรสภาพไปเป็นพลังงานในรูปแบบอื่นได้ และสามารถอธิบายการเกิดของพลังงานความร้อนสำหรับการใช้งานในด้านต่าง ๆ โดยมีความหมาย 2 ประการ ดังต่อไปนี้

1. ความร้อนจะไม่เคลื่อนที่ไปยังแหล่งที่มีอุณหภูมิที่สูงกว่า นอกจากจะมีการให้พลังงานทางกลเข้าไป

2. พลังงานกลไม่สามารถได้มาจากแหล่งความร้อน เว้นเสียแต่ว่าพลังงานความร้อนดำเนินไปภายใต้อุณหภูมิที่ลดลง

การพากความร้อนเป็นปรากฏการณ์การเคลื่อนที่ของพลังงานจากแหล่งอุณหภูมิสูงไปยังอุณหภูมิต่ำกว่า โดยที่ไม่เกิดขึ้นตัวกลางมีการเคลื่อนที่ไปด้วย การถ่ายเทความร้อนแบบพาเนื้บทาท สำคัญต่อกระบวนการอบแห้งอาหารหลายชนิด การพากความร้อนสามารถจำแนกได้เป็น 2 แบบดังนี้ (สุนันท์, 2548) คือ การพากความร้อนแบบบังคับ (force convection) เกิดขึ้นเมื่อมีแรงภายนอกมาบังคับให้ของไหลเคลื่อนที่พร้อม ๆ กับทำหน้าที่ถ่ายเทความร้อน มักจะอาศัยอุปกรณ์ช่วย การพากความร้อนแบบบังคับนี้จะมีประสิทธิภาพมากกว่าแบบธรรมชาติและการพากความร้อนแบบธรรมชาติ

(natural convection) กลไกการเกิดการถ่ายเทความร้อนเป็นผลเนื่องจากความแตกต่างของความหนาแน่นในระบบการถ่ายเทในลักษณะนี้จะเกิดขึ้นค่อนข้างช้า

การแผ่รังสีเป็นการถ่ายเทความร้อนอกรอบตัวทุกทิศทุกทาง ต่างไปจากการนำความร้อนและการพากความร้อน เพราะไม่จำเป็นต้องอาศัยตัวกลาง การถ่ายเทความร้อนด้วยวิธีนี้มีบทบาทสำคัญในกระบวนการอบแห้งกลไกการปล่อยรังสีความร้อนเป็นผลมาจากการเคลื่อนที่แบบสั่น (oscillations) และการเปลี่ยนแปลงชั้นพลังงานของอิเล็กตรอนลายตัวที่ประกอบเป็นสาร แหล่งพลังงานภายในที่แพร่ผ่านไปกับอุณหภูมิของสารทำให้เกิดการเคลื่อนที่แบบสั่นนี้ปรากฏการณ์แผ่รังสีความร้อนอาจเป็นได้ทั้งในเชิงปริมาตร (volumetric) ในกรณีของก๊าซและตัวกลางปะรุงแสงอุณหภูมิสูง หรือในเชิงพื้นผิว (surface) (ภาควิชาวิศวกรรมอาหาร คณะอุตสาหกรรมเกษตร มหาวิทยาลัยเชียงใหม่) จากงานวิจัยของ Sandu (1986) พบว่า การแผ่รังสีอินฟราเรดคลื่นยาวลงบนวัสดุ รังสีอินฟราเรดคลื่นยาวจะทะลุผ่านเข้าไปในเนื้อวัสดุ โดยที่พลังงานการทะลุผ่านของรังสีอินฟราเรดคลื่นยาวจะลดลงในรูปแบบเอกโพเนนเชียล (exponential) ตามระดับความหนาจากผิววัสดุ ซึ่งมีการคุดชับพลังงานรังสีอินฟราเรดในเนื้อวัสดุ

2.2.4 รังสีอินฟราเรด

เป็นคลื่นแม่เหล็กไฟฟ้า ชนิดหนึ่งแฝ່ມาจากดวงอาทิตย์ ถูกค้นพบโดยนักวิทยาศาสตร์ชาวอังกฤษ คือ Sir William Herschel ในปี 1800 จากการทดลองวัดอุณหภูมิของແຄบสีต่างๆ ที่เปล่งออกมากเป็นสีรุ้งจากบริชีม และพบว่าอุณหภูมิความร้อนจะเพิ่มขึ้นตามลำดับและสูงสุดที่ແຄบสีแดง การที่เขามีส่วนร่วม เทอร์โมมิเตอร์จากແຄบสีที่ไม่สว่างไปยังແຄบสีสีแดง ซึ่งเป็นແຄบสีที่สีน้ำเงินของสเปกตรัม และอุณหภูมิสูงขึ้นเป็นลำดับ ซึ่งขอบเขตดังกล่าวเรียกว่า "อินฟราเรด" (ของเขตที่ต่ำกว่าແຄบสีแดง) เป็นคลื่นแม่เหล็กไฟฟ้าที่มีความยาวคลื่น 700 นาโนเมตร – 1 มิลลิเมตร ความถี่ในช่วง 1011 – 1014 เฮิรตซ์ มีคุณสมบัติไม่เบี่ยงเบนในสสารแม่เหล็กไฟฟ้า ความถี่สูงมากขึ้น พลังงานก็สูงขึ้นตามไปด้วย เป็นคลื่นที่มีความถี่ตัดจากความถี่ของสีแดงลงมา มนุษย์จึงไม่สามารถมองเห็นรังสีอินฟราเรด แต่สามารถรู้สึกถึงความร้อนได้รังสีอินฟราเรดแบ่งย่อยออกเป็น 3 ระดับ คือ

1. รังสีอินฟราเรดสั้น (near-infrared) ช่วงความยาวคลื่น 0.75-3 μm
2. รังสีอินฟราเรดกลาง (middle-infrared) ช่วงความยาวคลื่น 3-25 μm
3. รังสีอินฟราเรดยาว (far-infrared) ช่วงความยาวคลื่น 25-100 μm

2.3.4.1 จุดเด่นของรังสีอินฟราเรด

1. พลังงานจากรังสีอินฟราเรดจะถูก分配ไปยังวัสดุซึ่งทำให้มีผลกระทบของน้ำภายในวัสดุสั่นและเกิดความร้อนขึ้นซึ่งทำให้อุณหภูมิภายในวัสดุสูงกว่าอุณหภูมิผิวจุดเด่นนี้เองที่ทำให้ผิววัสดุไม่เยี่ยวย่น และยังช่วยให้อัตราการอบแห้งที่สูง ลดระยะเวลาการอบแห้งและพลังงานที่ใช้ได้

2. หลอดรังสีอินฟราเรดให้ heat flux ที่ค่อนข้างสูงดังนั้นอุปกรณ์จึงมีขนาดเล็กทำให้สามารถออกแบบเครื่องอบแห้งให้ขนาดกะทัดรัดช่วยลดเงินลงทุนในการสร้างเครื่องอบแห้ง
3. การให้ความร้อนโดยการแผ่รังสีจะทำให้อุณหภูมิกระจายอย่างรวดเร็ว ต้องการอากาศหมุนเวียนเพียงเล็กน้อย
4. รังสีอินฟราเรดสามารถนำไปใช้ควบคู่กับระบบอื่นได้่ายเนื่องจากใช้พื้นที่ในการติดตั้งที่น้อย ไม่มีความซับซ้อนของระบบและตอบสนองต่อการควบคุมได้รวดเร็ว

2.3 ผลิตภัณฑ์ครีมเทียม (Nondairy creamer)

ครีมเทียมเป็นผลิตภัณฑ์ที่มิได้มาจากการโดยตรง ซึ่งได้ทำการตัดแปลงมาจากครีมแท้ โดยมีองค์ประกอบหลัก คือไขมัน โปรตีนและคาร์บอไฮเดรต (David and Gardiner, 1977) เราสามารถเรียกครีมเทียมได้ 2 แบบ คือ นอนไดอะรี่ ครีมเมอร์ (Nondairy creamer) หรือ อิมิเทชั่นมิลต์ (Imitation milk) (Dearborn, 1969) ครีมเทียมที่ใช้เติมในเครื่องดื่มประเภท ชา กาแฟ เพื่อปรับปรุงคุณสมบัติด้านความขาวให้ความชันช่วยลดรสขมและให้กลิ่นรสคล้ายครีมในเครื่องดื่ม (Gardiner, 1977) ในการผลิตครีมเทียมสามารถผลิตໄว้ 3 รูปแบบ คือ ชนิดผง ชนิดเหลว และชนิดแข็ง (Baker, 1988) ส่วนใหญ่ครีมเทียมผงจะใช้ในภัตตาคาร หน่วยงานต่างๆ และยังได้รับการยอมรับจากผู้บริโภคตามบ้านเรือนมาเป็นเวลานาน เนื่องจากผลิตภัณฑ์มีราคาถูก สามารถเก็บรักษาได้นานแม้อยู่ในอุณหภูมิปกติ จึงทำให้ผู้บริโภคชอบมากกว่าครีมน้ำมันอื่น (Gardiner, 1977) ลักษณะครีมเทียมที่ดีต้องมีสีขาวนวล กลิ่นรสเป็นที่ยอมรับของผู้บริโภคสามารถละลายได้ดี และไม่เกิดการแยกตัวของไขมัน (oiling off) นอกจากนี้ครีมเทียมไม่ควรจับตัวแข็งเป็นก้อน (caking) และไม่เกิดลักษณะกลิ่นสเปิลปกติหลังการกลืน (after taste) ส่วนประกอบที่สำคัญของครีมเทียมคือ ไขมัน โปรตีน คาร์บอไฮเดรต สารอิมัลซิไฟเออร์ สารสเตเบิลайเซอร์ เกลือสเตเบิลชิงซ์ สารปรุงแต่งกลิ่นรสสารเพิ่มความขาวและน้ำ ในผลิตภัณฑ์ครีมเทียมนิยมใช้น้ำมันพืชที่ผ่านการไฮโดรเจน化บางส่วน (partially hydrogenated oil) ซึ่งเป็นแหล่งของไขมันชนิดทรานส์ (trans fatty acid) (นาริป, 2539) เนื่องจากปัจจุบันผู้บริโภคตระหนักรถึงผลเสียของการบริโภคกรดไขมันชนิดทรานส์มากยิ่งขึ้น ดังนั้นหากใช้ผงกลัวยาน้ำว้าทดแทนผลิตภัณฑ์ครีมเทียม จึงเป็นอีกทางเลือกให้กับผู้บริโภคที่ไม่ต้องการบริโภคกรดไขมันชนิดทรานส์ อีกทั้งยังช่วยในเรื่องของสรรพคุณทางด้านยาจักษารोคและคุณประโยชน์ทางด้านโภชนาการที่สูงด้วย คุณสมบัติของสารองค์ประกอบในครีมเทียม

2.3.1 ไขมัน เป็นองค์ประกอบสำคัญ ทำให้มีลักษณะขั้นหนึด (Malundo, 1992) ให้ความชั้น มัน และช่วยให้กาแฟเกิดความขาวคล้ายนมสด (Baker, 1988) ไขมันที่ใช้ในการผลิตครีมเทียมควรเป็นชนิดที่ไม่เกิดกลิ่นหืนง่าย จึงนิยมใช้ไขมันที่มีความอิ่มตัวสูง และมีลักษณะเป็นของแข็งที่

อุณหภูมิห้อง ซึ่งนิยมใช้ไขมันที่ประกอบด้วย กรดลอริก (laulic acid) มีปริมาณของแข็งทั้งหมด (total solid) สูง และผ่านกระบวนการไฮโดรเจนไนต์ (hydrogenation) ไขมันประเภทนี้ได้แก่ ไขมันมะพร้าว และไขมันปาล์ม ซึ่งไขมันเหล่านี้จะมีสายคาร์บอน (carbon-chain) สั้น (Baker, 1988) มีจำนวนคาร์บอน 16-18 ตัว และโครงสร้างเป็นแบบบีต้า (B-from) (Gilmore, 1980) ซึ่งจะมีผลทำให้เกิดการรวมตัวการหลังการละลาย และไม่รู้สึกว่ามีไขมันติดค้างในปาก (Baker, 1988)

2.3.2 โปรตีน ทำหน้าที่เป็นสารให้ความขาว เพิ่มรสชาติและความขั้น มัน ลดรสขมเพื่อสนของกรดแทนนิคในกาแฟ ลดความเป็นกรดในเครื่องดื่ม (Knightly, 1969) ช่วยให้เกิดสภาพคลออลอยด์ เพื่อป้องกันการแยกตัวของครีมเทียมออกจากน้ำ ในสภาวะการละลายที่ไม่เหมาะสม เช่น อุณหภูมิที่ร้อนหรือเย็นจัดเกินไป นอกจากรูปแบบของโปรตีนยังช่วยให้เกิดความเป็นเนื้อเดียวกัน ระหว่างไขมันกับน้ำ โดยไขมันจะเข้าไปเคลือบโปรตีนที่จับตัวกับน้ำ เกิดลักษณะเป็นเนื้อเดียวกันขึ้น โปรตีนที่กระจายตัวได้ในน้ำ คือโซเดียมเคเชอีต (sodium caseinate) ร้อยละ 3-15 และยังช่วยต้านโภชนาการอีกด้วย (Baker, 1988)

2.3.3 คาร์บอไซเดต เป็นสารให้ความหวาน ป้องกันไม่ให้เกิดลักษณะการรวมตัวของไขมัน (Gardiner, 1977) ให้ลักษณะเนื้อสัมผัสที่ดี โดยทั่วไปมักใช้ในรูปน้ำเชื่อม เช่น น้ำเชื่อมจากข้าวโพด (corn syrup) น้ำเชื่อมจากมันสำปะหลัง (sucrose syrup) น้ำเชื่อมกลูโคส (glucose syrup) น้ำเชื่อมซูครอส (sucrose syrup) น้ำเชื่อมฟรุคโตสและน้ำเชื่อมแลคโตสร้อยละ 6 (Okonogi, 1980)

2.3.4 สารอิมลัชไฟเออร์ (emulsifier) ช่วยให้เกิดลักษณะกระจายตัว และเพิ่มอัตราการละลายให้สูงขึ้น ได้แก่ กลีเซอไรด์ โมโนสเตียเรต (glyceride monostearate) โพรพิลีนไกลคอล โมโนสเตียเรต (propylene glycol monostearate) และเลซิทิน (lecithin) เป็นสารประกอบลดแรงตึงผิวของไขมัน (pipophilic surfactants) ช่วยให้ครีมเทียมมีลักษณะกระจายตัวในผลิตภัณฑ์ได้ดี และสารโพลีซอร์บেต 60 (polysorbate 60) เป็นสารประเภทลดแรงตึงผิวของน้ำ (hydrophilic surfactants) เพื่อช่วยเพิ่มอัตราการละลายของผลิตภัณฑ์ครีมเทียมควบคุมคุณสมบัติความเป็นเนื้อเดียวกันของคลออลอยด์ และควบคุมความเป็นกรด ด่าง ในครีมเทียม (Gardiner, 1977 ; Baker, 1988)

2.3.5 สารคงตัว (stabilizer) เป็นสารประเภทละลายน้ำ ทำหน้าที่ช่วยให้โปรตีนกระจายตัวได้ในน้ำ และเพิ่มความหนืดให้แก่ครีมเทียม ได้แก่ คาราจีแนน กัม (carageenan gum) คาร์บอฟิล เมทธิล เซลลูโลส (carboxy methyl cellulose) อัลจิเนต (alginate) และแป้งดัดแปลง (modified starch) ต่างๆ (Gardiner, 1977)

2.3.6 เกลือสเตบิไลซิง (stabilized salts) ช่วยให้เกิดความสมดุลของอิオนในครีมเทียม ปรับปรุงสภาพความเป็นคลออลอยด์ของโปรตีน และป้องกันการแตกหักของโปรตีน ในเครื่องดื่มที่มีสภาพเป็นกรด หรืออุณหภูมิที่ร้อนหรือเย็นจัดเกินไป ได้แก่ โซเดียมซิตรेट (sodium citrate) โซเดียมไตรฟอสเฟต (sodium triphosphate) เทตระโซเดียมไฟฟอสเฟต (Tetrasodium

pirophosphate) ไดโพแทสเซียมฟอสเฟต (dipotassium phosphate) โซเดียมอะซิเตต (sodium acetate) โพแทสเซียมอะซิเตต (potassium acetate) และแคลเซียมอะซิเตต (calcium acetate) (Gardiner, 1977 ; Tonner, 1978)

2.3.7 สารปรุงแต่งสีและรสชาติ ช่วยเพิ่มความพอใจแก่ผู้บริโภคในด้านกลิ่นและรสชาติ ได้แก่ กลิ่นนม กลิ่นเนย และกลิ่นวนิลาประมาณร้อยละ 0.1-2 (Gardiner, 1977 ; Okonogi, 1986)

2.4 วัตถุที่นำมาผลิตผงกล้วย

2.4.1 กล้วยน้ำว้า (Kluai Numwa)

กล้วยน้ำว้า มีชื่อวิทยาศาสตร์ว่า *Musa sapientum* Linn. ชื่อสามัญ : Banana วงศ์ : Musaceae กล้วยน้ำว้า เป็นการผสมระหว่างกล้วยป่ากับกล้วยตานี มีการบริโภคกันอย่างแพร่หลาย เพาะปลูกง่าย รสชาติดี สำหรับสายพันธุ์ของกล้วยน้ำว้าแบ่งออกเป็น 3 ชนิด ตามสีของเนื้อกล้วย คือ น้ำว้าแดง น้ำว้าขาว และน้ำว้าเหลือง (สารานุกรมไทยสำหรับเยาวชนฯ, 2555) พันธุ์กล้วยที่มีการปลูกมากที่สุดในประเทศไทย ทนทานต่อสภาพดินฟ้าอากาศได้ดีกว่ากล้วยชนิดอื่นๆ จัดเป็นพืชาระดับประโยชน์ กล้วยน้ำว้ามีลำต้นเทียมสูงไม่เกิน 3.5 เมตร เส้นผ่านศูนย์กลางมากกว่า 15 เซนติเมตร กابลำตันด้านนอกสีเขียวอ่อน ก้านใบมีร่องค่อนข้างแคบ เส้นกลางใบสีเขียว ก้านช่อดอกไม่มีขน ในประดับรูปไข่ค่อนข้างป้อม ม้วนงอขึ้นปลายป้าน ด้านบนสีแดงอมม่วงมีนวลด้านล่างสีแดงเข้ม เครื่องหนึ่งมี 7-10 หัว หัวหนึ่งมี 10-16 ผล ผลใหญ่กว่ากล้วยไข่ กว้าง 3-4 เซนติเมตรยาว 11-13 เซนติเมตร มีเหลี่ยม ก้านผลยาว ผลมีความเยาว์ไกล์เคียงกับกล้วยไข่แต่เปลือกหนากว่า เมื่อสุกเปลี่ยนเป็นสีเหลืองปนน้ำตาล เนื้อสีขาว รสหวานที่แกนกลาง หรือเรียกว่าไส้กลาง มีสีเหลือง ชมพู หรือ ขาว (เบญจมาศ, 2545)

2.4.2 การแบ่งระดับความสุกของกล้วย

ระยะเก็บเกี่ยวที่เหมาะสมอาจพิจารณาจากหลายลักษณะ เช่น การนับจำนวนวันของกล้วยโดยเริ่มนับจากวันที่ปลูกกล้วยผลลัพธ์ออกมามให้เห็นจนถึงวันเก็บเกี่ยวได้ หรือเริ่มนับตั้งจากวันที่ก้าบดอกของหัวแรกเปิดออกจนถึงวันเก็บเกี่ยว หรือการวัดเส้นผ่านศูนย์กลางของผลกล้วย และการพิจารณาจากขนาดนูนเหลี่ยมของกล้วย (สมศักดิ์, 2546) นอกจากนี้ CSIRO (1972) ได้แบ่งขั้นตอนในการสุกของกล้วย ตามดัชนีสีเปลือก (Peel Colour Index, PCI) หลังจากตัดออกเป็น 8 ระยะ ดังนี้

ระยะที่ 1 เปลือกเขียว ผลแข็ง ไม่มีการสุก

ระยะที่ 2 เริ่มเปลี่ยนสีจากเขียวออกเหลืองนิด ๆ

ระยะที่ 3 เริ่มเปลี่ยนสีจากเขียวออกเหลืองมากขึ้นแต่ยังมีสีเขียวมากกว่าสีเหลือง

ระยะที่ 4 เริ่มเปลี่ยนสีจากเขียวออกเหลืองและมีสีเหลืองมากกว่าสีเขียว
 ระยะที่ 5 เปลือกเป็นสีเหลือง แต่ปลายยังเป็นสีเขียว
 ระยะที่ 6 ทั้งผลมีสีเหลือง (ผลสุก)
 ระยะที่ 7 ผิวสีเหลืองและเริ่มมีจุดสีน้ำตาล (สุกเต็มที่ มีกลิ่นหอม)
 ระยะที่ 8 ผิวสีเหลือง และเริ่มมีจุดสีน้ำตาลมากขึ้น (สุกมากเกินไป เนื้อเริ่มอ่อนตัวและมีกลิ่นแรง)

2.4.3 คุณค่าทางอาหารของกล้วยน้ำว้า

กล้วยน้ำว้าเป็นพืชที่สามารถใช้ประโยชน์ได้ทุกส่วนทั้งลำต้น ใบ ดอกและผล โดยผลของกล้วยน้ำว้าจะที่ยังดิบอยู่เนื้อกล้วยจะแข็งมีรสเผ็ด เนื้อมีสีขาว ยังไม่มีกลิ่นหอมของกล้วยเปลือกของผลดิบแข็ง มีสีเขียวเข้ม ปอกยาก แต่เมื่อตัดจากลำต้นแล้วประมาณ 10 วัน เปลือกจะมีสีเหลืองตลอดลูก ตกรยะเป็นจุด ๆ มีกลิ่นหอมชวนรับประทาน มีรสหวาน เปลือกปอกได้ง่าย ผลกล้วยสุกเรานำมาทำอาหารได้หลายอย่าง เช่น กล้วยเชื่อม กล้วยตาก กล้วยบวชชี กล้วยแขก กล้วยปั้ง รับประทานเป็นยา rahay อ่อน ๆ เป็นอาหารเสริมสำหรับทารก โดยเฉพาะผลกล้วยน้ำว้าที่สุกแล้ว มีสารอาหารที่มีประโยชน์แก่ร่างกายหลายชนิด นอกจากนี้เปลือกกล้วยน้ำว้ามีปริมาณไขอาหารสูงถึง 50 กรัมต่อน้ำหนักแห้ง 100 กรัม ไขอาหารที่ได้มีลักษณะเป็นผงสีน้ำตาล (พัชราภรณ์, 2550) ซึ่งกองโภชนาการ กรมอนามัย กระทรวงสาธารณสุขได้วิเคราะห์คุณค่าอาหารของกล้วยน้ำว้าสุกไว้ดังนี้

มหาวิทยาลัยราชภัฏมหาสารคาม
RAJABHAT MAHASARAKHAM UNIVERSITY

ตารางที่ 2.1 แสดงคุณค่าทางโภชนาการของกล้วยน้ำว้าในส่วนที่กินได้ 100 กรัม

คุณค่าทางโภชนาการ	ปริมาณ	หน่วย
1. ให้พลังงาน	148	แคลอรี
2. โปรตีน	1.1	กรัม
3. คาร์บอไฮเดรต	35.4	กรัม
4. ไขมัน	0.2	กรัม
5. วิตามิน เอ	9	หน่วยสาгал
6. วิตามิน บี 1	0.03	มิลลิกรัม
7. วิตามิน บี 2	0.04	มิลลิกรัม
8. ไนอะซิน	1.4	มิลลิกรัม
9. วิตามิน ซี	11	มิลลิกรัม
10. แคลเซียม	7	มิลลิกรัม
11. พอสฟอรัส	43	มิลลิกรัม
12. เหล็ก	0.8	มิลลิกรัม
13. น้ำ	7.6	กรัม
14. กากใย	2.3	กรัม
15. เบต้าแคโรทีน	54	ไมโครกรัม
16. โพแทสเซียม	0.04	มิลลิกรัม
17. ไรโบฟลาวิน	0.02	มิลลิกรัม

ที่มา: กองโภชนาการ กรมอนามัย กระทรวงสาธารณสุข, 2544

2.5 ศึกษาสมบัติทางกายภาพของกล้วยผงน้ำว้า

2.5.1 การหาค่าการละลาย

วิธีการหาค่าการละลายทำโดยอ้างอิงวิธีการของ Dubois *et al.* (1956) โดยเตรียมผงกล้วย ประมาณ 0.3 g (w_1) ทำเป็นสารละลายผงกล้วย 1% (w/v) นำไปแช่ในอ่างน้ำร้อนที่ควบคุมอุณหภูมิ โดยในการวิจัยนี้จะทดลองที่อุณหภูมิที่ 60 และ 80 °C เป็นเวลา 30 นาที จากนั้นปล่อยให้สารละลายเย็นตัวลงและนำสารละลายเหลงในหลอดเหวี่ยงขนาด 2 มิลลิลิตร ที่ทราบมวล จากนั้นนำไปเหวี่ยงด้วยเครื่องเซนทริฟิวจ์ (microcentrifuge) ที่ระดับ 5000×g เป็นเวลา 30 นาที จากนั้นดูดของเหลว

ตอนบนใส่ภาชนะที่ทราบมวลแล้วนำไปปอกแห้งที่อุณหภูมิ 100 °C เป็นเวลา 4 ชั่วโมง และนำไปปั้ง มวลที่ได้เป็นส่วนของกลวยที่ละลายน้ำได้ (W_2) จากนั้นนำมวลที่ได้ไปคำนวณค่าการละลายดังสมการที่ 2.8

$$\text{ค่าการละลาย (\%)} = \frac{W_2}{W_1} \times 100 \quad (2.8)$$

2.5.2 การวิเคราะห์ค่าสี

สีแสดงถึงคุณภาพของอาหารและผลิตผลทางการเกษตรโดยตรง ซึ่งส่งผลต่อคุณภาพการยอมรับหรือไม่ยอมรับของผู้บริโภค ถ้าสีของอาหารหรือผลิตผลทางการเกษตรผิดปกติผู้บริโภคส่วนใหญ่จะไม่ยอมรับและอาจจะไม่คำนึงถึงคุณภาพด้านอื่นต่อไปเช่น กลิ่น รสชาติ หรือเนื้อสัมผัส สีมีบทบาทที่สำคัญต่ออาหารทั้งในรูปของสด และแปรรูปใช้เป็นตัวบ่งชี้คุณภาพของผลิตภัณฑ์ เช่นบอกความอ่อน แก่ บอกการเสื่อมคุณภาพเนื่องจากจุลินทรีย์ การเปลี่ยนแปลงสีของอาหารระหว่างการอบแห้งเป็นผลจาก การเปลี่ยนแปลงทางเคมีของแครอฟท์น้อยต์และคลอร์ฟิลล์ เกิดจากความร้อนและปฏิกิริยาออกซิเดชัน ระหว่างการอบแห้ง โดยทั่วไปการอบแห้งที่ใช้เวลานานกว่าและอุณหภูมิสูงกว่าจะทำให้เกิดการเปลี่ยนแปลงมากกว่าปฏิกิริยาออกซิเดชัน และปฏิกิริยาจากเอนไซม์ที่หล่อเลี้ยงในอาหารทำให้เกิดสีน้ำตาลระหว่างการเก็บรักษา การอบแห้งที่ดีควรรักษาให้สีของอาหารที่ได้หลังการอบแห้งมีลักษณะใกล้เคียงกับสีของอาหารก่อนการอบแห้งให้มากที่สุด การอบแห้งด้วยวิธีการต่างกันจะส่งผลต่อสีของผลิตภัณฑ์ที่แตกต่างกัน (วี.ลี, 2546)

ในการวิจัยนี้ศึกษาการเปลี่ยนแปลงของผงกลวยหลังการอบแห้งโดยใช้เครื่องวัดสี Hunter lab รุ่น Mini Scan XE-Plus เป็นการวัดในระบบ CIE โดยมีค่าแสดงค่า L หมายถึงค่าความสว่าง (0-100 หมายถึง สีมืด - สว่าง) a แสดงความเป็นสีแดงหรือเขียว (ค่า+ หมายถึงสีแดง ค่า- หมายถึงสีเขียว) และ b (ค่า+ หมายถึงสีเหลือง ค่า- หมายถึงสีน้ำเงิน) ซึ่งสามารถหาได้จากการสมการที่ 2.9

$$\Delta E = \sqrt{(\Delta L)^2 + (\Delta a)^2 + (\Delta b)^2} \quad (2.9)$$

หรือ	L	คือ ค่าความสว่าง
	a	คือ ค่าความเป็นสีแดงหรือสีเขียว
	b	คือ ค่าความเป็นสีเหลืองหรือสีน้ำเงิน
	ΔE	คือ ค่าการเปลี่ยนแปลงสีโดยรวม

2.6 การประเมินทางประสาทสัมผัส (Sensory evaluation)

ใช้วิธีการให้คะแนนความชอบ (Hedonic scaling test) เป็นวิธีการที่ใช้ในการทดสอบการยอมรับของผู้บริโภคต่อผลิตภัณฑ์ บอกความชอบ และไม่ชอบ ออกมาเป็นสเกลความชอบ โดยเสนอตัวอย่างให้ผู้ทดสอบทีละ 1 ตัวอย่าง ในสเกลความชอบอาจจะมีการใช้คำต่างๆ เช่น ดีเลิศ (Excellent) ดี (Very good) ดี (Good) หรือไม่ดี (Poor) เป็นต้น สเกลที่ใช้อาจเป็น 5 หรือ 7

แต่สเกลความชอบที่นิยมใช้กันอย่างกว้างขวางคือ สเกลความชอบ 9 คะแนน (nine-point hedonic scale) ในการศึกษานี้ใช้ผู้ทดสอบจำนวน 30 คน โดยผู้ทดสอบผ่านการอบรมด้านการประเมินทางประสาทสัมผัสจากผู้เชี่ยวชาญ และทำการทดสอบตามงานวิจัยของ Lim (2011) ใช้แบบประเมินความชอบ (9-point hedonic scale) โดยเป็นวิธีการทดสอบแบบให้คะแนนความชอบ โดยวิธี Hedonic scaling 9-point จากนั้นประเมินการยอมรับทางด้านประสาทสัมผัสในด้าน สี กลิ่น รสชาติ เนื้อสัมผัส และความชอบโดยรวม นำข้อมูลที่ได้ไปทำการวิเคราะห์ความแปรปรวน (Analysis of Variances, ANOVA) และวิเคราะห์ความแตกต่างทางสถิติด้วย Duncan's new multiple range test

การแปลงข้อมูลทางสถิติ

วิเคราะห์ความแปรปรวนทางสถิติ (ANOVA) และความแตกต่างของค่าเฉลี่ย Duncan's Multiple Range Test (DMRT) ของข้อมูลที่ระดับความเชื่อมั่นร้อยละ 95

2.7 งานวิจัยที่เกี่ยวข้อง

ในปัจจุบันมีงานวิจัยที่ทำการศึกษาการอบแห้งในหลากหลายวิธี ผลิตกล้ำยผงด้วยวิธีการต่างๆ รวมทั้งมีการนำผลิตภัณฑ์ที่ได้ไปแปรรูปในรูปแบบที่แตกต่างออกไป โดยแต่ละงานจะมีการศึกษาปัจจัยต่างๆ เช่น ปัจจัยที่มีผลต่อการอบแห้ง รูปแบบของการอบแห้ง รวมไปถึงการศึกษาเกี่ยวกับคุณภาพของผลิตภัณฑ์ที่ได้จากการวิจัยที่นำมาใช้สำหรับเป็นข้อมูลพื้นฐานมีดังนี้

จารวุฒน์ เจริญลิท (2555) ศึกษาเทคโนโลยีการอบแห้งด้วยรังสีอาทิตย์เพื่อเป็นแนวทางในการพัฒนาและส่งเสริมการใช้เทคโนโลยีเครื่องอบแห้งด้วยอาทิตย์ในประเทศไทยพบว่าสามารถแบ่งตามวิธีการรับรังสีอาทิตย์ได้ 3 แบบคือรับรังสีอาทิตย์โดยตรง โดยอ้อมและแบบผสมมีลักษณะการหมุนเวียนอากาศภายใน 2 ลักษณะคือหมุนเวียนตามธรรมชาติ (passive system) และหมุนเวียนแบบบังคับ (active system) โดยปัจจัยหลักของการเพิ่มสมรรถนะการอบแห้งด้วยรังสีอาทิตย์คือ อุณหภูมิ ความเร็วและความชื้นของอากาศในระบบรวมถึงการพัฒนาระบบที่มีความสม่ำเสมอและเพิ่มระยะเวลาการอบแห้งที่ใช้ความร้อนจากรังสีอาทิตย์เป็นแนวทางที่ส่งเสริมให้รังสีอาทิตย์มีความคุ้มค่าด้านเศรษฐศาสตร์มากขึ้น โดยการประยุกต์ใช้ระบบทำน้ำร้อนด้วยรังสีอาทิตย์ที่มีถังสะสมน้ำร้อนทำงานร่วมกับโรงเรือนกรະจากเป็นแนวทางที่ครรศึกษาเพื่อพัฒนาการผลิตอาหารร้อนในกระบวนการอบแห้งแบบ Mixed active solar drying และ Mixed passive solar drying ตามลำดับ โดยอุณหภูมิที่สามารถผลิตได้แปรผันตามสมรรถนะของตัวเก็บรังสีอาทิตย์แต่ละชนิดโดย

ใช้น้ำร้อนเป็นตัวกลางสะสมความร้อนหรือทำงานร่วมกับระบบอิฐปูมตามความเหมาะสมของวัสดุ อบแห้งชนิดต่างๆ

ธีระศักดิ์ หุดากร (2552) ศึกษาสมรรถนะของตัวเก็บรังสีอาทิตย์แผ่นราบแบบร่องรูปตัววี สำหรับเครื่องอบแห้งพลาสติกและอาทิตย์โดยเครื่องอบแห้งพลาสติกและอาทิตย์ประกอบด้วยห้องอบแห้งขนาด $1 \times 1 \times 0.7$ ลูกบาศก์เมตร ตัวเก็บรังสีอาทิตย์แผ่นราบทาก 3 $\times 1$ ตารางเมตรซึ่งมีลักษณะเป็นร่องรูปตัววีโดยใช้อัตราการไหลของอากาศเท่ากับ 0.04 กิโลกรัมต่อวินาที ผลิตผลที่ใช้ในการอบแห้งคือมะเขือเทศราชนิแข็งโดยมีความชื้นเริ่มต้น 91 เปอร์เซ็นต์มาตรฐานเปียกทำการอบแห้งครั้งละ 5 กิโลกรัม จำนวน 4 ถาดๆ ละ 1.25 กิโลกรัม จนกระทั่งเหลือความชื้นสุดท้ายเท่ากับ 30 เปอร์เซ็นต์มาตรฐานเปียก จากการทดลองพบว่าในช่วงเวลา 9.00-17.00 น. ของวันที่มีท้องฟ้าแจ่มใสอุณหภูมิภายในห้องอบแห้งเฉลี่ยทั้งวันอยู่ที่ 47.0 องศาเซลเซียส และมีอุณหภูมิสูงสุดที่ 54.10 องศาเซลเซียส โดยมีประสิทธิภาพของตัวเก็บรังสีอาทิตย์สูงสุดที่ 56.23 เปอร์เซ็นต์ และมีประสิทธิภาพเชิงความร้อนของเครื่องอบแห้งพลาสติกและอาทิตย์สูงสุดเท่ากับ 16.90 เปอร์เซ็นต์ เครื่องอบแห้งนี้สามารถอบมะเขือเทศราชนิแข็งในเวลา 24 ชั่วโมง ในขณะที่ตากแดดตามธรรมชาติใช้เวลาถึง 48 ชั่วโมง

กิตติศักดิ์ วิธินันทกิตติ์ และคณะ (2553) งานวิจัยนี้วิเคราะห์ประสิทธิภาพของการอบแห้งสมุนไพรแบบลมร้อนร่วมกับรังสีอินฟราเรดไกล เครื่องอบแห้งประกอบด้วยมอเตอร์ขับพัดลม 0.25 แรงม้า และอุปกรณ์ให้ความร้อนและแท่งรังสีอินฟราเรดขนาด 1 กิโลวัตต์ โดยอบแห้งชิ้งและข้าวจากความชื้นเริ่มต้นประมาณร้อยละ 521-600 และ 323-393 มาตรฐานแห้ง ตามลำดับ ให้เหลือความชื้นสุดท้ายประมาณร้อยละ 10 มาตรฐานแห้ง ที่อุณหภูมิลมร้อนและอุณหภูมิควบคุมรังสีอินฟราเรดที่เนื้อวัสดุ 45-65 องศาเซลเซียส และความเร็วลมร้อน 1.7 เมตรต่อวินาที จากผลการทดลองพบว่า อุณหภูมิลมร้อนและอุณหภูมิควบคุมรังสีอินฟราเรดที่สูงขึ้นสามารถลดระยะเวลาในการอบแห้งได้ และการอบแห้งสมุนไพรด้วยลมร้อนร่วมกับรังสีอินฟราเรดใช้เวลาในการอบแห้งน้อยกว่าการอบแห้งสมุนไพรด้วยลมร้อนเพียงอย่างเดียว เมื่อพิจารณาเงื่อนไขที่ดีที่สุด พบว่า การอบแห้งชิ้งที่อุณหภูมิลมร้อน 65 องศาเซลเซียส และอุณหภูมิควบคุมรังสีอินฟราเรด 55 องศาเซลเซียส ใช้เวลาในการอบแห้ง 70 นาที และการอบแห้งข้าวที่อุณหภูมิลมร้อน 65 องศาเซลเซียส และอุณหภูมิควบคุมรังสีอินฟราเรด 65 องศาเซลเซียส ใช้เวลาในการอบแห้ง 45 นาที การอบแห้งทั้งสองสภาพมีคุณภาพด้านสีใกล้เคียงกับชิ้งและข้าวมากที่สุด ส่วนปริมาณน้ำอิสระของชิ้งและข้าวแห้งมีค่าประมาณ 0.51-0.64 และ 0.51-0.63 ตามลำดับ

มาฤดี ผ่องพิพัฒน์พงศ์ และคณะ (2536) จากการทดลองทำแบบจำลองโดยใช้กล่าวส่องชนิด คือ กล่าวญี่ปุ่นน้ำร้อนและกล่าวหักมุก ซึ่งในการทดลองนี้จะศึกษาอุณหภูมิความร้อนที่ใช้ในการนึ่งกล่าวทั้งสองชนิดโดยจะใช้อุณหภูมิที่ 250 องศาฟาเรนไฮต์ เพื่อจะช่วยให้ในการปอกเปลือกและหั่นเนื้อกล่าวจะ

ทำได้ง่ายขึ้นซึ่งจะหันกลัวยเป็นชิ้นเล็ก ๆ จะพบว่าเวลาที่เหมาะสมควรนึงกลัวนาน 1 นาทีดีที่สุด เนื่องจากจะทำให้ปอกเปลือกและหันเป็นชิ้นเล็กๆ ได้ง่าย และพบว่าส่วนประกอบของแป้งกลัวทั้งสองชนิดมีค่าไอล์เดียงกันเมื่อใช้เวลาในการนึ่งกลัวยต่างกัน และเปอร์เซนต์ไข่ไม่โลสต์ต่อน้ำหนักแห้งของแป้งกลัวยน้ำว้าและกลัวยหักมูกที่นึ่งนาน 1 นาที เป็น 12.06 และ 10.58 ตามลำดับ

นฤตี พงศ์กิจวิฐุร และคณะ (2544) ศึกษาผลของปัจจัยการผลิตที่มีความชื้นและคุณภาพทางด้านสีของกลัวยหอมผง เพื่อนำมาใช้ในการพัฒนาสมการคำนวณปริมาณสารต้านออกไซด์ในกลัวยหอม ที่มีผลต่อค่าสีของกลัวยหอม ได้แก่ ระดับการสุกหรือดัชนีสีเปลือกของกลัวยหอม (Peel Color Index, PCI) ความเข้มข้นของกลัวยบด อุณหภูมิผิวลูกกลิ้ง และความหนาของฟิล์มอาหาร เตรียมกลัวยบดจากกลัวยที่มีระดับการสุก PCI 5 และ PCI 6 ให้มีความเข้มข้น 80 และ 90 เปอร์เซ็นต์ (น้ำหนัก/น้ำหนัก) โดยเติมสารละลายโพแทสเซียมเมตาไบซัลไฟต์ และเล็กซิตินจากถ่านเหลืองร้อยละ 1 อบแห้งด้วยเครื่องอบแห้งแบบลูกกลิ้งหมุนที่อุณหภูมิ ผิวลูกกลิ้ง 120 130 และ 140 องศาเซลเซียส และปรับระยะเวลาหุงลูกรีดและลูกกลิ้ง เท่ากับ 0.15 และ 0.30 มิลลิเมตร พบว่า ค่าสัมประสิทธิ์การแพร่ความชื้นประสิทธิ์ของกลัวยหอมอยู่ในช่วง 1.38×10^{-9} ถึง 4.11×10^{-9} ตารางเมตรต่อวินาที ค่าพลังงานกระตุ้นในการแพร่ความชื้นของกลัวยที่มีระดับการสุก PCI 5 และ PCI 6 เท่ากับ 43.18 และ 54.56 กิโลจูลต่อโมล ตามลำดับ จนศาสตร์การเกิดสีน้ำตาลของกลัวยหอมระหว่างการอบแห้งเป็นปฏิกิริยาอันดับหนึ่ง โดยค่าพลังงานกระตุ้นในการเกิดสีน้ำตาลของกลัวยที่มีระดับการสุก PCI 5 และ PCI 6 เท่ากับ 77.63 และ 64.63 กิโลจูลต่อโมล ตามลำดับ พบว่าระดับการสุกของกลัวยหอมและอุณหภูมิผิวลูกกลิ้งเท่านั้นที่มีผลอย่างมีนัยสำคัญ

สุธิพรรณ สน.เพื่อก และมาศอุบล ทองงาม (2556) ศึกษาระยะเวลาเก็บเกี่ยวของกลัวยน้ำว้าปากช่อง 50 ที่ 90 100 และ 110 วัน หลังจากวันแหงปลีต่อสมบัติเคมีเชิงฟิสิกส์ของแป้งและสารชากลัวย ซึ่งแป้งกลัวยผลิตจากผลลัพธ์ดีบ และสารชาสกัดจากแป้งกลัวย เมื่อตรวจสอบสมบัติทางกายภาพ เคมี และเคมีเชิงฟิสิกส์ พบว่า กลัวยทุกรายยะเวลาเก็บเกี่ยวมีค่า ร้อยละผลได้ของแป้ง และสารชาอยู่ในช่วงร้อยละ 39-41 ของน้ำหนักผลสด และร้อยละ 30-42 ของน้ำหนักแป้งกลัวย ตามลำดับ วิเคราะห์ค่าสี พบร้า ค่า a^* และ b^* มีความแตกต่างกันในแต่ละระยะเวลาเก็บเกี่ยว แต่ดัชนีความขาวของแป้งไม่แตกต่างกันอย่างมีนัยสำคัญ ขณะที่องค์ประกอบทางเคมีในแป้งกลัวย พบร้า ปริมาณโปรตีนและเล้ามีความแตกต่างกันอย่างมีนัยสำคัญ แต่องค์ประกอบทางเคมีและร้อยละปริมาณอะไมโลสของสารชาไม่มีความแตกต่างกัน ทั้งนี้ระยะเวลาเก็บเกี่ยวไม่แตกต่างกัน ยกเว้นค่าความหนืดสุดท้าย ขณะที่สารชากลัวยมีค่าความหนืดในแต่ละระยะเวลาเก็บเกี่ยวไม่แตกต่างกัน ยกเว้นค่าความหนืดสุดท้าย ขณะที่สารชากลัวยมีค่าความหนืดสูงสุดและค่าความหนืดลดลงแตกต่างกันเมื่อระยะเวลาเก็บเกี่ยวเพิ่มขึ้น

จากการศึกษางานวิจัยที่เกี่ยวข้องพบว่า การศึกษาการพัฒนาระบวนการอับแห้งผลกล้วยน้ำว้าไม่แพร่หลาย รวมทั้งการศึกษาปัจจัยการอับแห้งที่มีผลต่อคุณภาพผลิตภัณฑ์แห้งกล้วยน้ำว้า เช่น สี กลิ่น การละลายน้ำ น้ำมีไม่มาก ส่วนมากจะเป็นการอับแห้งที่ใช้เตาอบไฟฟ้า และตากแบบธรรมชาติซึ่งต้องใช้เวลานานและมีปัญหารื่องความสะอาด และเนื้อสัมผัสมีความไม่สม่ำเสมอ แต่ยังพอทราบถึงข้อมูลที่นำมาประกอบในงานวิจัยนี้คือ อุณหภูมิอบแห้งกล้วยน้ำว้าที่หันแล้วในช่วง 50–70 องศาเซลเซียส และความชื้นสุดท้ายของวัสดุ ระดับความสุกของกล้วย มีผลต่อคุณภาพของผลิตภัณฑ์ ดังนั้นงานวิจัยจึงศึกษาการกระบวนการอับแห้งผลกล้วยน้ำว้าที่มีผลต่อคุณภาพด้าน สี กลิ่น การละลายน้ำของผลกล้วยน้ำว้าที่ผลิตได้ โดยใช้เครื่องอบแห้งด้วยพลังงานแสงอาทิตย์ร่วมกับรังสีอินฟราเรดเพื่อลดระยะเวลาในการอับแห้ง โดยใช้เครื่องอบแห้งแบบ巢式 เพื่อพัฒนาการอับแห้งที่กลุ่มชาวบ้านยังมีปัญหาและต้องการปรับปรุงการผลิตวิธีเดิมให้ดีขึ้น รวมทั้งเป็นการเพิ่มศักยภาพในการแข่งขันมากขึ้น ส่วนการนำพลังงานแสงอาทิตย์เข้ามาใช้ในการอับแห้งอย่างเหมาะสม จะสามารถช่วยลดต้นทุนในการใช้ไฟฟ้าและก้าชหุต้มได้

จากการศึกษารายงานทางวิชาการแสดงให้เห็นว่า มีการผลิตผลกล้วยแต่ยังไม่แพร่หลาย ซึ่งมีรูปแบบการผลิตแตกต่างกันออกไป แต่ยังไม่พنجานวิจัยที่ผลิตผลกล้วยเพื่อนำไปทดแทนครีมเทียมหรือเครื่องดื่มเพื่อสุขภาพ ด้วยเครื่องอบแห้งพลังงานแสงอาทิตย์ร่วมกับรังสีอินฟราเรด ดังนั้นงานวิจัยนี้จึงได้ทำการศึกษาพัฒนาระบวนการแปรรูปกล้วยน้ำว้า ในกระบวนการผลิตผลกล้วยน้ำว้า เพื่อทดแทนครีมเทียมที่ใช้เดิมในเครื่องดื่มประเภท กาแฟ หรือเครื่องดื่มสำเร็จรูปประเภทต่างๆ ในกระบวนการอับแห้ง โดยใช้เครื่องอบแห้งพลังงานแสงอาทิตย์ร่วมกับรังสีอินฟราเรด เพื่อให้ได้ผลิตภัณฑ์ผลกล้วยน้ำว้าที่มีความแห้งสม่ำเสมอ คงไว้ซึ่ง สี กลิ่น คุณค่าทางโภชนาการ

บทที่ 3

วิธีดำเนินการวิจัย

คณะกรรมการวิจัยและนวัตกรรมที่จะพัฒนาผลิตภัณฑ์และปรับปรุงกระบวนการแปรรูปผงกล้วยน้ำว้า เพื่อเป็นทางเลือกใหม่ให้ผู้บริโภคโดยนักล้วยน้ำว้าดิบมาแปรรูปเป็นผลิตภัณฑ์กล้วยผงเพื่อทดแทนครีมเทียมที่ใช้เติมในเครื่องดื่มประเภท กาแฟ หรือเครื่องดื่มสำเร็จรูปประเภทต่างๆ โดยมีการพัฒนากระบวนการอบแห้งในการผลิตผงกล้วยน้ำว้าโดยใช้เครื่องอบแห้งพลังงานแสงอาทิตย์ร่วมกับรังสีอินฟารेड โดยมีหัวข้อดำเนินการศึกษาดังนี้

3.1 เครื่องมือ/อุปกรณ์ในการวิจัย

3.1.1 เครื่องมือเก็บข้อมูล

- 1) กล้วยน้ำว้าสายพันธุ์มะลิอ่อง เมื่อแบ่งตาม PCI คือกล้วยที่มีการสุกระยะที่ 3 คือเริ่มเปลี่ยนสีจากเขียวออกเหลืองมากขึ้นแต่ยังมีสีเขียวมากกว่าสีเหลือง
- 2) เครื่องอบแห้งพลังงานแสงอาทิตย์ร่วมกับอินฟราเรดคลื่นยาว
- 3) ถอดสแตนเลสสำหรับอบแห้ง
- 4) เครื่องชั่งน้ำหนัก OHAUS (ความละเอียด 0.01g)
- 5) นาฬิกาจับเวลา (ความละเอียด 0.01 วินาที)
- 6) เครื่องบันทึกข้อมูลอุณหภูมิ (Data logger) ยี่ห้อ Agilent รุ่น 34972A
- 7) ไพรอนอมิเตอร์ สำหรับวัดรังสีอาทิตย์ร่วม
- 8) เครื่องอบลมร้อนไฟฟ้า
- 9) เครื่องวัดสี Hunter lab รุ่น Mini Scan Plus รุ่น Colorimeter color c/2*
- 10) กระปองอะลูมิเนียม 5 กระปอง

3.1.2 อุปกรณ์สร้างเครื่องอบแห้งพลังงานแสงอาทิตย์ร่วมกับรังสีอินฟารेड

- 1) สแตนเลสแผ่น
- 2) ปลั๊กไฟ
- 3) เหล็กกล่องขนาด 1x1 นิ้ว
- 4) มือจับประตู
- 5) อุปกรณ์ในการห่ไฟฟ้า
- 6) พัดลมคอมพิวเตอร์ 12 V

- 7) แผ่นโพลีкарบอเนตชนิดโปร่งแสง
- 8) เซลล์แสงอาทิตย์ ขนาด 40 W
- 9) สังกะสีแผ่นเรียบ
- 10) ฉนวนกันความร้อน 10 มิลลิเมตร

3.2 ขั้นตอนการดำเนินการวิจัย

โดยแบ่งเป็น 4 ขั้นตอน คือ 1) ขั้นตอนการออกแบบและสร้างเครื่องอบแห้งพลาสติก
แสงอาทิตย์ร่วมกับรังสีอินฟารेड 2) ขั้นตอนการหาประสิทธิภาพเครื่องอบแห้งพลาสติก
แสงอาทิตย์ร่วมกับรังสีอินฟารेड 3) ขั้นตอนการผลิตกล้ายผงอบแห้ง และ 4) การศึกษาคุณภาพและการทดสอบ
ทางประสานสัมผัสของผงกล้ายที่ได้

3.2.1 ออกแบบสร้างเครื่องอบแห้งพลาสติก แสงอาทิตย์ร่วมกับรังสีอินฟารेडสำหรับ

อบแห้ง

- 3.2.1.2 เงื่อนไขการออกแบบเครื่องอบแห้ง
 - 3.2.1.2.1 กำหนดเงื่อนไขเริ่มต้นในการออกแบบ
 - 1) ปริมาณผลิตภัณฑ์อบแห้ง 1 กิโลกรัม
 - 2) ความชื้นเริ่มต้นของกล้ายประมาณ 166 % w.b
 - 3) ความชื้นสุดท้ายประมาณ 4 % w.b
 - 4) ห้องกล้ายให้มีขนาดความหนา ประมาณ 3 มม. ซึ่งมวลประมาณ 5 กรัม
 - 5) ความเข้มรังสีอาทิตย์มาตรฐาน $1,000 \text{ W/m}^2$ (กระหวงพลาสติก)

2556)

- 6) ประสิทธิภาพตัวเก็บรังสีเท่ากับ 30% (Maiti *et al.*, 2011)
- 7) การอบแห้งเป็นแบบชั้นบาง

3.2.1.2.2 การคำนวณขนาดของห้องอบแห้ง

- 1) กล้ายมีขนาด $3.14 \times 0.03 \times 0.03 = 0.0028$ ตารางเมตร เท่ากันทุกชิ้น
- 2) ลักษณะของชิ้นกล้ายเป็นแบบชิ้นบาง
- 3) มวลของชิ้นกล้ายเท่ากันทุกชิ้น คือ 0.005 กิโลกรัม

จำนวนชิ้นกล้าย จะสามารถคำนวณจาก

$$\frac{\text{มวลของกล้ายทั้งหมดที่ต้องการอบแห้ง}}{\text{มวลของกล้ายจำนวน 1 ชิ้น}} = \frac{\text{จำนวนชิ้นกล้าย}}{\text{จำนวนชิ้นกล้าย}}$$

$$= \frac{1}{0.005}$$

ดังนั้นจำนวนชิ้นของกลัวยในการทดลอง สามารถทดลองจำนวน 200 ชิ้น

ความสามารถพื้นที่ของภาคอุบแห้งได้จากการ

$$\begin{aligned} \text{ขนาดของภาคอุบแห้ง} &= \text{จำนวนชิ้นกลัวยที่ใช้ในการทดลอง} \times \text{พื้นที่ของกลัวยจำนวนหนึ่งชิ้น} \\ &= 200 \times 0.0028 = 0.28 \quad \text{ตารางเมตร} \end{aligned}$$

เนื่องจากว่าในการอบแห้งควรพิจารณาการวางแผนกลัวยไม่ให้ชิดกันจนเกินไปเนื่องจากต้องการให้อาหารร้อนสัมผัสกับผิวน้ำหนักมากที่สุด ดังนั้นพื้นที่ของภาคอุบแห้งจึงควรมีขนาดที่มากกว่าที่คำนวณได้ จึงเลือกขนาดพื้นที่ภาคอุบแห้ง เท่ากับ 0.32 ตารางเมตร โดยกำหนดให้ภาคมีความกว้าง 0.4 เมตร ยาว 0.8 เมตร เมื่อทราบพื้นที่ของภาคอุบแห้งแล้ว เราสามารถกำหนดให้ขนาดห้องอบแห้งได้ โดยกำหนดให้มีขนาดกว้าง 0.6 เมตร ยาว 0.75 เมตร สูง 0.5 เมตร

3.2.1.2.3 การคำนวณอัตราการไหลดของอากาศ

โดยถ้าต้องการอบแห้งกลัวยจำนวน 1 กิโลกรัม จากความชื้นเริ่มต้น 166

เปอร์เซ็นต์ w.b จนกระทั่งเหลือความชื้นสุดท้ายประมาณ 4 เปอร์เซ็นต์ w.b. สามารถคำนวณมวลของกลัวยได้จากการสมการ

$$M_w = \frac{w - d}{w}$$

โดยแทนค่า $M_w = 1.66$, $w = 1\text{ kg}$ จะได้

$$1.66 = (1 - d) / d$$

$$d = 0.376 \text{ kg}$$

ดังนั้น มวลแห้งของชิ้นกลัวย (d) เท่ากับ 0.376 kg และถ้าต้องการความชื้นสุดท้าย 4% w.b. จะสามารถมวลสุดท้ายของชิ้นกลัวยอบแห้งได้โดยแทน $M_w = 0.04$, $d = 0.376 \text{ kg}$ จะได้

$$0.04 = \frac{w - 0.376}{w}$$

$$w = 0.391 \text{ kg}$$

ดังนั้นมวลสุดท้ายของกลัวย (w) เท่ากับ 0.391 กิโลกรัม

ซึ่งจะต้องระเหยน้ำออกทั้งหมด $1 - 0.391 = 0.609$ กิโลกรัม

นั่นคือ ถ้าต้องการอบแห้งกลัวยจำนวน 1 กิโลกรัม จากความชื้นเริ่มต้น 166 เปอร์เซ็นต์ w.b. จนกระทั่งเหลือความชื้น 4 เปอร์เซ็นต์ w.b. จะต้องระเหยน้ำออก 0.609 กิโลกรัม สมมติให้อากาศอบแห้งมีอุณหภูมิ 60°C และอากาศที่ออกจากตู้อบแห้ง 40°C จะสามารถคำนวณหาอัตราการไหลดได้จากการสมการสมดุลพลังงาน

$$m_a c_p (T_{\text{mix}} - T_0) = m_w h_{fg}$$

โดยที่ m_a คือ มวลอากาศแห้ง , kg

c_p คือ ค่าความร้อนจำเพาะของอากาศ, kJ/kg-K

T_{mix} คือ อุณหภูมิก่อนเข้าตู้อบแห้ง, °C

T_0 คือ อุณหภูมิหลังเข้าตู้อบแห้ง, °C

m_w คือ มวลน้ำหรือปริมาณน้ำที่ระเหย, kg

h_{fg} คือ ความร้อนแฝงของการระเหยของน้ำ ซึ่งเท่ากับ 2,400 kJ/kg

$$m_a = \frac{m_w h_{fg}}{c_p (T_{mix} - T_0)}$$

$$m_a = \frac{0.609 \times 2,400}{1 \times (60 - 40)}$$

ดังนั้นมวลอากาศเท่ากับ 73.08 กิโลกรัม

ถ้าต้องการอบแห้งให้เสร็จภายใน 2 ชั่วโมง จะสามารถคำนวณอัตราการไหลดี ดังนี้

$$\dot{m}_a = \frac{73.08}{1 \times 3600} = 0.0203 \text{ kg}$$

ดังนั้นพลังงานความร้อนที่ใช้ในตู้อบแห้ง เท่ากับ

$$Q = \frac{0.609}{1 \times 3,600} \times 2,400 = 0.406 \text{ kJ / kg} = 0.406 \text{ kW}$$

3.2.1.2.4 การคำนวณพื้นที่ของตัวรับรังสีอาทิตย์

กำหนดให้ความเร็วลมภายในตัวรับรังสีอาทิตย์เท่ากับ 0.06 m/s และตัวรับรังสีอาทิตย์เท่ากับ 1x10.15 ตารางเมตร สามารถหาอัตราการไหลดีเขิงมวลของอากาศได้ดังต่อไปนี้

$$\dot{m} = \rho A V$$

$$\dot{m} = (1.1 \text{ kg / m}^3)(.5 \text{ m}^2)(.006) = 0.0099$$

สมมุติให้ ตัวเก็บรังสีมีค่าประสิทธิภาพ $\eta_c = 0.30$ จะได้

$$A_c = \frac{\dot{m} c_p (T_{out} - T_{in})}{\eta_c G_t}$$

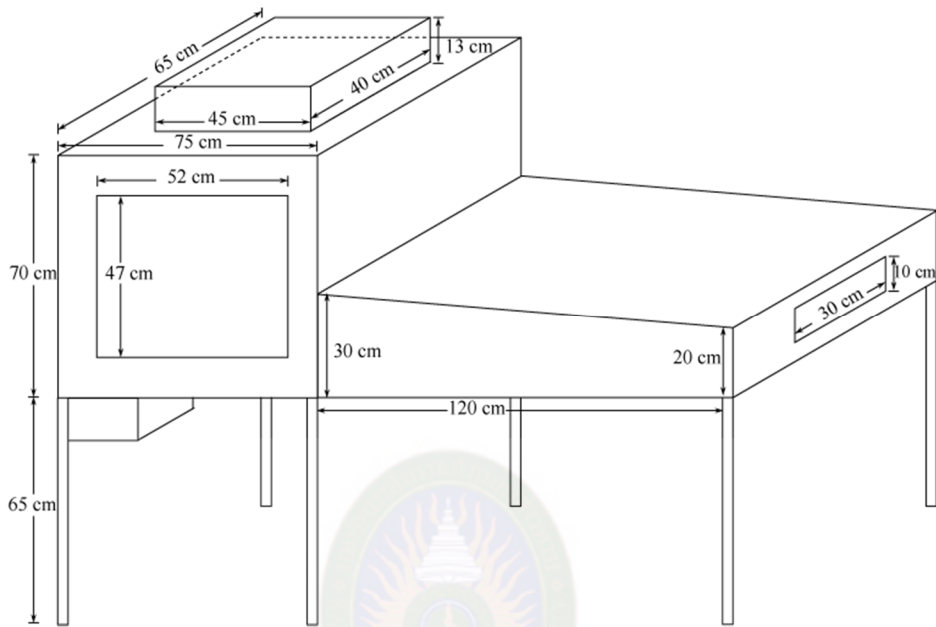
$$\text{แทนค่าจะได้ } A_c = \frac{(0.0099 \text{ kg / s})(1,000 \text{ J / kg.}^\circ\text{C})(60^\circ\text{C} - 27^\circ\text{C})}{(0.30)(1,000 \text{ W / m}^2)} = 1.089 \text{ m}^2$$

ดังนั้นจะใช้พื้นที่ของตัวรับรังสีอาทิตย์เท่ากับ 1.1 ตารางเมตร เมื่อนำพื้นที่ของตัวรับรังสีอาทิตย์ซึ่งมีความกว้าง 1 เมตร มาคำนวณความยาวของห้องอบแห้งจะได้เท่ากับ 1.1 เมตร

3.2.1.5 ตัวให้ความร้อนอินฟราเรด (heater Infrared)

ในการวิจัยนี้มีการติดตั้งหลอดรังสีอินฟราเรด จำนวน 2 หลอด หลอดละ 500 วัตต์ โดยมีอิฐเตอร์อยู่บริเวณด้านข้างของเครื่องอบแห้งและมีเครื่องมือควบคุมอุณหภูมิ (temperature control)

อยู่ด้านล่างของเครื่องอบแห้ง แสดงลักษณะโครงสร้างเครื่องอบแห้งรังสีอินฟราเรดร่วมกับพลังงานแสงอาทิตย์ในงานวิจัย ดังภาพที่ 3.1



ภาพที่ 3.1 ลักษณะเครื่องอบแห้งพลังงานแสงอาทิตย์ร่วมกับรังสีอินฟราเรด

3.2.1.6 การออกแบบลักษณะโครงสร้างของตัวรับรังสีอาทิตย์ แผงรับพลังแสงอาทิตย์ ประมาณ 0.78 ตารางเมตร เป็นอุปกรณ์แลกเปลี่ยนความร้อนที่ทำหน้าที่แปลงพลังงานรังสีอาทิตย์ให้อยู่ในรูปพลังงานความร้อน ถูกออกแบบมาเพื่อใช้งานที่อุณหภูมิสูงกว่าอุณหภูมิเวดล้อม ซึ่งตัวเก็บรังสีอาทิตย์จะทำหน้าที่รับรังสีอาทิตย์รวม (total radiation) ที่ตกกระทบชุดแผงรับพลังงานความร้อนจากแสงอาทิตย์นี้ได้ทำการออกแบบโดยใช้แผ่นสังกะสีชนิดแผ่นเรียบทาด้วยสีดำด้านเป็นตัวคุณภาพรังสีอาทิตย์และด้านบนมีกระจกแผ่นโพลีкарบอเนตชนิดโปร่งแสงปิดทับ

3.2.2 ขั้นตอนการทดสอบประสิทธิภาพเครื่องอบแห้งพลังงานแสงอาทิตย์ร่วมกับรังสีอินฟราเรด

3.2.2.1 ในการศึกษาประสิทธิภาพของเครื่องอบแห้งจะใช้ทำการอบแห้งกล้วยน้ำหว้าติบ PCI 3 ปริมาณ 400 กรัม ซึ่งมีความชื้นเริ่มต้นประมาณ 166% w.b ทำการอบแห้งจนเหลือความชื้นสุดท้ายประมาณ 4 % w.b ขณะอบแห้งบันทึกค่ามวลที่เปลี่ยนแปลงทุกๆ 5 นาที ของการอบแห้ง

3.2.2.2 วัดอัตราการใช้พลังงานในการอบแห้งโดยใช้เครื่อง Power factor (ยี่ห้อ Fluke รุ่น 1735)

3.2.2.3 วัดอุณหภูมิภายในตู้อบแห้งโดยใช้ Thermocouple type K ซึ่งต่อ กับ Data recorder

3.2.2.4 วัดความเข้มของรังสีด้วยอุปกรณ์ที่ติดตั้งบนระนาบตัวเก็บรังสี โดยใช้ Pyranometer (Pyranometer)

3.2.2.5 หาอัตราการอบแห้งโดยนำข้อมูลการเปลี่ยนแปลงของมวลระหว่างการอบแห้ง มาคำนวณหาอัตราการอบแห้ง ตามสมการที่ 2.7

3.2.3 ขั้นตอนการการผลิตผงกล้วยน้ำว้า

1) นำกล้วยน้ำว้าที่ระยำความสุก PCI 3 คือเริ่มเปลี่ยนสีจากเขียวออกเหลืองมากขึ้น แต่ยังมีสีเขียวมากกว่าสีเหลือง มาล้างทำความสะอาดสิ่งสกปรกออก และหั่นเป็นแว่นโดยใช้เครื่องหั่น แล้วลวกที่อุณหภูมิ 60 °C เป็นเวลา 1-2 นาที

2) แล้วนำออกมาแช่ในน้ำเย็นอุณหภูมิ 2 - 4 °C เป็นเวลา 30 วินาที เพื่อเป็นการรักษาสีของกล้วยและปลอกเปลือกและหั่นเป็นแว่น

3) นำแว่นกล้วยน้ำว้าที่หั่นเป็นแว่นจัดเรียงใส่ถาดเพื่อรอเข้าเครื่องอบแห้งพลังงานแสงอาทิตย์ร่วมกับรังสีอินฟราเรด

4) ทำการอบแห้ง ที่อุณหภูมิ 55 65 และ 70 °C จากนั้นนำกล้วยที่ผ่านการอบแห้ง ในแต่ละเงื่อนไขมาบด ด้วยเครื่องบดละเอียด (ultra centrifugal mill) และนำผงกล้วยที่ได้มาร่อนผ่านตะแกรงขนาด 100 เมช เพื่อแยกขนาดผงกล้วยน้ำว้า

5) นำกล้วยผงที่ได้บรรจุลงในถุงโพลีэทธิลีนชนิดหนา เก็บในที่แห้งเพื่อรักษาคุณภาพระหว่างรอกระบวนการทดสอบคุณภาพด้านอื่นๆ ต่อไป

ແຜັນຂັ້ນຕອນເຕີຣີມພລິຕັກັນທີ່ຜົງກລ້າຍ

ປະກອບດ້ວຍຂັ້ນຕອນດຳເນີນຈານດັ່ງນີ້



ขั้นตอนการเตรียมวัตถุดิบสำหรับการอบแห้ง



(ก)



(ข)



(ค)



(ง)

ภาพที่ 3.2 วัตถุดิบ (ก) กลวยน้ำว้าล้างสะอาด (ข) ต้มในน้ำอุณหภูมิ 60°C

(ค) แข็งกลวยในน้ำเย็น

(ง) หั่นเป็นแผ่นขนาดหนา 3 มิลลิเมตร



ภาพที่ 3.3 เครื่องอบแห้งพลังงานแสงอาทิตย์ร่วมกับรังสีอินฟราเรด



มหาวิทยาลัยราชภัฏมหาสารคาม
RAJABHAT MAHASARAKHAM UNIVERSITY

ภาพที่ 3.4 เครื่องชั่งน้ำหนักแบบดิจิตอลความละเอียด 0.01 กรัม



ภาพที่ 3.5 เครื่องวัดค่าพลังงาน Power factor



ภาพที่ 3.6 เครื่องบันทึกข้อมูลอุณหภูมิ (data logger)



ภาพที่ 3.7 ไฟรานอ米เตอร์ (Pyranometer)

มหาวิทยาลัยราชภัฏมหาสารคาม
RAJABHAT MAHASARAKHAM UNIVERSITY



ภาพที่ 3.8 ตู้อบหาความซึ้งของผลิตภัณฑ์แบบลมร้อน



ภาพที่ 3.9 เครื่องหั่นกลวย

3.3 การวิเคราะห์สมบัติทางกายภาพของผงกลวย

1) การหาค่าการละลาย

วิธีการหาค่าการละลายโดยอ้างอิงวิธีการของ Dubois *et al.* (1956) โดยเตรียมผงกลวยประมาณ 0.2 g (w_1) ทำเป็นสารละลายผงกลวย 1% (w/v) นำไปแข็งอ่างน้ำร้อนที่ควบคุมอุณหภูมิโดยในกรอบเวลา 30 นาที จากนั้นปล่อยให้สารละลายเย็นตัวลงและนำสารละลายเหล่านี้หลอดเทวีงขนาด 2 มิลลิลิตร ที่ทราบมวล จากนั้นนำไปเทวีงด้วยเครื่องเซนทริฟิว (microcentrifuge) ที่ระดับ 5000xg เป็นเวลา 30 นาที จากนั้นดูดของเหลวตอนบนใส่ภาชนะที่ทราบมวลแล้วนำไปอบแห้งที่อุณหภูมิ 100 องศาเซลเซียส เป็นเวลา 3 ชั่วโมง และนำใบซึ่งมวลที่ได้เป็นส่วนของผงกลวยที่ละลายน้ำได้ (w_2) จากนั้นนำมวลที่ได้ไปคำนวณค่าการละลายดังสมการที่ 2.8



(ก)



(ข)

ภาพที่ 3.10 การวัดค่าการละลาย (ก) เครื่องเซนทริฟิว (ข) อ่างน้ำร้อนที่ควบคุมอุณหภูมิ

2) การวิเคราะห์ค่าสี

สีแสดงถึงคุณภาพของอาหารและผลิตผลทางการเกษตรโดยตรง ซึ่งส่งผลต่อคุณภาพการยอมรับหรือไม่ยอมรับของผู้บริโภค ถ้าสีของอาหารหรือผลิตผลทางการเกษตรผิดปกติผู้บริโภคส่วนใหญ่จะไม่ยอมรับและอาจจะไม่คำนึงถึงคุณภาพด้านอื่นต่อไป เช่น กลิ่น รสชาติ หรือเนื้อสัมผัส สีมีบทบาทที่สำคัญต่ออาหารทั้งในรูปของสด และแปรรูปที่เป็นตัวบ่งชี้คุณภาพของผลิตภัณฑ์ เช่นบวกความอ่อน แก่ บอกการเสื่อมคุณภาพเนื่องจากจุลินทรีย์ การเปลี่ยนแปลงสีของอาหารระหว่างการอบแห้งเป็นผลจาก การเปลี่ยนแปลงทางเคมีของแคลโรทินอยด์และคลอโรฟิลล์ เกิดจากความร้อนและปฏิกิริยาออกซิเดชัน ระหว่างการอบแห้ง โดยทั่วไปการอบแห้งที่ใช้เวลานานกว่าและอุณหภูมิสูงกว่าจะทำให้เกิดการเปลี่ยนแปลงมากกว่าปฏิกิริยาออกซิเดชัน และปฏิกิริยาจากเอนไซม์ที่หล่อเหลืออยู่ในอาหารทำให้เกิดสีน้ำตาลระหว่างการเก็บรักษา การอบแห้งที่ดีควรรักษาให้สีของอาหารที่ได้หลังการอบแห้งมีลักษณะใกล้เคียงกับสีของอาหารก่อนการอบแห้งให้มากที่สุด การอบแห้งด้วยวิธีการต่างกันจะส่งผลต่อสีของผลิตภัณฑ์ที่แตกต่างกัน (วี.ล, 2546)

ในการวิจัยนี้ศึกษาการเปลี่ยนแปลงของpigmentหลังการอบแห้งโดยใช้เครื่องวัดสี Hunter lab รุ่น Mini Scan XE-Plus เป็นการวัดในระบบ CIE โดยมีค่าแสดงค่า L หมายถึงค่าความสว่าง (0-100 หมายถึง สีขาว - สว่าง) a แสดงความเป็นสีแดงหรือเขียว (ค่า+ หมายถึงสีแดง ค่า- หมายถึงสีเขียว) และ b (ค่า+ หมายถึงสีเหลือง ค่า- หมายถึงสีน้ำเงิน) ซึ่งสามารถหาได้จากการที่ 2.9

3.4 การประเมินทางประสาทสัมผัส (Sensory evaluation)

ใช้วิธีการให้คะแนนความชอบ (Hedonic scaling test) เป็นวิธีการที่ใช้ในการทดสอบการยอมรับของผู้บริโภคต่อผลิตภัณฑ์ บอกความชอบ และไม่ชอบ ออกมากเป็นสเกลความชอบ โดยเสนอตัวอย่างให้ผู้ทดสอบทีละ 1 ตัวอย่าง ในสเกลความชอบอาจจะมีการใช้คำต่าง ๆ เช่น ดีเลิศ (excellent) ดี (very good) ดี (good) หรือไม่ดี (poor) เป็นต้น สเกลที่ใช้อาจเป็น 5 หรือ 7 แต่สเกลความชอบที่นิยมใช้กันอย่างกว้างขวางคือ สเกลความชอบ 9 คะแนน (nine-point hedonic scale) ในการศึกษานี้ใช้ผู้ทดสอบจำนวน 30 คน โดยผู้ทดสอบผ่านการอบรมด้านการประเมินทางประสาทสัมผัสจากผู้เชี่ยวชาญ และทำการทดสอบตามงานวิจัยของ Lim (2011) ใช้แบบประเมินความชอบ (9-point hedonic scale) โดยเป็นวิธีการทดสอบแบบให้คะแนนความชอบ โดยวิธี Hedonic scaling 9-point จากนั้นประเมินการยอมรับทางด้านประสาทสัมผัสในด้าน สี กลิ่น รสชาติ เนื้อสัมผัส และความชอบโดยรวม นำข้อมูลที่ได้ไปทำการวิเคราะห์ความแปรปรวน (Analysis of Variances, ANOVA) และวิเคราะห์ความแตกต่างทางสถิติด้วย Duncan's new multiple range test

มหาวิทยาลัยราชภัฏมหาสารคาม
RAJABHAT MAHASARAKHAM UNIVERSITY

บทที่ 4

ผลการวิจัย

งานวิจัยนี้มีวัตถุประสงค์ที่ปรับปรุงวิธีการในการผลิตผงกล้วยเพื่อนำมาทดแทนครีมเทียม หรือเป็นผลิตภัณฑ์ชนิดอื่น โดยผลการวิจัย มีการออกแบบ สร้างเครื่อง หาประสิทธิภาพเครื่องอบแห้งพลังงานแสงอาทิตย์ร่วมกับรังสีอินฟารेड หาอุณหภูมิและเวลาที่เหมาะสมในการอบแห้งกล้วย ดิบเพื่อนำไปผลิตเป็นผงกล้วย ทดสอบคุณสมบัติทางกายภาพของผลิตภัณฑ์รวมทั้งทดสอบด้านประสิทธิภาพ โดยผลการวิจัยแบ่งออกเป็น 5 ขั้นตอน ดังนี้

4.1 ผลการออกแบบและสร้างเครื่องอบแห้งพลังงานแสงอาทิตย์ร่วมกับรังสีอินฟารेडสำหรับอบแห้งกล้วย

จากเงื่อนไขการออกแบบเครื่องอบแห้งพลังงานแสงอาทิตย์ร่วมกับรังสีอินฟารेडแบบอุโมงค์ ลมสำหรับอบแห้งกล้วย โดยการออกแบบคำนึงถึงปริมาณความร้อนที่ใช้ระหว่างน้ำออกจากกล้วย ทำให้ได้ผลการออกแบบดังนี้

4.1.1 ในการออกแบบเครื่องอบแห้งพลังงานแสงอาทิตย์ร่วมกับรังสีอินฟารेडประกอบด้วย การกำหนดขนาดความจุของห้องอบแห้ง ซึ่งงานวิจัยนี้ได้ออกแบบเพื่อใหม่ขนาดของห้องอบแห้ง ผลิตภัณฑ์ประมาณ 0.75×0.65 เมตร ตู้อบแห้งออกแบบสร้างให้สามารถอบผลิตภัณฑ์ได้ ครั้งละประมาณ 1 กิโลกรัม ซึ่งภายในตู้อบแห้งนั้นมีตาด้วงผลิตภัณฑ์จำนวน 4 ตาด ลักษณะตู้อบเป็นแบบชั้นบางมีลักษณะเป็นสี่เหลี่ยมผืนผ้าและตู้อบแห้งเป็นสแตนเลส โดยด้านบนของตู้อบแห้งติดตั้งหลอดรังสีอินฟารेडจำนวน 2 หลอด หลอดละ 500 วัตต์ ในส่วนของพลังงานความร้อนจากแสงอาทิตย์ใช้แผงรับแสงอาทิตย์มีขนาด 0.78 ตารางเมตร ปิดด้วยกระจกแผ่นเรียบด้านบนหนา 5 มิลลิเมตร ด้านในทาสีดำด้าน ติดตั้งหันไปทางทิศใต้เอียงทำมุมกับแนวระดับ 16 องศา พลังงานความร้อนสามารถผ่านได้เพื่อเพิ่มอุณหภูมิให้กับตู้อบแห้งโดยตรง ด้านหน้าประตูอบมีประตูสำหรับนำผลิตภัณฑ์เข้าและออก ด้านหลังของเครื่องอบแห้งมีพัดลมระบายความชื้นเพื่อให้ความชื้นที่อยู่ภายในตู้อบแห้งได้ระบายออกสู่ภายนอกโดยใช้พลังงานจากแสงโซล่าเซลล์ รอบๆ ตู้อบมีการหุ้มฉนวนกันความร้อนป้องกันความร้อนภายในตู้อบแห้งระบายออก

4.1.2 การออกแบบเครื่องอบแห้งพลังงานแสงอาทิตย์ร่วมกับรังสีอินฟารेड ขนาดโดยเฉลี่ยของชิ้นกล้วยที่ใช้ในการอบมีมวลโดยเฉลี่ยชิ้นละ 5 กรัม ในการอบแห้งกล้วยมีมวลรวม 1 กิโลกรัม โดยกล้วยมีจำนวน 200 ชิ้น ขนาดเส้นผ่าศูนย์กลาง 3.20 เซนติเมตร ความหนาประมาณ 3 มิลลิเมตร

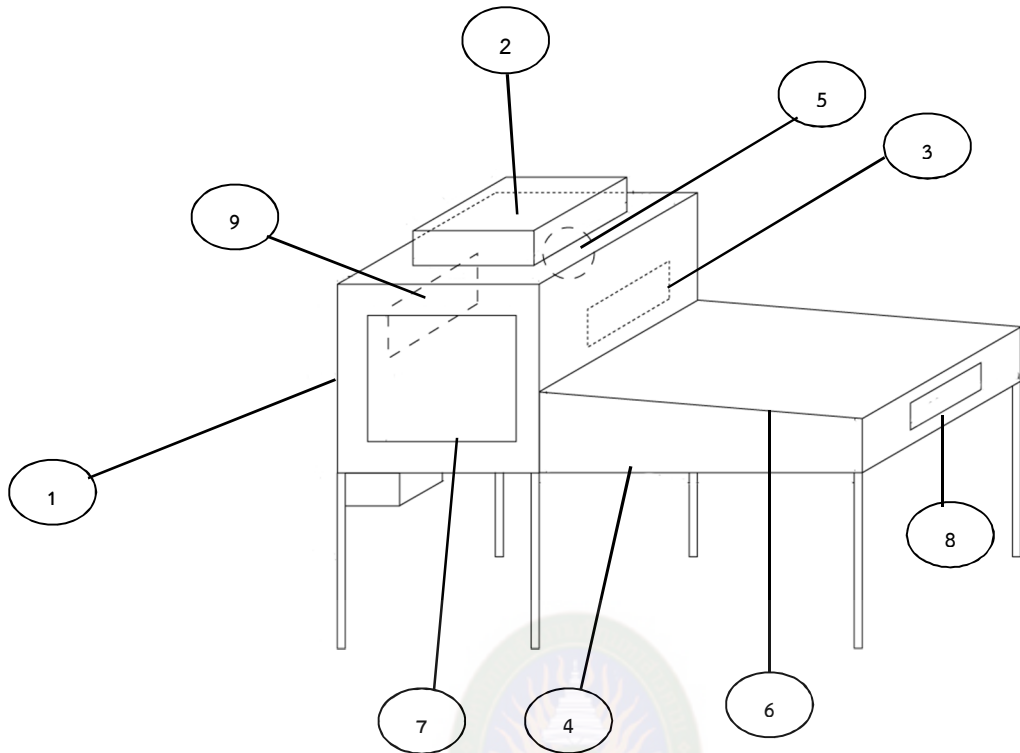
เครื่องอบแห้งพลังงานแสงอาทิตย์ร่วมกับรังสีอินฟารेडที่สร้างขึ้นแสดงดังภาพที่ 4.1- 4.2 ซึ่งประกอบด้วย หลอดรังสีอินฟารेडไกล ขนาด 500 วัตต์ จำนวน 2 หลอด (หมายเลข 2) ติดตั้งไว้ที่ด้านบนของเครื่องอบแห้ง โดยควบคุมอุณหภูมิอากาศกลางห้องอบแห้ง ด้วยเครื่องควบคุมอุณหภูมิ (หมายเลข 9) และใช้เทอร์โมคัปเปลชนิด K เป็นตัววัดอุณหภูมิ ทั้งนี้ด้านข้างของห้องอบแห้งติดตั้งพัดลมระบายอากาศโดยใช้พลังงานจากแบตเตอรี่โซล่าเซลล์ (หมายเลข 5) เพื่อระบายความชื้นออกจากห้องอบแห้ง โดยในการวัดปริมาณไฟฟ้าที่ใช้ในการอบแห้งถูกวัดด้วยเครื่องวัดพลังงาน และค่าความเข้มรังสีอาทิตย์วัดด้วยเครื่องไพรานอมิเตอร์ ภาพที่ 4.1-4.2 แสดงเครื่องอบแห้งพลังงานแสงอาทิตย์ร่วมกับรังสีอินฟารेडที่สร้างขึ้น



ภาพที่ 4.1 ด้านข้างเครื่องอบแห้งพลังงานแสงอาทิตย์ร่วมกับรังสีอินฟารेड



ภาพที่ 4.2 ด้านหน้าเครื่องอบแห้งพลังงานแสงอาทิตย์ร่วมกับรังสีอินฟารेड



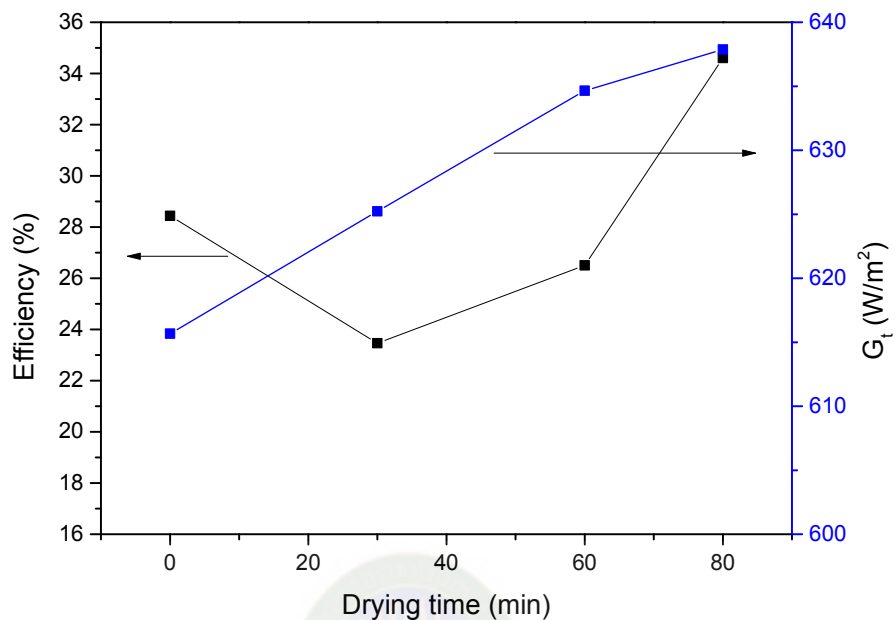
ภาพที่ 4.3 ส่วนประกอบของเครื่องอบแห้งพลาสติกแสงอาทิตย์ร่วมกับรังสีอินฟราเรด

- | | | |
|------------------------|-------------------------------------|---------------------------|
| (1) ห้องอบแห้ง | (4) ตัวเก็บรังสีอาทิตย์แผ่นร้าบ | (7) ประตูห้องอบแห้ง |
| (2) หลอดรังสีอินฟราเรด | (5) พัดลมระบายอากาศ | (8) ช่องทางลม |
| (3) ฮีตเตอร์ | (6) แผ่นกระจกปิดตัวเก็บรังสีอาทิตย์ | (9) เครื่องควบคุมอุณหภูมิ |

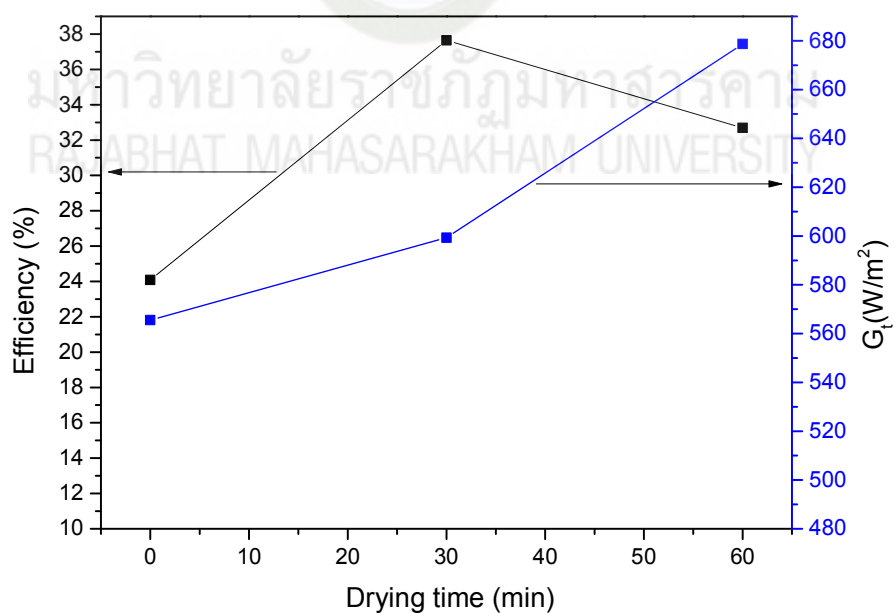
4.2 หาประสิทธิภาพเครื่องอบแห้งพลาสติกแสงอาทิตย์ร่วมกับรังสีอินฟราเรด

ในการทดลองหาประสิทธิภาพรวมของเครื่องอบแห้ง โดยพิจารณาจากประสิทธิภาพเชิงความร้อนของตัวเก็บรังสีอาทิตย์ ค่าความสัมมูลถือว่าเปลี่ยนพลาสติกจำเพาะและอัตราในการอบแห้ง ดังนี้

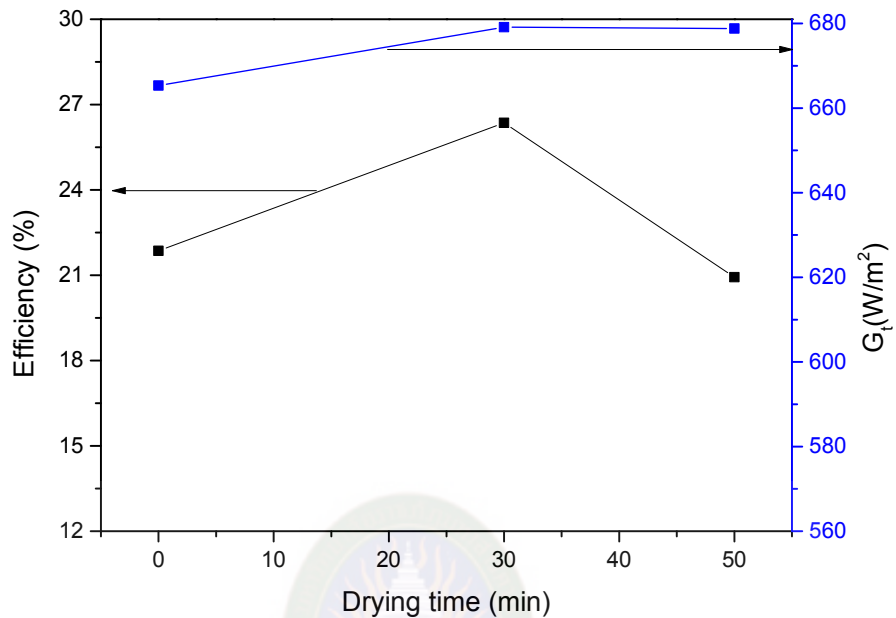
4.2.1 การศึกษาประสิทธิภาพเชิงความร้อนของตัวเก็บรังสีอาทิตย์ตลอดระยะเวลาการอบแห้งโดยทำการวัดอุณหภูมิที่อากาศทางเข้า (T_{in}) และทางออก (T_{out}) ตัวเก็บรังสีอาทิตย์ อุณหภูมิแวดล้อม (T_{En}) และความเข้มรังสีอาทิตย์ (G_v) โดยทำการทดลองและเก็บข้อมูลตลอดระยะเวลาในการอบแห้ง ด้วยเครื่องอบแห้งอินฟราเรดร่วมกับพลาสติกแสงอาทิตย์ ซึ่งได้ผลการทดลองดังแสดงในภาพที่ 4.4-4.6



ภาพที่ 4.4 การเปรียบเทียบประสิทธิภาพเชิงความร้อนของตัวเก็บรังสีอาทิตย์ ในระหว่างการอบแห้งกล้วยที่ 55 °C โดยทดลองเวลา 10.00-12.00 น.



ภาพที่ 4.5 การเปรียบเทียบประสิทธิภาพเชิงความร้อนของตัวเก็บรังสีอาทิตย์ ในระหว่างการอบแห้งกล้วยที่ 65 °C โดยทดลองเวลา 10.00-12.00 น.



ภาพที่ 4.6 การเปรียบเทียบประสิทธิภาพเชิงความร้อนของตัวเก็บรังสีอาทิตย์ ในระหว่างการอบแห้ง กล้วยที่ 70 °C โดยทดลองเวลา 10.00-12.00 น.

จากการที่ 4.4 4.5 และ 4.6 แสดงการเปรียบเทียบประสิทธิภาพเชิงความร้อนของตัวเก็บรังสีอาทิตย์ ในระหว่างการอบแห้งกล้วยด้วยเครื่องอบแห้งเครื่องอบแห้งพลังงานแสงอาทิตย์ร่วมกับรังสีอินฟารेडที่อุณหภูมิ 55 65 และ 70 °C ซึ่งพบว่าประสิทธิภาพของตัวเก็บรังสีอาทิตย์ (% E_{ff}) อยู่ในช่วง 23-31 % โดยตัวเก็บรังสีอาทิตย์ที่อบแห้งที่อุณหภูมิ 65 °C มีประสิทธิภาพเชิงความร้อนสูงที่สุด รองลงมาคือ 55 และ 70 °C ตามลำดับ ทั้งนี้ประสิทธิภาพเชิงความร้อนเฉลี่ยของตัวเก็บรังสีอาทิตย์ ตลอดระยะเวลาการอบแห้งกล้วยด้วยเครื่องอบแห้งพลังงานแสงอาทิตย์ร่วมกับรังสีอินฟารेडที่อุณหภูมิ 55 65 และ 70 °C แสดงดังตารางที่ 4.1 ซึ่งพบว่า เมื่อความเข้มรังสีอาทิตย์เพิ่มขึ้นมีแนวโน้มว่าประสิทธิภาพของตัวเก็บรังสีอาทิตย์จะเพิ่มขึ้นด้วย แต่อากาศมีบางกีกรณ์ที่มีความเข้มแสงที่สูงแต่ทำให้ประสิทธิภาพของความตัวเก็บรังสีอาทิตย์ต่ำ อาจจะเนื่องจาก สภาพอากาศมีความชื้นสัมพันธ์ต่ำทำให้ค่าความแตกต่างของอุณหภูมิทางเข้าและทางออก ($T_{Out} - T_{In}$) มีค่าสูง ในขณะที่ความเข้มรังสีแสงอาทิตย์มีค่าน้อย ส่งผลให้ประสิทธิภาพของแผงรับรังสีอาทิตย์มีค่ามาก

ตารางที่ 4.1 ค่าความแตกต่างอุณหภูมิทางเข้าและทางออก ($T_{Out} - T_{In}$) ตัวเก็บรังสีอาทิตย์ ความเข้มรังสีอาทิตย์ (G_t) และประสิทธิภาพของแผงรับรังสีอาทิตย์ (η_c) เฉลี่ย ของช่วงเวลาในการอบแห้ง

อุณหภูมิ (°C)	เวลาในการ อบแห้ง (min)	$T_{Out} - T_{In}$ (°C)	G_t (W/m ²)	η_c (%)
55	80	10.04	628.36	28.44
65	60	11.19	674.42	31.47
70	50	8.14	614.52	23.05

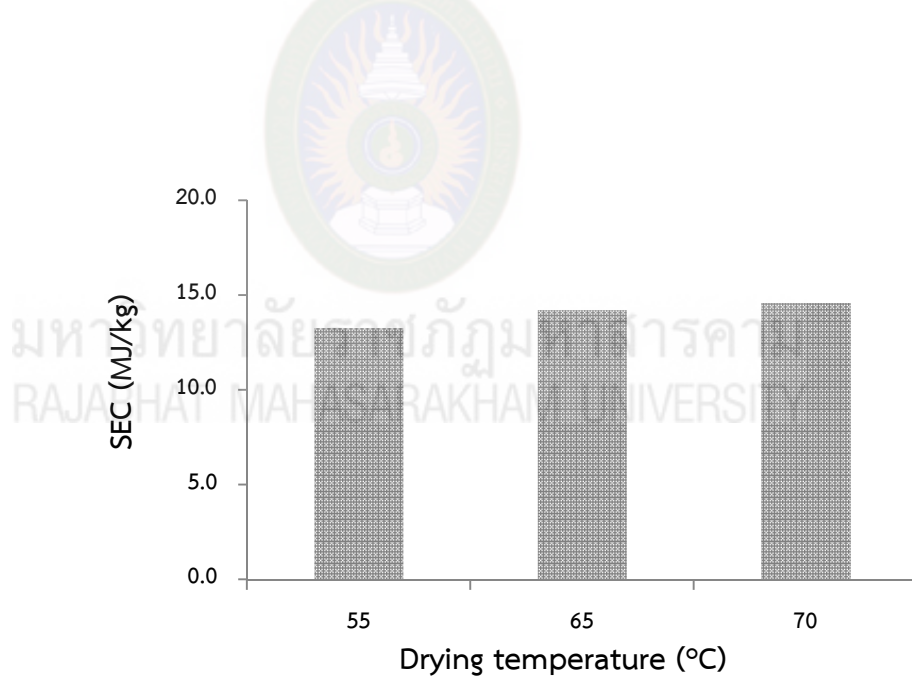
จากตารางพบว่า ค่าความแตกต่างของอุณหภูมิทางเข้าและทางออก ($T_{Out} - T_{In}$) แพร่รับรังสีอาทิตย์ ในแต่ละวันการทดลองมีค่าใกล้เคียงกัน ส่งผลให้ประสิทธิภาพมีค่าใกล้เคียงกันด้วย เมื่อ อบแห้งกลัวยที่อุณหภูมิ 65 °C เครื่องอบแห้งมีประสิทธิภาพเฉลี่ยมากที่สุด 31.47 % ซึ่งอาจจะมีสาเหตุมาจากค่าความเข้มแสงในวันดังกล่าวมีค่าสูง

4.2.2 การศึกษาประสิทธิภาพเครื่องอบแห้งโดยใช้ความสัมบูรณ์เปลี่ยนพลังงานจำเพาะ โดยใช้ข้อมูลจากพลังงานแสงอาทิตย์และพลังงานไฟฟ้าที่ใช้ในการอบแห้ง

จากการการเปรียบเทียบความสัมบูรณ์เปลี่ยนพลังงานจำเพาะในระหว่างการอบแห้งกลัวยเพื่อนำไปผลิตเป็นผงกลัวย ด้วยเครื่องอบแห้งพลังงานแสงอาทิตย์ร่วมกับรังสีอินฟราเรด พบว่าเมื่อ อบแห้งที่อุณหภูมิ 55, 65 และ 70 °C ให้ค่าความสัมบูรณ์เปลี่ยนพลังงานจำเพาะเท่ากับ 13.29, 14.23 และ 14.59 MJ/kg ตามลำดับ โดยกลัวยที่อุณหภูมิที่ 70 °C ให้ค่าความสัมบูรณ์เปลี่ยนพลังงานจำเพาะมากที่สุดคือ แต่ใช้เวลาในการอบแห้งน้อยที่สุด 50 นาที อาจจะเป็นผลเนื่องจากขณะที่มีการอบแห้ง มีค่าความเข้มแสงอาทิตย์ที่ค่อนข้างต่ำด้วยคือ 614.52 W/m² ทำให้ต้องใช้พลังงานจากหลอดรังสีอินฟราเรดค่อนข้างสูง ส่วนเมื่ออบแห้งกลัวยที่อุณหภูมิ 55 และ 65 °C ใช้เวลาในการอบแห้งต่างกันคือ 20 นาที แต่มีค่าความสัมบูรณ์เปลี่ยนพลังงานจำเพาะใกล้เคียงกัน อย่างไรก็ตามค่าความสัมบูรณ์เปลี่ยนพลังงานจำเพาะเฉลี่ยที่ได้จากเครื่องอบแห้งพลังงานแสงอาทิตย์ร่วมกับรังสีอินฟราเรด แสดงดังตารางที่ 4.2 และกราฟที่ 4.7

ตารางที่ 4.2 ความสัมบูรณ์เปลี่ยนพลังงานจำเพาะเฉลี่ย (SEC) ของเครื่องอบแห้งร่วมรังสีอินฟราเรด ร่วมกับพลังงานแสงอาทิตย์

อุณหภูมิ (°C)	เวลาใน การ อบแห้ง (min)	พลังงานความ ร้อนเฉลี่ยจาก ตัวเก็บรังสี อาทิตย์ (MJ)	พลังงานไฟฟ้า ที่ใช้ในการ อบแห้ง (MJ)	พลังงานที่ ใช้เฉลี่ย รวม (MJ)	ปริมาณน้ำที่ ระเหยออก จากวัสดุ (kg)	ความสัมบูรณ์ พลังงาน จำเพาะ (MJ/kg)
55	80	0.9785412	2.171	2.1723	0.237	13.29
65	60	0.8177652	2.5345	2.5357	0.236	14.23
70	50	0.498771	2.989	2.9903	0.239	14.59



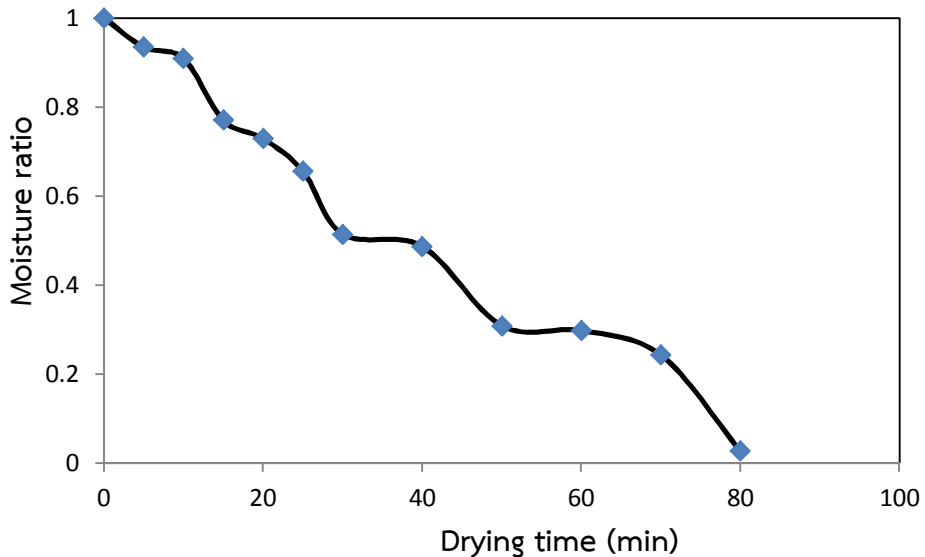
ภาพที่ 4.7 การเปรียบเทียบความสัมบูรณ์เปลี่ยนพลังงานจำเพาะในเครื่องอบแห้งในระหว่าง การอบแห้งกล้วยเมืองอบแห้งที่อุณหภูมิต่างๆ โดยทดลองเวลา 10.00-12.00 น.

4.2.3 การหาอัตราการอบแห้ง ในการอบแห้งกล้วยด้วยเครื่องอบแห้งพลังงานแสงอาทิตย์ ร่วมกับรังสีอินฟราเรด โดยควบคุมอุณหภูมิห้องอบแห้งที่อุณหภูมิ 55, 65 และ 70 °C โดยให้ความชื้น สุดท้ายประมาณ 4 % มาตรฐานแห้ง ซึ่งผลการเปลี่ยนแปลงความชื้นในแต่ละอุณหภูมิอบแห้ง ให้ผล ดังนี้

จากตารางที่ 4.3 และภาพที่ 4.8 แสดงข้อมูลลักษณะที่ผ่านการอบแห้งที่อุณหภูมิที่ 55 65 และ 70 °C พบว่า อัตราส่วนความชื้นในช่วงแรกๆ จะมีการลดลงอย่างรวดเร็วเนื่องจากรังสีอินฟราเรดเกิดการเหนี่ยวนำให้โมเลกุลของน้ำภายในเนื้อกล้ายจนเกิดการหมุนเนื่องจากการเปลี่ยนแปลงข้อไฟฟ้าอย่างรวดเร็ว ซึ่งมีผลทำให้เกิดการเสียดสีของโมเลกุลของน้ำภายในโครงสร้างเซลล์ชั้นในของเนื้อกล้ายเกิดเป็นพลังงานอย่างรวดเร็ว โดยในช่วงแรก ๆ ความชื้นของกล้ายจะลดลงอย่างรวดเร็ว เนื่องจากที่บริเวณผิวของกล้ายยังมีความชื้นอยู่ค่อนข้างมาก เมื่อระยะเวลาผ่านไปจะพบว่าอัตราการอบแห้งลดลง ทั้งนี้เนื่องจากความชื้นและความอันไออกะห่วงวัสดุกับอากาศร้อนมีความแตกต่างกัน และในช่วงสุดท้ายของการอบแห้งจะเกิดการถ่ายเทมวลสารน้อยลง ทำให้มีการเปลี่ยนแปลงน้ำหนักของวัสดุน้อยลงจนกระทั่งกระบวนการอบแห้งเข้าสู่ captions เวลาที่อัตราอบแห้งลดลงอย่างสมบูรณ์ (ฤทธิชัย และคณะ, 2555)

ตารางที่ 4.3 อัตราส่วนความชื้นที่อบแห้ง ณ เวลาใดๆ ด้วยเครื่องอบแห้งพลังงานแสงอาทิตย์ร่วมกับรังสีอินฟราเรดร่วมกับรังสีอินฟราเรด โดยอบแห้งที่ที่ 55 °C

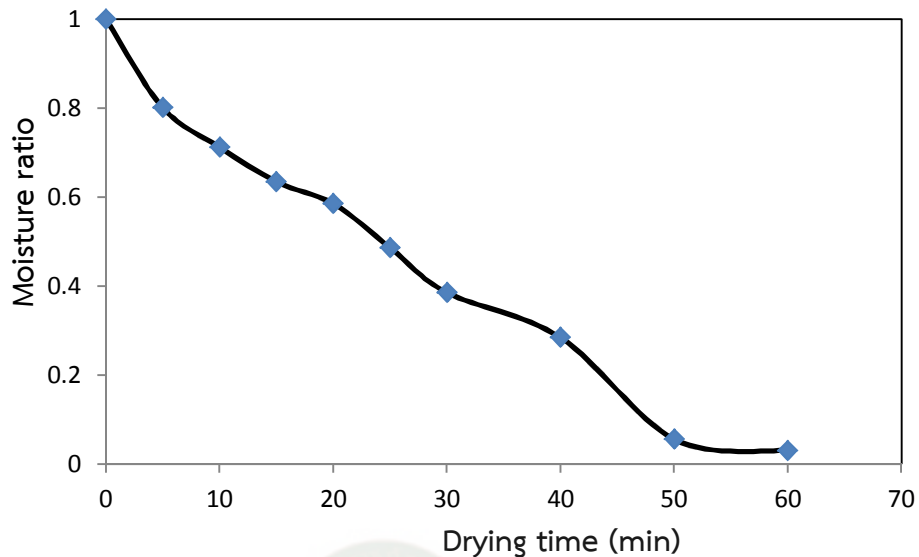
เวลา (นาที)	มวล (กรัม)	ความชื้น (%w.b.)	อัตราส่วนความชื้น (MR)
0	400	155.17	1.00
5	384.11	145.03	0.93
10	377.89	141.06	0.91
15	344.21	119.58	0.77
20	334.11	113.13	0.73
25	316.28	101.76	0.66
30	281.85	79.80	0.51
40	275.23	75.57	0.49
50	231.87	47.91	0.31
60	229.23	46.23	0.30
70	220.87	40.90	0.26
80	163.34	4.20	0.03



ภาพที่ 4.8 การเปลี่ยนแปลงความชื้นของกลั่วยระหว่างการอบแห้งด้วยเครื่องอบแห้งพลังงานแสงอาทิตย์ร่วมกับรังสีอินฟราเรดร่วมกับ โดยอบแห้งที่อุณหภูมิ 55°C

ตารางที่ 4.4 อัตราส่วนความชื้นที่อบแห้ง ณ เวลาใดๆ ด้วยเครื่องอบแห้งพลังงานแสงอาทิตย์ร่วมกับรังสีอินฟราเรด โดยอบแห้งที่อุณหภูมิ 65°C

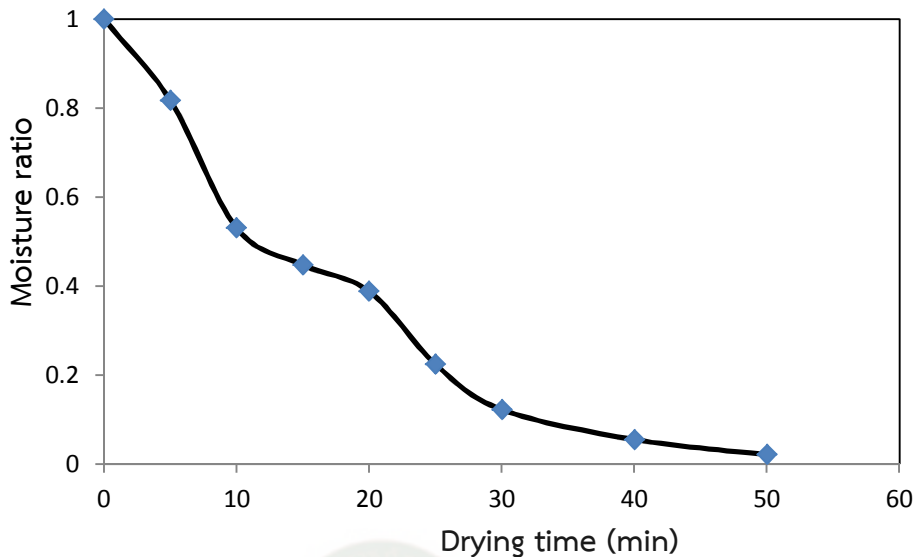
เวลา (นาที)	มวล (กรัม)	ความชื้น (%w.b.)	อัตราส่วนความชื้น (MR)
0	400	155.17	1.00
5	351.56	124.27	0.80
10	330.01	110.52	0.71
15	311.06	98.43	0.63
20	299.13	90.82	0.59
25	275.06	75.47	0.49
30	250.57	59.84	0.39
40	225.98	44.16	0.28
50	170.4	8.70	0.06
60	164.08	4.67	0.03



ภาพที่ 4.9 การเปลี่ยนแปลงความชื้นของกลั่วยระหว่างการอบแห้งด้วยเครื่องอบแห้งพลังงานแสงอาทิตย์ร่วมกับรังสีอินฟราเรด โดยอบแห้งที่อุณหภูมิ 65°C

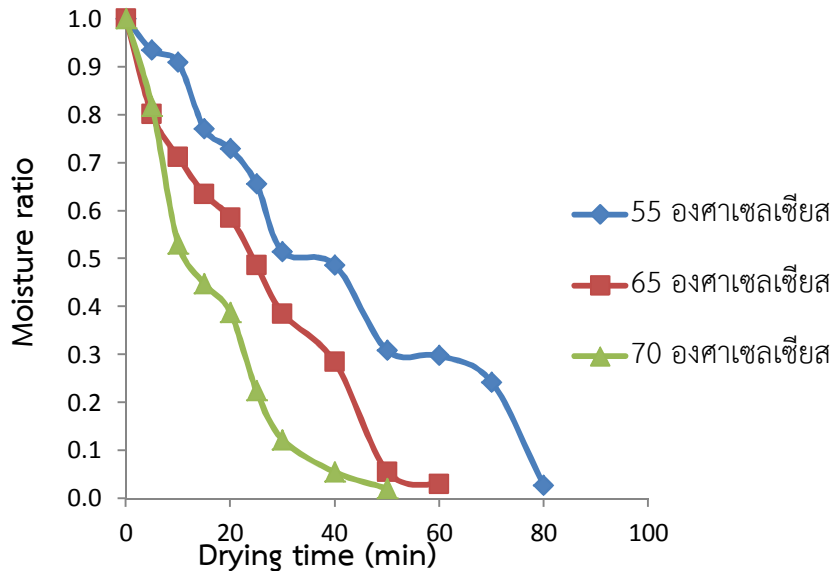
ตารางที่ 4.5 อัตราส่วนความชื้นที่อบแห้ง ณ เวลาใดๆ ด้วยเครื่องอบแห้งพลังงานแสงอาทิตย์ร่วมกับรังสีอินฟาร์เดต โดยอบแห้งที่อุณหภูมิ 70°C

เวลา (นาที)	มวล (กรัม)	ความชื้น (%w.b.)	อัตราส่วนความชื้น (MR)
0	400	155.17	1.00
5	355.67	126.89	0.82
10	285.83	82.34	0.53
15	265.66	69.47	0.45
20	251.23	60.26	0.39
25	211.45	34.89	0.22
30	186.65	19.07	0.12
40	170.26	8.61	0.06
50	161.99	3.34	0.02



ภาพที่ 4.10 การเปลี่ยนแปลงความชื้นของกลั่ยระหว่างการอบแห้งด้วยเครื่องอบแห้งพลังงานแสงอาทิตย์ร่วมกับรังสีอินฟราเรด โดยอบแห้งที่อุณหภูมิ 70°C

จากภาพ 4.11 เมื่อเปรียบเทียบอัตราความชื้นเมื่ออบแห้งที่อุณหภูมิเพิ่มขึ้น พบว่าอุณหภูมิในการอบแห้งมีผลต่อความชื้น โดยในช่วงแรกๆ ความชื้นของกลั่ยจะลดลงอย่างรวดเร็ว เนื่องจากที่บริเวณผิวของกลั่ยยังมีความชื้นอยู่ค่อนข้างมาก เมื่อระยะเวลาผ่านไปจะพบว่าอัตราการอบแห้งลดลง นอกจากนี้ที่อุณหภูมิอบแห้งที่สูงขึ้นจะใช้ระยะเวลาในการอบแห้งต่ำ เนื่องจากผลต่างระหว่างอุณหภูมิของตัวกล่องในการอบแห้งกับผลิตภัณฑ์ที่สัมผัสอุณหภูมิ โดยจากผลการอบแห้งที่อุณหภูมิ 55 , 65 และ 70°C ใช้ระยะเวลาในการอบแห้งเท่ากับ 80 , 60 และ 50 นาที ตามลำดับ



ภาพที่ 4.11 การเปลี่ยนแปลงความชื้นของกลั่วยระหว่างการอบแห้งด้วยเครื่องอบแห้งพลังงานแสงอาทิตย์ร่วมกับรังสีอินฟราเรดร่วมกับ โดยโดยอบแห้งที่อุณหภูมิ 55 65 และ 70 °C

4.3 การอบแห้งกลั่ยดิบเพื่อนำไปผลิตเป็นผงกลั่ย

1) ในขั้นตอนการทดลองอบแห้งกลั่ยน้ำว้าที่ระยะความสูง PCI 3 มาล้างทำความสะอาดสิ่งสกปรกออก แล้วหันเป็นแวนเว่นโดยใช้เครื่องหัน แล้วนำแวนกลั่ยน้ำว้าที่หันเป็นแวนจัดเรียงใส่ถาดเพื่อรอเข้าเครื่องอบแห้งพลังงานแสงอาทิตย์ร่วมกับรังสีอินฟราเรด ทำการอบแห้ง โดยใช้เครื่องควบคุมอุณหภูมิภายในเตาอบให้ได้ 55 65 และ 70 องศาเซลเซียส

2) ในการทดลอง มีการบันทึกข้อมูลของมวลเริ่มต้น และมีการวัดมวลที่เปลี่ยนไปทุก 10 20 และ 30 นาที ขึ้นอยู่กับปริมาณของความชื้นที่ลดลง



ภาพที่ 4.12 การอบแห้งกล้วยในขณะภายในเตาอบแห้งพลังงานแสงอาทิตย์ร่วมกับรังสีอินฟราเรด

3) เมื่อนำกล้วยที่ผ่านการอบแห้งในแต่ละเงื่อนไขมาบดด้วยเครื่อง และนำผงกล้วยที่ได้มาร่อนผ่านตะแกรงขนาด 100 เมช เพื่อแยกขนาดผงกล้วยน้ำว้าและนำไปบรรจุลงในถุงโพลีเอทธิลีนชนิดหนา เก็บในที่แห้งเพื่อรักษาคุณภาพระหว่างรอกระบวนการทดสอบ



ภาพที่ 4.13 กล้วยหลังการอบแห้งที่อุณหภูมิ 60 °C



ภาพที่ 4.14 การบดละเอียดกล้วยหลังการอบแห้ง



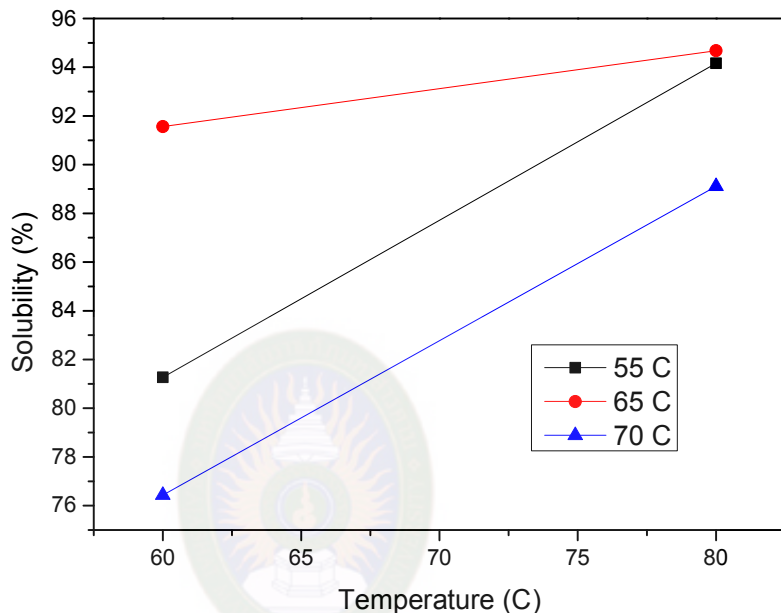
ภาพที่ 4.15 การจัดเก็บกล้วยหลังจากบดละเอียดเมื่ออบแห้งที่อุณหภูมิ 55 65 และ 70 องศาเซลเซียส



ภาพที่ 4.16 ตัวอย่างผลิตภัณฑ์จากการอบแห้งกล้วยเพื่อนำไปเติมในการแฟเพื่อทดแทนครีมเทียม

4.4 ทดสอบคุณสมบัติทางกายภาพของผลิตภัณฑ์

4.4.1 ทดสอบการละลายน้ำโดยใช้ผงกลั่วym เมื่อทดสอบการละลายที่อุณหภูมิ 60 และ 80 องศาเซลเซียส เมื่ออบแห้งที่อุณหภูมิ 55 65 และ 70 องศาเซลเซียส ได้ผลดังภาพที่ 4.17



ภาพที่ 4.17 ค่าการละลายของผงกลั่วym เมื่ออบแห้งที่อุณหภูมิ 55 65 และ 70 องศาเซลเซียส

จากการที่ 4.17 แสดงค่าการละลาย (solubility) ของผงกลั่วym ที่ผลิตได้ด้วยการอบแห้งที่อุณหภูมิต่างๆ พบร่วมกันว่า เมื่อเพิ่มอุณหภูมิกับผงกลั่วym ส่งผลให้ค่าการละลายเพิ่มขึ้น เนื่องจากความร้อนส่งผลให้พันธะของผงกลั่วym ถูกทำลายและสันลงทำให้ผงแบ่งละลายได้ดีขึ้น โดยเมื่อเปรียบเทียบการละลายของผงกลั่วym เมื่ออบแห้งที่อุณหภูมิต่างกัน ความสามารถในการละลายมีแนวโน้มไปในทิศทางเดียวกันซึ่งพบว่า เมื่ออบแห้งที่อุณหภูมิ 65°C ให้ค่าการละลายมากที่สุดประมาณ 94 เปอร์เซ็นต์ที่อุณหภูมิในการละลายที่ 80°C และเมื่ออบแห้งที่อุณหภูมิ 70°C ให้ค่าการละลายน้อยที่สุดประมาณ 76 เปอร์เซ็นต์ที่อุณหภูมิในการละลายที่ 60°C

4.4.2 ทดสอบด้านสีที่เปลี่ยนแปลงของกลั่วอบแห้ง สีของกลั่วอบแห้งที่ผ่านกระบวนการอบแห้งสามารถวัดได้โดยใช้เครื่องวิเคราะห์สีอาหารด้วยเครื่องวัดค่าสีรุ่น Miniscan XE-Plus เป็นการวัดในระบบ CIE แสดงค่า L (100-0 หมายถึง สว่าง- มืด), a (ค่า + หมายถึง สีแดง ค่า - หมายถึง สีเขียว) และ b (ค่า + หมายถึง สีเหลือง ค่า - หมายถึง สีน้ำเงิน) ทำการวัดโดยสุ่ม

ตัวอย่างมาเจื่อนไขละ 3 ตัวอย่าง ผลการทดลองการเปลี่ยนแปลงสีของกล้วยอบแห้งที่สภาวะต่างๆ แสดงในตารางที่ 4.6 และภาพที่ 4.15

ตารางที่ 4.6 ความเปลี่ยนแปลงของผงกล้วยเมื่ออบแห้งด้วยเครื่องอบแห้งพัลส์งานแสงอาทิตย์ร่วมกับรังสีอินฟารेड ที่อุณหภูมิ 55 65 และ 70 °C

ตัวอย่าง	L*	a*	b*	ΔE
กล้วยดิบก่อนอบแห้ง	83.53±0.04	1.98±0.07	15.13±0.01	-
กล้วยอบแห้งที่อุณหภูมิ 55 °C	82.61±0.07	1.68±0.02	16.97±0.04	84.35
กล้วยอบแห้งที่อุณหภูมิ 65 °C	82.29±0.09	1.47±0.03	14.63±0.08	84.04
กล้วยอบแห้งที่อุณหภูมิ 70 °C	79.17±0.05	1.44±0.02	14.39±0.09	83.18

จากตารางที่ 4.6 เมื่อพิจารณาการเปลี่ยนแปลงสีของผงกล้วยน้ำว้าเมื่อผ่านการอบแห้งที่อุณหภูมิที่แตกต่างกันพบว่า เมื่ออุณหภูมิเพิ่มขึ้นค่าความสว่างของผงกล้วยมีค่าลดลง โดยความสว่างต่ำสุดเมื่ออบแห้งที่อุณหภูมิ 70 °C โดยมีค่าความสว่างเท่ากับ 79.17 ± 0.05 ค่าความเป็นสีแดงมีค่าลดลงเช่นเดียวกันโดยในการทดลองนี้มีค่าเฉลี่ยต่ำที่สุดเท่ากับ 1.44 ± 0.02 ส่วนค่าความเป็นสีเหลืองมีค่าเพิ่มขึ้นเมื่ออบแห้งที่อุณหภูมิ 55 °C และมีค่าเพิ่มมากขึ้นเมื่ออบแห้งที่อุณหภูมิ 65 และ 70 °C ซึ่งอาจจะเป็นผลเนื่องจากระยะเวลาการอบแห้ง หรือตำแหน่งการวางวัสดุในถาดอบแห้ง ส่วนค่าการเปลี่ยนแปลงสีโดยรวมแล้วเมื่ออุณหภูมิเพิ่มขึ้นมีค่าเปลี่ยนแปลง เท่ากับ 84.35 84.04 และ 83.18 เมื่ออบแห้งที่อุณหภูมิ 55 65 และ 70 °C ตามลำดับ

4.5 ทดสอบด้านประสิทธิภาพ

การประเมินทางประสิทธิภาพ (sensory evaluation) มีบทบาทสำคัญมากในด้านอาหารผู้ทดสอบชิมจำนวนหนึ่งจะถูกใช้เพื่อทดสอบความพอใจหรือความชอบต่อรสชาติของผลิตภัณฑ์ซึ่งอาจจะใช้เพื่อการทดสอบการยอมรับผลิตภัณฑ์จะเห็นได้ว่าการประเมินทางประสิทธิภาพ มีประโยชน์อย่างมาก ในการศึกษานี้ใช้ผู้ทดสอบจำนวน 30 คน โดยผู้ทดสอบผ่านการอบรมด้านการประเมินทางประสิทธิภาพจากผู้เชี่ยวชาญ และทำการทดสอบตามงานวิจัยของ Lim (2011)

ใช้แบบประเมินความชอบ (9-point hedonic scale) ดังแสดงในภาคผนวก คะแนนผลการประเมิน เมื่อนำผงกล้วยไปชงเพื่อทดสอบครีมเทียมแสดงในตารางที่ 4.7

ตารางที่ 4.7 คุณภาพของผงกล้วยเมื่อนำไปผสมในกาแฟเพื่อทดสอบครีมเทียมที่ผ่านการทดสอบ ทางประสาทรูปสัมผัสโดยการทดสอบแบบให้คะแนนความชอบ (9-point hedonic scale)

เงื่อนไขการทดลอง	สี	กลิ่น	รสชาติ	เนื้อสัมผัส	การยอมรับโดยรวม
กล้วยอบแห้งที่ 55 °C	7.18 ^{ab}	7.10 ^{ab}	6.81 ^{bc}	6.77 ^{bc}	6.97 ^{bc}
กล้วยอบแห้งที่ 65 °C	7.92 ^{ab}	8.90 ^a	8.18 ^a	7.20 ^b	8.05 ^a
กล้วยอบแห้งที่ 70 °C	7.10 ^{ab}	6.75 ^{bc}	6.50 ^{ab}	6.23 ^c	6.65 ^{bc}

จากข้อมูลในตารางที่ 4.7 ผู้ทดสอบให้คะแนนคุณภาพของผงกล้วยเมื่อนำไปผสมในกาแฟ ในด้านการยอมรับโดยรวมสูงสุดสำหรับผงกล้วยที่อบแห้งที่อุณหภูมิ 65 °C ในเกณฑ์การยอมรับที่ดีมาก (คะแนน 8.05) ผงกล้วยที่ผ่านการอบแห้งที่อุณหภูมิ 70 °C ได้รับการยอมรับเพียงเล็กน้อย (คะแนน 6.65) ในขณะที่ผงกล้วยที่อบแห้งที่อุณหภูมิ 55 °C ได้รับการยอมรับปานกลาง (คะแนน 6.97) นอกจากนี้ยังมีจุดต้องคือ ต้านเนื้อสัมผัส มีคะแนนการยอมรับยังน้อย เนื่องจากผงกล้วยยังไม่สามารถละลายในน้ำได้ทั้งหมด 100 เปอร์เซ็นต์ และในการผสมกับกาแฟต้องใช้ระยะเวลาค่อนข้างนานเพื่อให้ผงกล้วยละลายไปกับกาแฟ ส่วนจุดเด่นจะเป็นเรื่องของรสชาติเนื่องจากมีลักษณะคล้ายยังมัน

บทที่ 5

สรุปผลการวิจัย อภิปรายผล และข้อเสนอแนะ

5.1 สรุปผลการวิจัย

จากการออกแบบและสร้างเครื่องอบแห้งพลังงานแสงอาทิตย์ร่วมกับรังสีอินฟราเรด สำหรับอบแห้งกล้วยน้ำว้าเพื่อนำไปผลิตเป็นผงกล้วยน้ำว้าให้ได้ผลิตภัณฑ์ใหม่ที่คงอยู่ของสี กลิ่น รส ของกล้วยที่ดีในการนำไปปรุงแต่งทดแทนครีมเทียมสำหรับผู้บริโภคเครื่องดื่ม ประเภท ชา กาแฟ ที่รักสุขภาพ สามารถสรุปผลการทดลองได้ดังนี้

1. เครื่องอบแห้งพลังงานแสงอาทิตย์ร่วมกับรังสีอินฟราเรด มีขนาดความกว้าง 0.65 เมตร ยาว 0.75 เมตร สูง 2 เมตร ตัวเก็บรังสีดูดอาทิตย์ มีรูปทรงสี่เหลี่ยมผืนผ้า มีพื้นที่เท่ากับ 1.1 ตาราง เมตร โดยวางทำมุม 16 องศากับแนวระดับ เพื่อให้รับรังสีอาทิตย์ได้ตลอดทั้งวัน ด้านบนตัวเก็บรังสี อาทิตย์ปิดด้วยแผ่นโพลีคาร์บอเนตหนา 0.005 เมตร โดยด้านบนของห้องอบแห้งมีหลอดรังสี อินฟราเรดจำนวน 1000 วัตต์ โดยด้านหลังติดตั้งพัดลมคอมพิวเตอร์ขนาด โดยอาศัยแหล่งจ่ายจาก เซลล์แสงอาทิตย์ ผนังห้องอบแห้งบุด้วยฉนวนยางดำหนา 0.01 เมตร เพื่อป้องกันการสูญเสียความ ร้อน ด้านในตัวเก็บรังสีอาทิตย์และแผ่นรับรังสีดูดอาทิตย์ทำด้วยสีดำด้าน เพื่อเพิ่มความสามารถในการดูดกลืนรังสีอาทิตย์ให้ได้มากขึ้น การพากามาร้อนจากตัวเก็บรังสีอาทิตย์ไปยังห้องอบแห้งจะเป็น การพากามาร้อนแบบธรรมชาติ

2. การหาประสิทธิภาพเครื่องอบแห้งพลังงานแสงอาทิตย์ร่วมกับรังสีอินฟราเรดซึ่งพิจารณา จาก 1) ประสิทธิภาพเชิงความร้อนของตัวเก็บรังสีอาทิตย์ (η_c) เฉลี่ยเท่ากับ 31.47 % โดยมีค่าความ แตกต่างของอุณหภูมิทางเข้าและทางออกของตัวเก็บรังสีอาทิตย์เฉลี่ยเท่ากับ 11.19°C 2) ความ สิ้นเปลืองพลังงานจำเพาะในระหว่างการอบแห้งกล้วยเพื่อนำไปผลิตเป็นผงกล้วยน้ำว้า พบว่าเมื่อ อบแห้งที่อุณหภูมิ 55-65 และ 70°C ให้ค่าความสิ้นเปลืองพลังงานจำเพาะเท่ากับ 12.42-10.76 และ 9.16 MJ/kg ตามลำดับ โดยกล้วยที่อุณหภูมิที่ 70°C ให้ค่าความสิ้นเปลืองพลังงานจำเพาะมาก ที่สุดแต่ใช้เวลาในการอบแห้งน้อยที่สุด 50 นาที และ 3) การหาอัตราการอบแห้ง ในกระบวนการอบแห้ง กล้วยน้ำว้าด้วยเครื่องอบแห้งพลังงานแสงอาทิตย์ร่วมกับรังสีอินฟราเรด โดยอบแห้งที่อุณหภูมิ 55-65 และ 70°C และให้ความชื้นสุดท้ายประมาณ 4 % w.b. พบว่าอุณหภูมิในการอบแห้งมีผลต่อ ความชื้น โดยในช่วงแรกๆ ความชื้นของกล้วยจะลดลงอย่างรวดเร็ว เนื่องจากที่ปริมาณผิวของกล้วยยัง มีความชื้นอยู่ค่อนข้างมาก เมื่อระยะเวลาผ่านไปจะพบว่าอัตราการอบแห้งลดลง นอกจากนี้ที่อุณหภูมิ อบแห้งที่สูงขึ้นจะใช้ระยะเวลาในการอบแห้งต่ำ เนื่องจากผลต่างระหว่างอุณหภูมิของตัวกลางในการ

อบแห้งกับผลิตภัณฑ์ที่สัมผัสอุณหภูมิ โดยจากการอบแห้งที่อุณหภูมิ 55 °C และ 70 °C ใช้ระยะเวลาในการอบแห้งเท่ากับ 80 60 และ 50 นาที ตามลำดับ

3. หาค่าการละลายขององกลวัยที่ผ่านการอบแห้งที่อุณหภูมิ ต่างๆ พบร่วมกัน เมื่อเพิ่มขึ้น ส่งผลให้ค่าการละลายเพิ่มขึ้น เนื่องจากความร้อนส่งผลให้พันธะขององกลวัยถูกทำลายและสันลงทำให้ผงเปลี่ยนรูปแบบได้ดีขึ้น โดยเมื่อเปรียบเทียบการละลายขององกลวัยเมื่ออบแห้งที่อุณหภูมิต่างกัน ความสามารถในการละลายมีแนวโน้มไปในทิศทางเดียวกันซึ่งพบว่าเมื่ออบแห้งที่อุณหภูมิ 65 °C ที่ อุณหภูมิในการละลายที่ 80 °C ให้ค่าการละลายมากที่สุดประมาณ 94.68% และเมื่ออบแห้งที่ อุณหภูมิ 70 °C ให้ค่าการละลายน้อยที่สุดประมาณ 76 เปอร์เซ็นต์ที่อุณหภูมิในการละลายที่ 60 °C

4. จากการศึกษาอิทธิพลของอุณหภูมิพบว่าค่าการเปลี่ยนแปลงสีโดยรวมมีค่าน้อยมากเมื่อเปรียบเทียบกับกลวัยดิบที่ยังไม่อบแห้ง เมื่ออุณหภูมิเพิ่มขึ้นมีค่าเปลี่ยนแปลงสีโดยรวมเท่ากับ 84.91 84.35 84.04 และ 83.18 เมื่ออบแห้งที่อุณหภูมิ 55 °C และ 70 °C ตามลำดับ

5. การทดสอบทางประสานสัมผัสจากแบบประเมิน ให้ผลคะแนนสำหรับกลวัยผงเมื่ออบแห้งที่อุณหภูมิ 65 °C เมื่อนำไปเติมในกาแฟเพื่อทดสอบครีมเทียมได้รับการยอมรับที่ดี (คะแนน 7.93) ในขณะที่กลวัยผงเมื่ออบแห้งที่อุณหภูมิ 70 °C รับเพียงเล็กน้อย (คะแนน 5.35) และในขณะที่กลวัยผงเมื่ออบแห้งที่อุณหภูมิ 55 °C ได้รับการยอมรับปานกลาง (คะแนน 6.77)

5.2 อกิจกรรมผล

1. เนื่องจากเครื่องอบแห้งที่สร้างขึ้นในแต่ละชั้นของถาดอบแห้งได้รับความร้อนที่ไม่เท่ากัน เนื่องจากหลอดรังสีอินฟราเรดติดตั้ง ณ ตำแหน่งด้านบน ทำให้การระเหยออกของน้ำในรัศดิไม่เท่ากัน ส่งผลให้ผลผลิตที่ได้มีความซึ้นและสีไม่สม่ำเสมอ ดังนั้นหากมีการติดตั้งเครื่องเป่าลมภายในอาจจะทำให้ประสิทธิภาพของเครื่องอบแห้งพลังงานแสงอาทิตย์ร่วมกับรังสีอินฟราเรด และคุณภาพด้านอื่นๆ ของผลิตภัณฑ์ดีขึ้นด้วย

2. จากการศึกษาประสิทธิภาพเครื่องอบแห้งพลังงานแสงอาทิตย์ร่วมกับรังสีอินฟราเรด พบร่วมกับประสิทธิภาพตัวเก็บรังสีอาทิตย์มีค่าค่อนข้างต่ำ อาจมีผลมาจากการตัวเก็บรังสีอาทิตย์มีการดูดกลืนรังสีอาทิตย์น้อย ส่งผลให้มีค่าการสิ้นเปลืองพลังงานจำเพาะที่สูงเนื่องจากใช้พลังงานไฟฟ้าเป็นส่วนใหญ่ของพลังงานทั้งหมดในการอบแห้ง

3. จากการศึกษาคุณภาพทางกายภาพขององกลวัยที่ได้จากการอบแห้งที่อุณหภูมิต่างๆ พบร่วมกับการละลายค่อนข้างสูง แต่เมื่อนำไปทดสอบโดยใช้ชงกับกาแฟพบว่า ยังสามารถเป็นเนื้อเดียวกันกับกาแฟได้น้อยเมื่อเปรียบเทียบกับครีมเทียมตามท้องตลาด

5.3 ข้อเสนอแนะในการนำผลการวิจัยไปใช้

เนื่องด้วยคุณค่าทางโภชนาการของผงกล้วยที่สูง ไม่ว่าจะเป็นอินนูลินและโอลิโกฟรอกโตส ซึ่งมีผลทำให้ดัชนีน้ำตาลต่ำ รวมทั้งคุณสมบัติเป็นแป้งที่ทนการย่อย ซึ่งมีคุณสมบัติเป็นพรีไบโอติก เสริมการเจริญเติบโตของจุลินทรีย์ในไบโอติกช่วยให้ระบบย่อยอาหาร ผลิตเอนไซม์ย่อยสารอาหารและสารอาหารที่มีประโยชน์ต่อสุขภาพ ดังนั้นการนำผลการวิจัยไปใช้เพื่อพัฒนาผลิตภัณฑ์ครีมเทียมจากผงกล้วยถือว่าเป็นอีกแนวทางหนึ่งสำหรับคนรักสุขภาพ แต่ยังต้องศึกษาเพิ่มเติมถึงวิธีการที่ทำให้ผงกล้วยละลายเป็นเนื้อเดียวกันกับกาแฟ

5.4 ข้อเสนอแนะในการทำวิจัยครั้งต่อไป

1. ควรมีการพัฒนาเครื่องอบแห้งพลั่งงานแสงอาทิตย์ร่วมกับรังสีอินฟราเรด โดยการติดตั้งเครื่องเป่าลมร้อนหรือติดตั้งมอเตอร์เพื่อให้สามารถอบแห้งหมุนได้ทำให้ได้ผลิตภัณฑ์ที่มีความสม่ำเสมอ
2. ในเรื่องของการพัฒนาผลิตภัณฑ์เกี่ยวกับผงกล้วยเพื่อพัฒนาเป็นครีมเทียมจากกล้วย ควร มีการทดสอบการละลายเพิ่มเติมที่อุณหภูมิต่างๆ รวมทั้งทดสอบหาความหนืดและหาแนวทางในการทำให้ผงกล้วยมีความเข้ากันเมื่อเติมลงไปในกาแฟ

มหาวิทยาลัยราชภัฏมหาสารคาม
RAJABHAT MAHASARAKHAM UNIVERSITY

บรรณานุกรม

กิตติศักดิ์ วิธินันทกิตติ. (2545). เครื่องออบแห้ง แบบปั๊มความร้อนร่วมกับอินฟารेड.

วิทยานิพนธ์ปริญญาโท, มหาวิทยาลัยเทคโนโลยีพระจอมเกล้าธนบุรี.

กิตติศักดิ์ วิธินันทกิตติ และคณะ. (2553). เครื่องออบแห้งแบบปั๊มความร้อนร่วมกับอินฟารेड.

วารสารวิทยาศาสตร์เกษตร 41 : 528-531.

จารวุฒน์ เจริญจิต. (2555). เทคโนโลยีการออบแห้งด้วยรังสีอาทิตย์และแนวทางการพัฒนา. KKU Res. J., 2012, 17(1), 110-124.

ชลดา ยอดกันสี เพ็ญขวัญ ชมปรีดา และ วิชัย ฤทธิ์ธนาสันต์. (2546). ศึกษาการพัฒนาชิปอนเค็ก จากแป้งข้าวหมูมะลิ. สาขาวุฒิสาหกรรมเกษตร คณะเกษตรศาสตร์ มหาวิทยาลัยเกษตรศาสตร์, กรุงเทพฯ.

ณนท์ แดงสังวาลย์. (2552). การใช้แป้งกลัวน้ำร้าบทดแทนแป้งสาลีในบรรจุภัณฑ์. การศึกษาค้นคว้า อิสระ. ปริญญาวิทยาศาสตร์มหาบัณฑิต (คหกรรมศาสตร์), มหาวิทยาลัยเกษตรศาสตร์.

ธีระศักดิ์ ทุดากร. (2552). การศึกษาสมรรถนะของตัวเก็บรังสีอาทิตย์แผ่นรามแบบร่องรูปตัววี สำหรับเครื่องออบแห้งพลังงานแสงอาทิตย์. การประชุมวิชาการเครือข่ายวิศวกรรมเครื่องกล. นราธิป เตียนนิช. (2539). การพัฒนาผลิตภัณฑ์ครีมเทียมจากโปรตีนถั่วเหลือง. วิทยานิพนธ์ มหาบัณฑิต, มหาวิทยาลัยเกษตรศาสตร์.

นฤดิ พงศ์กิจวิฐุล และคณะ. (2544). ปัจจัยการผลิตกลัวยหอมผงโดยใช้เครื่องออบแห้งแบบลูกกลิ้งหมุน. สาขาวิชาวิศวกรรมอาหาร มหาวิทยาลัยเทคโนโลยีพระจอมเกล้าธนบุรี.

เบญจมาศ ศิล้าย้อย.(2545). กลัวย. พิมพ์ครั้งที่ 3. สำนักพิมพ์มหาวิทยาลัยเกษตรศาสตร์.

พัชราภรณ์ วชิรศิริ. (2550). การสกัดไขอาหารจากเปลือกกลัวยน้ำว้า. วิทยานิพนธ์วิทยาศาสตร์ มหาบัณฑิต, ภาควิชาคหกรรมศาสตร์ มหาวิทยาลัยเกษตรศาสตร์.

พัชรีวัลย์ ปั้นเน่งเพชร. (2543). การศึกษาฤทธิ์ของกลัวยในการป้องกันและรักษาแผลในกระเพาะอาหารของหมูขาว. รวมบทคัดย่องานวิจัยการแพทย์แผนไทยและทิศทางการวิจัยในอนาคต สถาบันการแพทย์แผนไทย.

ไฟลำภา นิมสังข์. (2550). คุณสมบัติของแป้งและสารชีจากกลัวยติด เพื่อใช้ใน อุตสาหกรรมอาหาร. วิทยานิพนธ์ปริญญาโท, มหาวิทยาลัยเกษตรศาสตร์.

สมชาติ โสภณรณฤทธิ์. (2540). การออบแห้งเมล็ดพืชและอาหารบางประเภท. พิมพ์ครั้งที่ 7.

กรุงเทพฯ : สถาบันเทคโนโลยีพระจอมเกล้าธนบุรี.

- วี.ล รังสรรค์ทอง. (2547). เทคโนโลยีการแปรรูปอาหาร. พิมพ์ครั้งที่ 4. กรุงเทพฯ : สถาบันเทคโนโลยีพระจอมเกล้าพระนครเหนือ.
- สุดาทิพย์ อินทร์ชื่น. (2545). การศึกษาคุณสมบัติทางเคมีภysisของแป้งกล้วย.
- วิทยานิพนธ์ปริญญาโท, สถาบันเทคโนโลยีพระจอมเกล้าเจ้าคุณทหารลาดกระบัง.
- สุคนธ์ชื่น ศรีงาม. (2546). วิทยาศาสตร์และเทคโนโลยีการอาหาร. พิมพ์ครั้งที่ 4. กรุงเทพฯ: สำนักพิมพ์มหาวิทยาลัยเกษตร.
- มาลี ชัยศรีสกุล และ กมลพิพย์ สจាជอนันต์กุล. (2546). ศึกษาการใช้แป้งมันสาปะหลัง ทดแทนบางส่วนของแป้งสาลีในชิฟฟ่อนเค้ก. สาขาวุฒิสาหกรรมเกษตร คณะเกษตรศาสตร์ มหาวิทยาลัยเกษตรศาสตร์, กรุงเทพฯ.
- A.O.A.C.. 2000. Official Methods of Analysis. 20th ed. The Association of Official Analytical Chemists, Arlington, Virginia.
- Baker, D.B. and V. Hulett. (1988). **Low fat coffee whitener**. United States patent. 4784865, 25.
- Gardiner, D.S. (1977). **Improvements in relating to nondairy creamer composition**. United States patent. 10.
- Gilmore, C. and D.E. Miller. (1976). **Freeze thaw stable liquid coffee whitener**. United States patent. 3935325. 28.
- Go'mez, M., Moraleja, A., Oliete, B., Ruiz, & Caballero, P. (2010). **Effect of fiber size on the quality of fiber-enriched layer cakes**. LWT- Food Science and Technology, 43, 33–38.
- Go'mez, M., Ronda, F., Caballero, P., Blanco, C., & Rosell, C. M. (2007). **Functionality Of different hydrocolloids on the quality and shelf-life of yellow layer cakes**. Food Hydrocolloids, 21, 167–173.
- Malundo, T.M.M., A.V.A. Resurrecion and P.E. Kochler. (1994). **Peanut extract and emulsifier concentrations affect sensory of liquid whitener**. Food Science. 59(2): 399-349.
- Sandu, C., (1986). **Infrared radiative drying in food engineering: a process analysis**. Biotechnology Progress, 2: 109-119.
- Tonner, G.F. (1978). **Nondairy whitener containing acetate salt**. United States patent. 3935325, 26.

ภาคผนวก



มหาวิทยาลัยราชภัฏมหาสารคาม
RAJABHAT MAHASARAKHAM UNIVERSITY

ภาคผนวก ก

การหาความชี้นเริ่มต้นของกล่าวสุกระยะที่ 3



มหาวิทยาลัยราชภัฏมหาสารคาม
RAJABHAT MAHASARAKHAM UNIVERSITY

วัสดุและอุปกรณ์

1. กระป๋องอะลูมิเนียม
2. ตู้อบไฟฟ้า
3. เครื่องซั่งน้ำหนักความละเอียด 0.01 กรัม
4. กลวยสำหรับหาค่าความชื้น

วิธีการทดลอง

1. ซั่งน้ำหนักกระป๋องอะลูมิเนียม บันทึก
2. เตรียมกลวยใส่ในกระป๋องอะลูมิเนียม
3. ซั่งน้ำหนักของกระป๋อง+กลวย บันทึกเป็นน้ำหนักก่อนอบ
4. นำกระป๋องอะลูมิเนียมที่มีพริกแดงใส่ในตู้อบไฟฟ้าที่อุณหภูมิ 103°C เป็นเวลา

72 ชั่วโมง

5. หลังจากนั้นนำกระป๋องอะลูมิเนียมออกจากตู้อบไฟฟ้า และนำไปเก็บไว้ในโคลดูดความชื้น
6. พอกกระป๋องอะลูมิเนียมเย็นลง นำไปซั่งน้ำหนัก บันทึกเป็นน้ำหนักหลังอบ
7. คำนวณหามวลจริงของกลวยทั้งก่อนอบและหลังอบ
8. คำนวณหาความชื้น (w.b)

1) การหาความชื้นเริ่มต้นของวัสดุ

อบประมาณ 72 ชั่วโมง อบที่ $t = 103^\circ C$

มวลเริ่มต้น (g) มวลสุ่ดท้าย (g)

1	13.46	4.78
2	16.58	6.17
3	15.07	6.02
เฉลี่ย	15.04	5.66
$W = 15.04$		$d = 5.66$

ความชื้นเริ่มต้น

จาก $M_d = (w-d)/d = 1.66$
 คิดเป็น % 166.00%

2) สมมุติเริ่มต้นอบแห้งกลัวย ที่ 400 g (W)

3) หา d จาก $M_d = (w-d)/d$

Wd	W	d
1.66	400	150.48

4) หาว่าจะต้องให้มวลของกลัวยเหลือเท่าไหร่ เมื่อต้องการความชื้นสุดท้าย เท่ากับ 4%
 ถ้าต้องการตากกลัวยจำนวน 400 g , $d = 150.48$
 ต้องการความชื้นสุดท้าย 4% ซึ่งเท่ากับ 0.04

จาก $M_d = (w-d)/d$

M_d	M_d+1	W (g)
0.04	1.04	156.4956772

ภาคผนวก ข

การหาประสิทธิภาพของตัวรับรังสีอาทิตย์

มหาวิทยาลัยราชภัฏมหาสารคาม
RAJABHAT MAHASARAKHAM UNIVERSITY

ตารางที่ ข-1 ค่าประสิทธิภาพของตัวรับรังสีอาทิตย์เมื่ออบแห้งที่อุณหภูมิ 55°C

เวลา (min)	G_t (W/m ²)	T_{Out} (°C)	T_{In} (°C)	$T_{Out}-T_{in}$ (°C)	T_{en} (°C)	η_c (%)
0	615.67	55.45	45.34	10.11	33.04	28.44
30	625.23	56.12	47.78	8.34	34.87	23.46
60	634.65	57.65	48.23	9.42	33.89	26.50
80	637.87	58.71	46.41	12.3	35.67	34.60
เฉลี่ย	628.36	56.9825	46.94	10.0425	34.3675	28.25

ตารางที่ ข-2 ค่าประสิทธิภาพของตัวรับรังสีอาทิตย์เมื่ออบแห้งที่อุณหภูมิ 65 °C

เวลา (min)	G_t (W/m ²)	T_{Out} (°C)	T_{In} (°C)	$T_{Out}-T_{in}$ (°C)	T_{en} (°C)	η_c (%)
0	565.55	55.9	47.34	8.56	33.04	24.08
30	599.28	56.6	43.22	13.38	34.87	37.64
60	678.73	60.5	48.88	11.62	33.89	32.69
เฉลี่ย	614.52	57.67	46.48	11.19	33.93	31.47

ตารางที่ ข-3 ค่าประสิทธิภาพของตัวรับรังสีอาทิตย์เมื่ออบแห้งที่อุณหภูมิ 70°C

เวลา (min)	G_t (W/m ²)	T_{Out} (°C)	T_{In} (°C)	$T_{\text{Out}} - T_{\text{In}}$ (°C)	T_{en} (°C)	η_c (%)
0	665.34	55.11	47.34	7.77	33.04	21.86
30	679.12	58.54	49.17	9.37	34.87	26.36
50	678.79	53.62	46.18	7.44	33.89	20.93
เฉลี่ย	674.42	55.76	47.56	8.19	33.93	23.05



มหาวิทยาลัยราชภัฏมหาสารคาม
RAJABHAT MAHASARAKHAM UNIVERSITY

ภาคผนวก ค



การวิเคราะห์คุณสมบัติทางภาษาพ

มหาวิทยาลัยราชภัฏมหาสารคาม
RAJABHAT MAHASARAKHAM UNIVERSITY

1) การทดสอบการละลายของผงกล้วย

ตารางที่ ค-1 ค่าการละลายของผงกล้วยที่อบแห้งที่อุณหภูมิต่างๆ

อุณหภูมิละลาย 60 °C

		มวลแห้ง ผง w1	มวลถ้วน มวลรวมถ้วน มวลรวมถ้วน	มวลหลังอบ อบ w2	ส่วนที่ ละลายน้ำ	ค่าการละลาย
55 °C	1	0.0205	5.504	5.5064	0.0024	0.0181
	2	0.021	5.5103	5.5109	0.0006	0.0204
	3	0.0202	5.5171	5.5177	0.0006	0.0196
	เฉลี่ย	0.0206	5.5105	5.5117	0.0012	0.0194
						94.17

65 °C	1	0.02	5.5298	5.5312	0.0014	0.0186	93.00
	2	0.0202	5.5154	5.5177	0.0023	0.0179	88.61
	3	0.0202	5.5933	5.5947	0.0014	0.0188	93.07
	เฉลี่ย	0.02013	5.54617	5.54787	0.00170	0.01843	91.56
70 °C		0.0203	5.5101	5.5123	0.0022	0.0181	89.16
		0.0202	5.5087	5.5108	0.0021	0.0181	89.60
		0.0201	5.544	5.5463	0.0023	0.0178	88.56
	เฉลี่ย	0.0202	5.5209	5.5231	0.0022	0.018	89.11
อุณหภูมิ ละลาย 80 °C	1	0.0203	5.5535	5.5574	0.0039	0.0164	80.79
55 °C	2	0.0206	5.5022	5.5062	0.004	0.0166	80.58
	3	0.0205	5.5852	5.5888	0.0036	0.0169	82.44
	เฉลี่ย	0.0205	5.5470	5.5508	0.0038	0.0166	81.27

65 °C	1	0.2	5.481	5.4854	0.0044	0.1956	97.80
	2	0.0203	5.5195	5.5233	0.0038	0.0165	81.28
	3	0.0203	5.531	5.5356	0.0046	0.0157	77.34
	เฉลี่ย	0.0802	5.5105	5.5148	0.0043	0.0759	94.68

70 °C	1	0.0201	5.5413	5.5463	0.005	0.0151	75.12
	2	0.0206	5.4852	5.4898	0.0046	0.016	77.67
	3	0.0204	5.5417	5.5465	0.0048	0.0156	76.47
	เฉลี่ย	0.0204	5.5227	5.5275	0.0048	0.0156	76.43

2) การทดสอบค่าสีของผงกล้วย

ตารางที่ ค-2 ค่าการเปลี่ยนแปลงสีของผงกล้วยเมื่ออบแห้งที่อุณหภูมิต่างๆ

55 °C	ครั้งที่	L*	a*	b*	ΔE
1	82.69	1.78	16.88		
2	82.71	1.56	17.01		
3	82.47	1.69	17.01		
เฉลี่ย	82.61	1.68	16.97	84.35	

65 °C	ครั้งที่	L*	a*	b*	ΔE
1	82.45	1.51	14.55		
2	82.6	1.44	14.64		
3	82.78	1.46	14.71		
เฉลี่ย	82.29	1.47	14.63	84.04	

70 °C	ครั้งที่	L*	a*	b*	ΔE
1	79.76	1.43	14.22		
2	79.71	1.46	14.32		
3	79.12	1.44	14.64		
เฉลี่ย	79.17	1.44	14.39	83.18	



ภาพที่ ค-1 ขั้นตอนการวัดสีของผงกล้วย

ภาคผนวก ง

แบบประเมินความชอบ (9-point hedonic scale)

มหาวิทยาลัยราชภัฏมหาสารคาม
RAJABHAT MAHASARAKHAM UNIVERSITY

แบบทดสอบทางประสาทสัมผัส (9-point hedonic scale)

ตัวอย่าง Banana creamy ชุดที่
 ชื่อผู้ทดสอบ..... อายุ..... เพศ.....
 วันที่

คำแนะนำ ให้ชิมตัวอย่างที่ท่านได้รับตามลำดับแล้วให้คะแนนการยอมรับแต่ละคุณลักษณะของผลิตภัณฑ์ ผงกล้วยเพื่อทดสอบแทนครีมเทียม ตามคำอธิบายคะแนนข้างล่างนี้ (กรุณารับประวัติว่างตัวอย่าง)

- | | | |
|------------------------|-----------------------|---------------------|
| 1 = ไม่ยอมรับมากที่สุด | 4 = ไม่ยอมรับเล็กน้อย | 7 = ยอมรับปานกลาง |
| 2 = ไม่ยอมรับมาก | 5 = เนยๆ | 8 = ยอมรับมาก |
| 3 = ไม่ยอมรับปานกลาง | 6 = ยอมรับเล็กน้อย | 9 = ยอมรับมากที่สุด |

คุณลักษณะ ของผลิตภัณฑ์	ตัวอย่าง		
	P01	P02	P03
สี			
กลิ่น			
รสชาติ			
เนื้อสัมผัส			
การยอมรับโดยรวม			

ข้อเสนอแนะ

.....

.....

.....

.....

.....

.....



ภาพที่ ๔ - ๑ ผงกล้วยที่อบแห้งที่อุณหภูมิต่างๆ



ภาพที่ ๔ - ๒ การทดสอบทางประสานสัมผัสโดยการเติมในการแพ



ภาพที่ ง - 3 ตัวอย่างบางส่วนจากผู้เข้าทดสอบการทดสอบทางประสาทสัมผัส



ภาพที่ ง - 4 ผู้เข้าทดสอบทางประสาทสัมผัสทดลองชิม



ภาพที่ ง - 5 ผู้เข้าทดสอบทางประสาทสัมผัสประเมินความพึงพอใจ

ประวัติคณะผู้วิจัย

ชื่อ นางสาวสุมินทร์ญา ทีทา
วันเกิด วันที่ 21 สิงหาคม พ.ศ. 2522
สถานที่อยู่ปัจจุบัน 1/60 หมู่บ้านชิดคลองน้อย อำเภอเมือง จังหวัดมหาสารคาม
รหัสไปรษณีย์ 44000
ตำแหน่งหน้าที่การงาน อาจารย์ประจำ
สถานที่ทำงานปัจจุบัน สาขาวิชาพิสิกส์ คณะวิทยาศาสตร์และเทคโนโลยี มหาวิทยาลัยราชภัฏ
มหาสารคาม

ประวัติการศึกษา

พ.ศ. 2545 ปริญญาวิทยาศาสตรบัณฑิต (วท.บ.) สาขาวิชาพิสิกส์
มหาวิทยาลัยขอนแก่น

พ.ศ. 2552 ปริญญาวิทยาศาสตรมหาบัณฑิต (วท.ม.) สาขาวิชาพัฒนาทดแทน
มหาวิทยาลัยนเรศวร

มหาวิทยาลัยราชภัฏมหาสารคาม
RAJABHAT MAHASARAKHAM UNIVERSITY

ชื่อ นางสาวมะลิ นาซัยสินธุ
วันเกิด วันที่ 14 กุมภาพันธ์ พ.ศ. 2526
สถานที่อยู่ปัจจุบัน มหาวิทยาลัยราชภัฏมหาสารคาม อําเภอเมือง จังหวัดมหาสารคาม
รหัสไปรษณีย์ 44000
ตำแหน่งหน้าที่การงาน อาจารย์ประจำ
สถานที่ทำงานปัจจุบัน สาขาวิชาพิสิกส์ คณะวิทยาศาสตร์และเทคโนโลยี มหาวิทยาลัยราชภัฏมหาสารคาม

ประวัติการศึกษา

พ.ศ. 2549 ปริญญาครุศาสตรบัณฑิต (ค.บ.) สาขาวิชาพิสิกส์
 มหาวิทยาลัยราชภัฏมหาสารคาม
 พ.ศ. 2552 ปริญญาวิศวกรรมศาสตรมหาบัณฑิต (วศ.ม.) สาขาวิชาเทคโนโลยีพลังงาน
 มหาวิทยาลัยมหาสารคาม
 พ.ศ. 2558 ปริญญาดุษฎีบัณฑิตบัณฑิต (ปร.ด.) สาขาวิชาวิศวกรรมเครื่องกล
 มหาวิทยาลัยมหาสารคาม

มหาวิทยาลัยราชภัฏมหาสารคาม
RAJABHAT MAHASARAKHAM UNIVERSITY

ชื่อ นายกลยุทธ ดีจริง
วันเกิด วันที่ 16 กุมภาพันธ์ พ.ศ. 2525
สถานที่อยู่ปัจจุบัน 1/7 หมู่บ้านเพิ่มทรัพย์ อำเภอเมือง จังหวัดมหาสารคาม
รหัสไปรษณีย์ 44000
ตำแหน่งหน้าที่การงาน อาจารย์ประจำ
สถานที่ทำงานปัจจุบัน สาขาวิชาฟิสิกส์ คณะวิทยาศาสตร์และเทคโนโลยี มหาวิทยาลัยราชภัฏ
มหาสารคาม

ประวัติการศึกษา

พ.ศ. 2547 ปริญญาวิทยาศาสตรบัณฑิต (วท.บ.) สาขาวิชาฟิสิกส์
 มหาวิทยาลัยราชภัฏอุดรธานี
 พ.ศ. 2553 ปริญญาศึกษาระบบทรัมมหาบัณฑิต (วศ.ม.) สาขatechnology ผลงาน
 มหาวิทยาลัยมหาสารคาม



มหาวิทยาลัยราชภัฏมหาสารคาม
RAJABHAT MAHASARAKHAM UNIVERSITY

ชื่อ นางสาวสุชนา วนิช
วันเกิด 8 กุมภาพันธ์ พ.ศ. 2523
สถานที่อยู่ปัจจุบัน มหาวิทยาลัยราชภัฏมหาสารคาม อําเภอเมือง จังหวัดมหาสารคาม รหัสไปรษณีย์ 44000
ตำแหน่งหน้าที่การงาน อาจารย์ประจำ
สถานที่ทำงานปัจจุบัน สาขาวิชาเคมี คณะวิทยาศาสตร์และเทคโนโลยี มหาวิทยาลัยราชภัฏมหาสารคาม

ประวัติการศึกษา

พ.ศ. 2546 ปริญญาวิทยาศาสตรบัณฑิต (วท.บ.) สาขาวิชาเคมี

มหาวิทยาลัยมหาสารคาม

พ.ศ. 2552 ปริญญาวิทยาศาสตรมหาบัณฑิต (วท.ม.) สาขาวิชาเคมี

มหาวิทยาลัยขอนแก่น



มหาวิทยาลัยราชภัฏมหาสารคาม
RAJABHAT MAHASARAKHAM UNIVERSITY